

# 海氷生産による中深層水形成とその変動 —衛星観測から日本南極観測隊観測まで—

大島慶一郎(北大低温科学研究所)

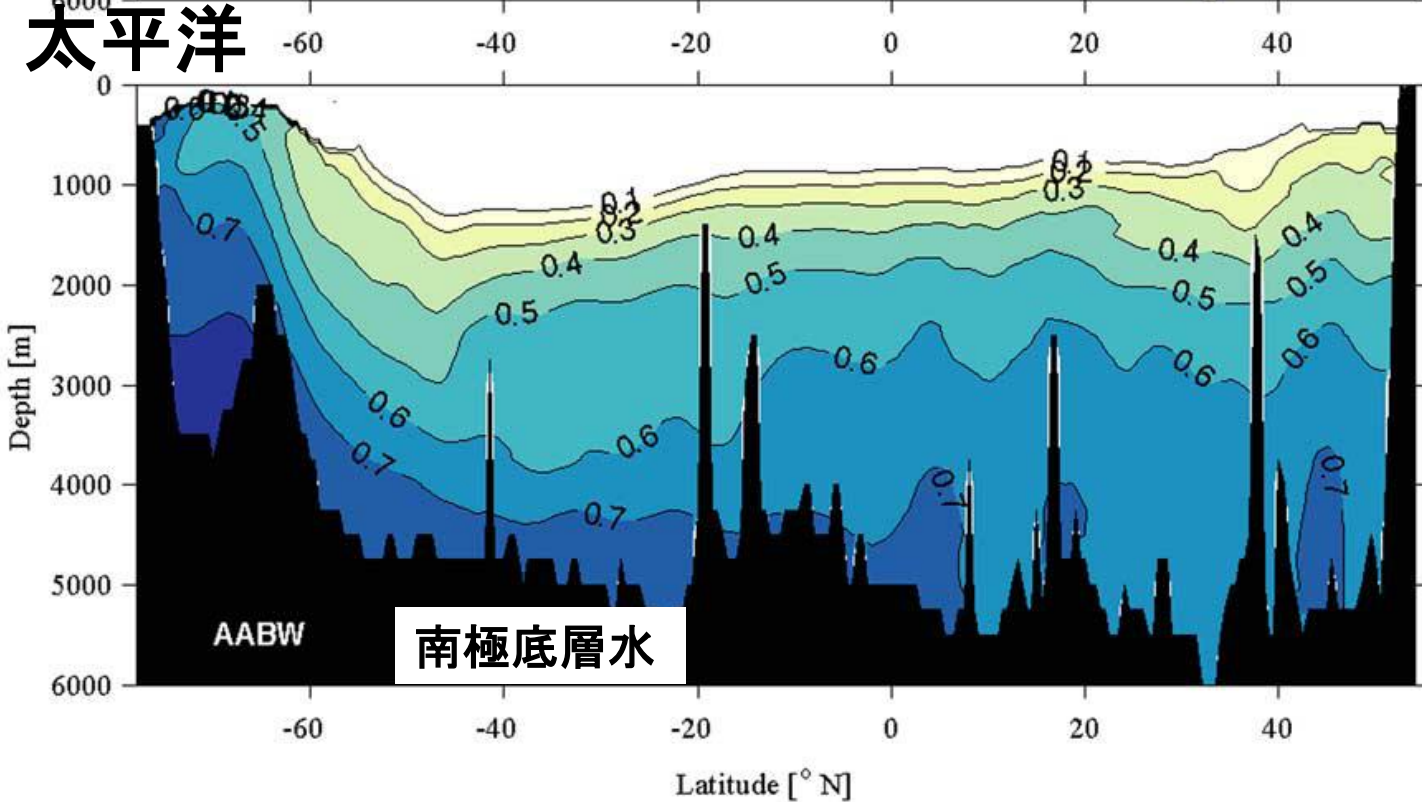
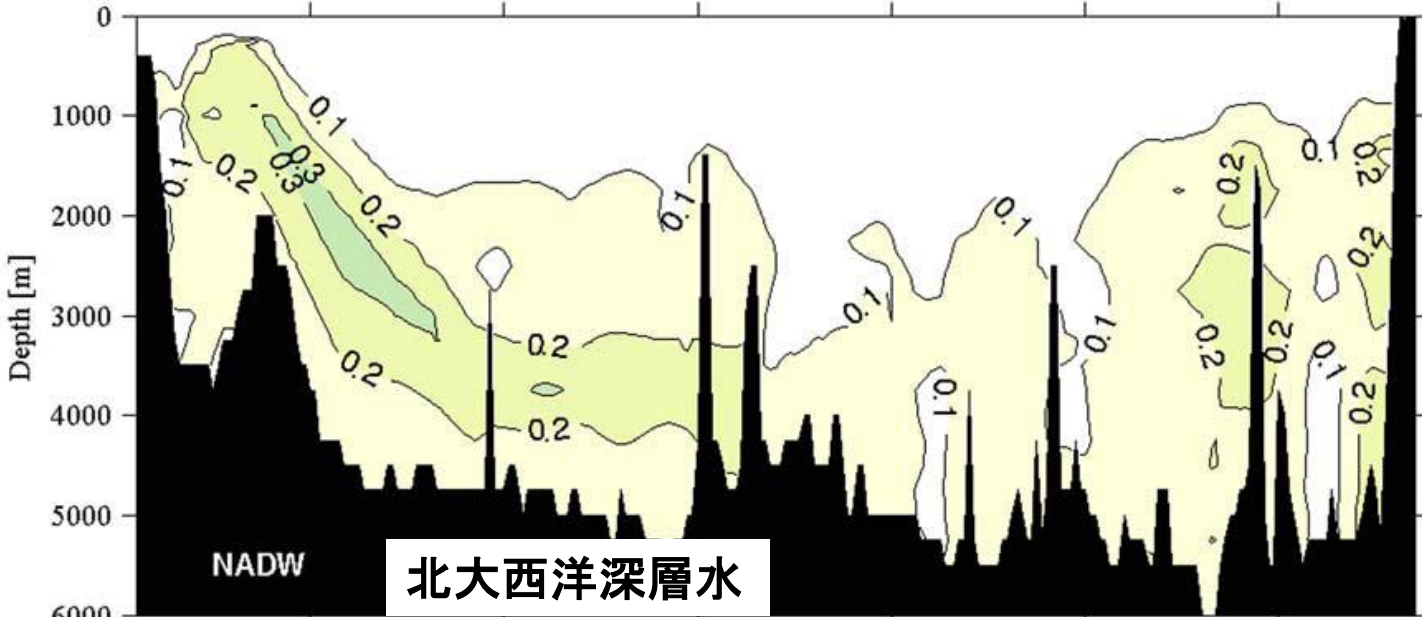
1. イントロダクション:海氷生成と中深層水形成
2. 衛星による海氷生産量・熱塩フラックスの見積もり
3. 未知の南極底層水生成域の発見
4. 中深層水の変動と海氷生産量
5. 沿岸ポリニヤでの高精度海氷・海洋観測(衛星トゥルース)

Johnson(2008)

海水の性質から  
2つの深層水の  
割合を同定

ポテンシャル水温  
塩分  
渦位  
溶存酸素  
硝酸  
リン  
シリカ

南極底層水は  
全海水の30-40%  
を占める

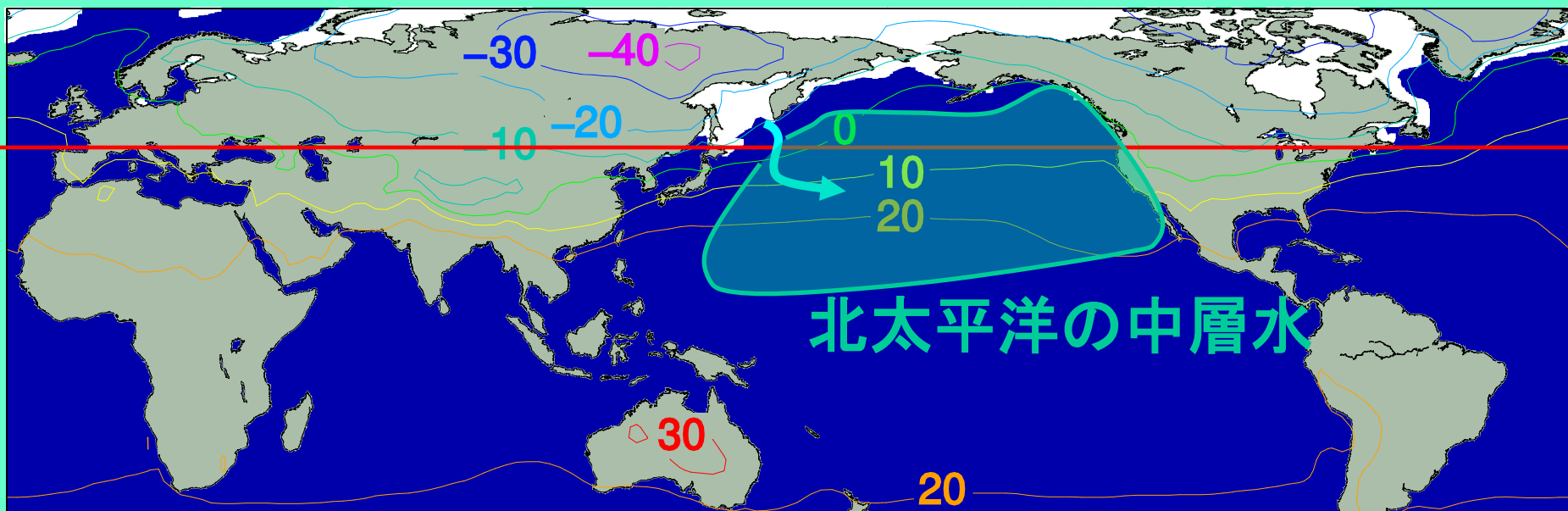


太平洋

Latitude [ $^{\circ}$  N]

# グローバルな目でみたオホーツク海

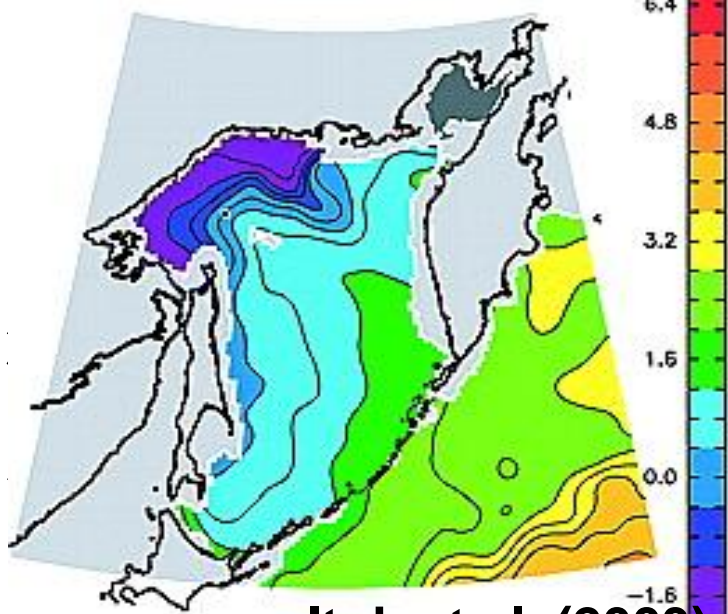
## 2月の海氷分布と平均気温(2001年)



Nihashi et al., 2009

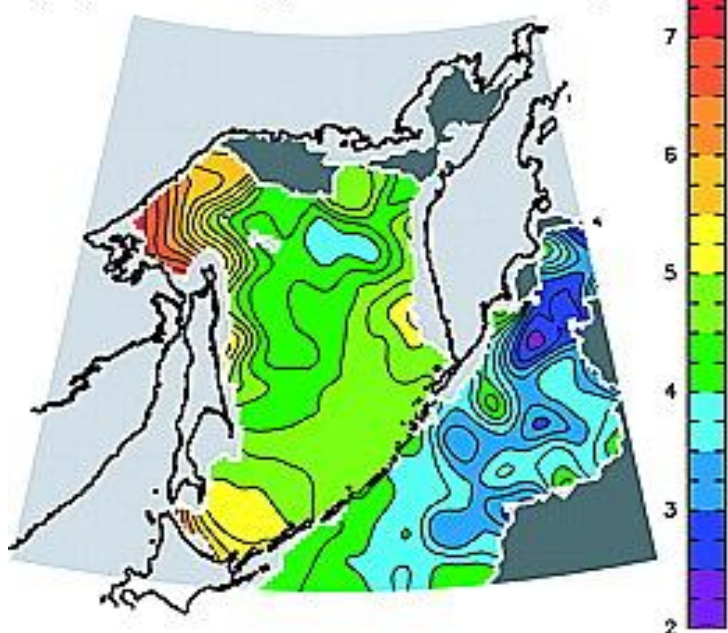
- ・風上が北半球の寒極 → 北半球における海氷域の南限
- ・多量の海氷生産 → 北太平洋で一番重い水ができる場所  
→ 大気・陸からの熱・物質を北太平洋中層水(200-800m)へ

(a) Potential Temperature 26.8  $\sigma_\theta$

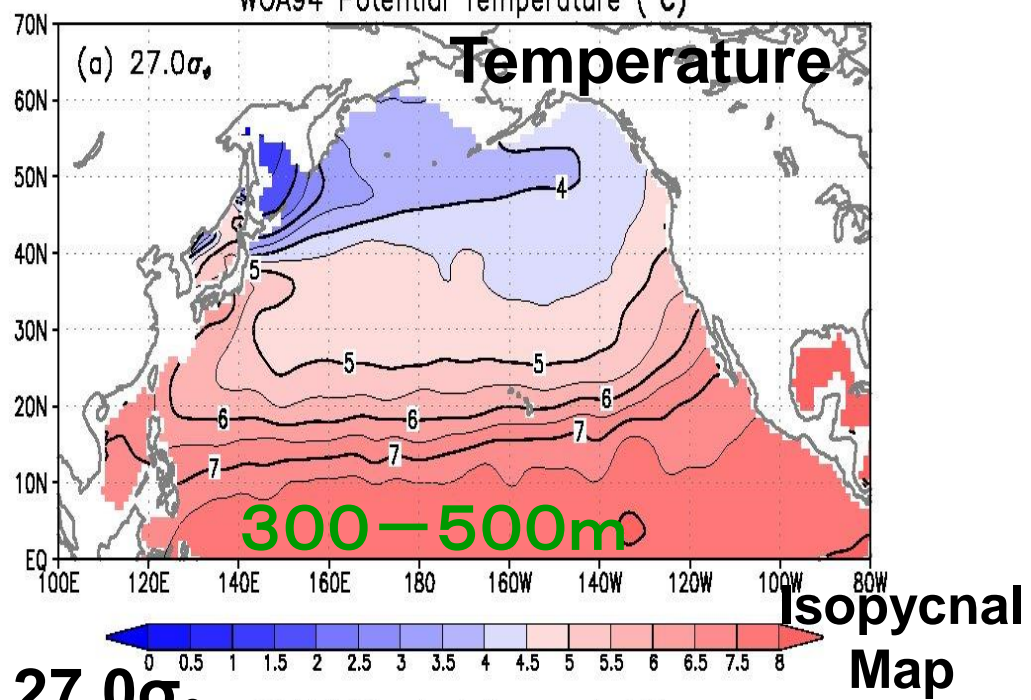


Itoh et al. (2003)

(c) Oxygen 26.8  $\sigma_\theta$

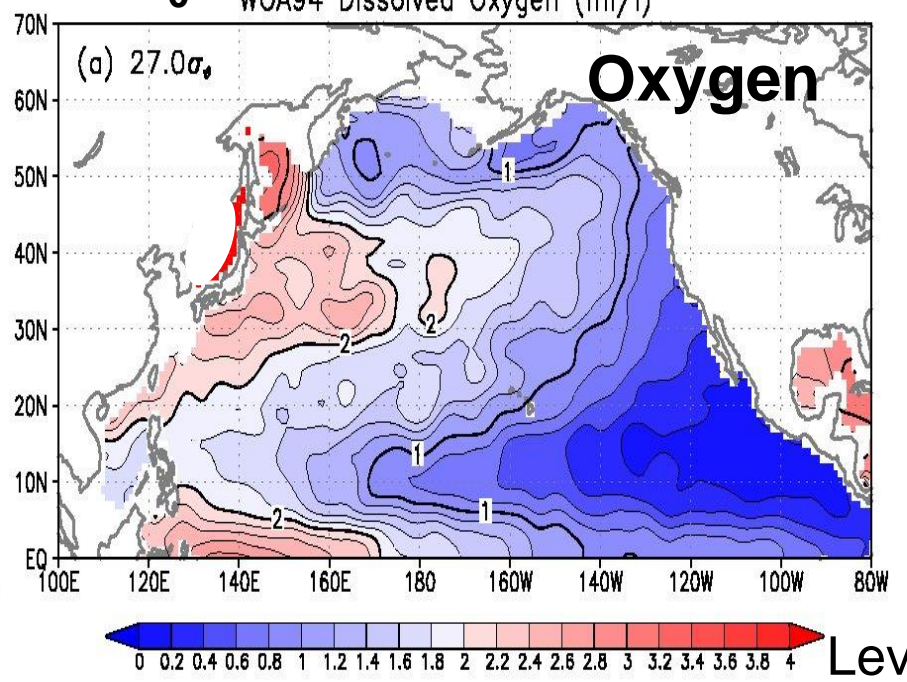


WOA94 Potential Temperature ( $^{\circ}$ C)



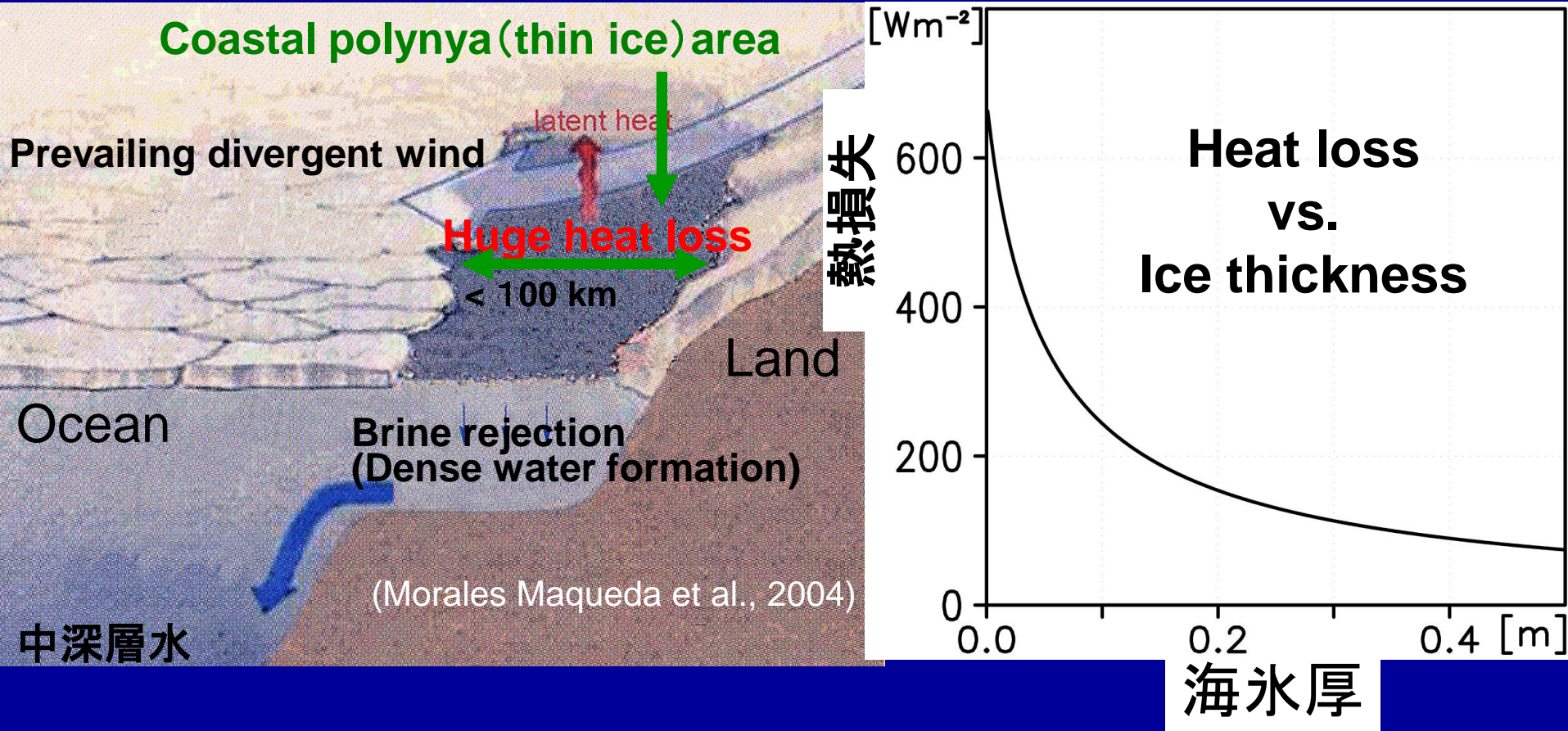
27.0  $\sigma_\theta$

WOA94 Dissolved Oxygen (ml/l)



1. イントロダクション: 海氷生成と中深層水形成
2. 衛星による海氷生産量・熱塩フラックスの見積もり
3. 未知の南極底層水生成域の発見
4. 中深層水の変動と海氷生産量
5. 沿岸ポリニヤでの高精度海氷・海洋観測(衛星トウルス)
6. 中層水の新しいモニター観測

# 沿岸ポリニヤ → 海水生産工場



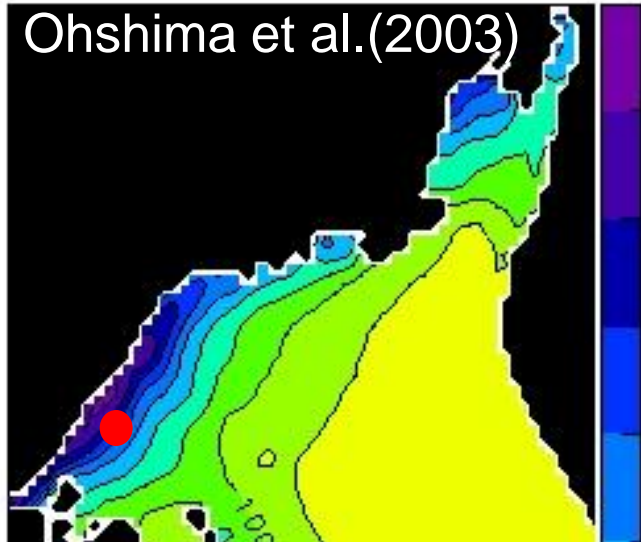
マイクロ波放射計による薄氷厚アルゴリズム

→ 熱収支計算による熱損失 = 海水生産量

# 海氷生産量の見積もり

(熱収支と衛星データより)

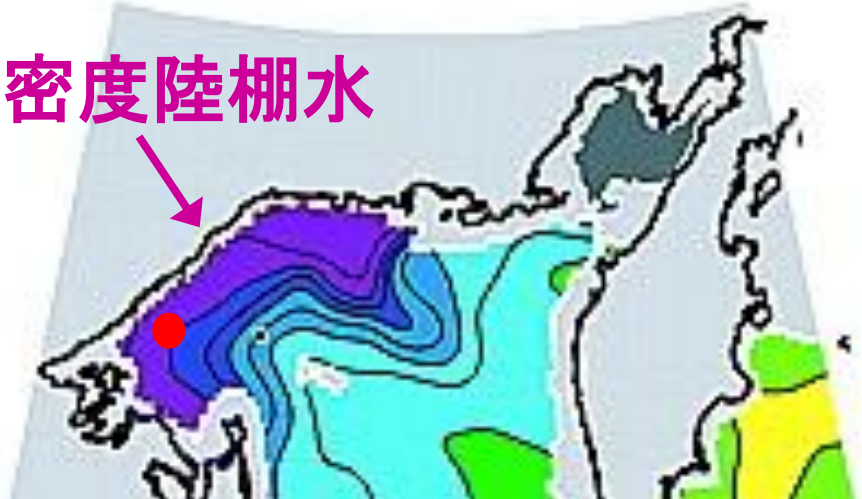
Ohshima et al.(2003)



# 中層(等密度面上)での水温

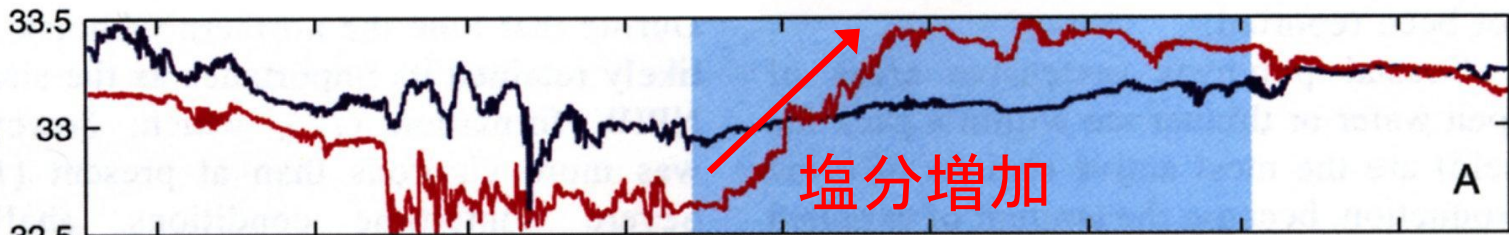
(a) Potential Temperature 26.8  $\sigma_{\theta}$

高密度陸棚水

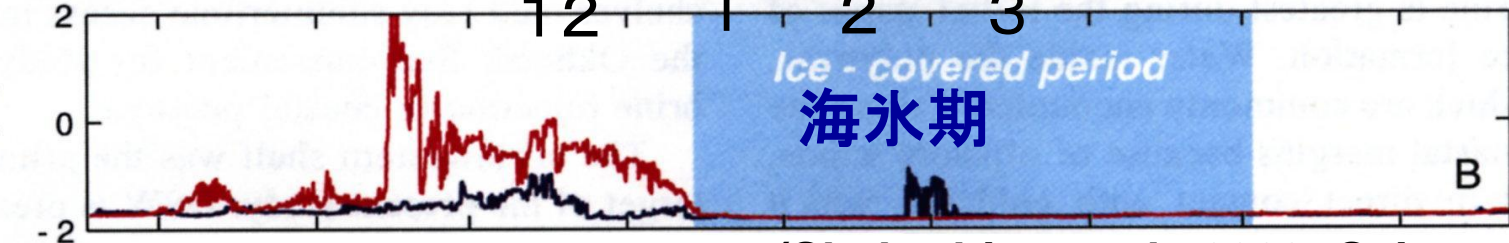


# 高密度陸棚水生成を捉えた観測

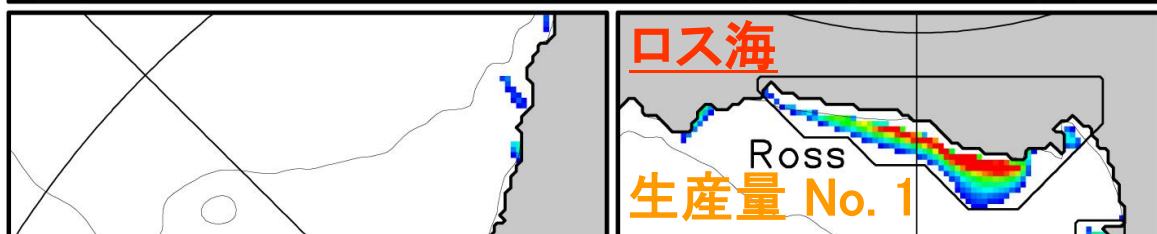
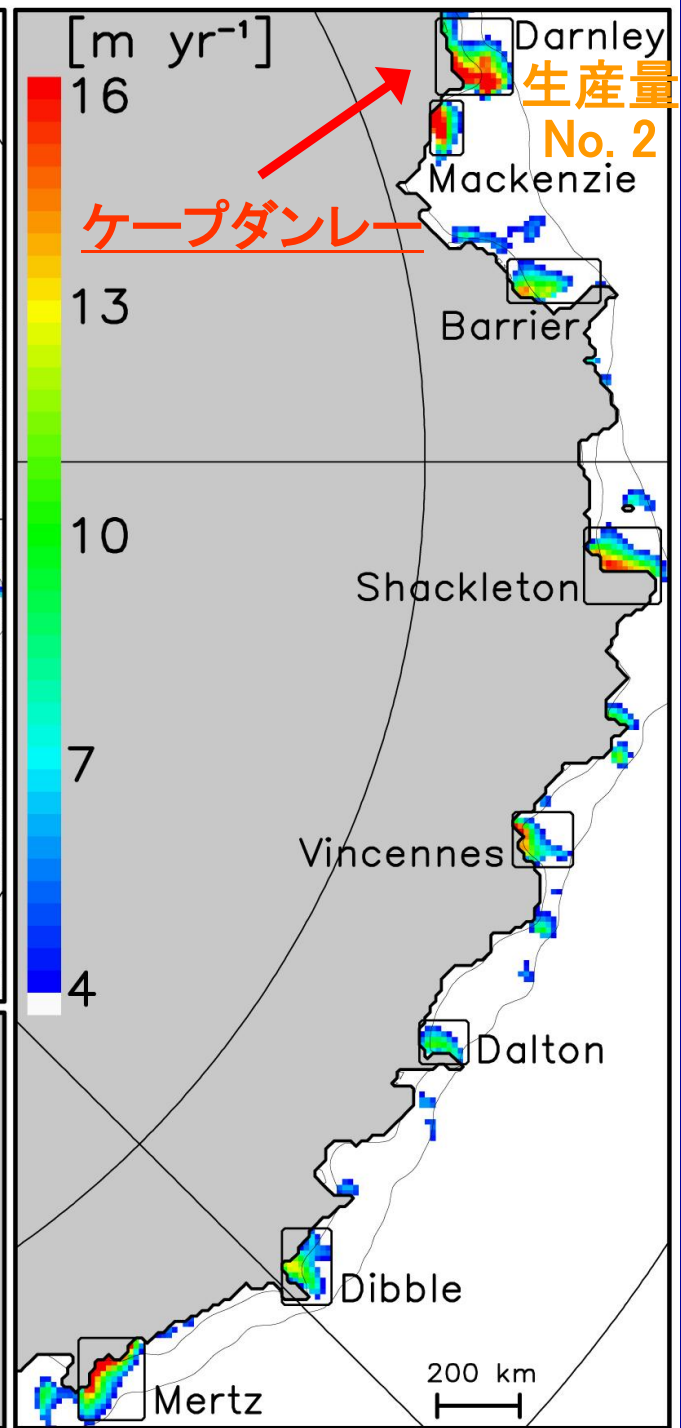
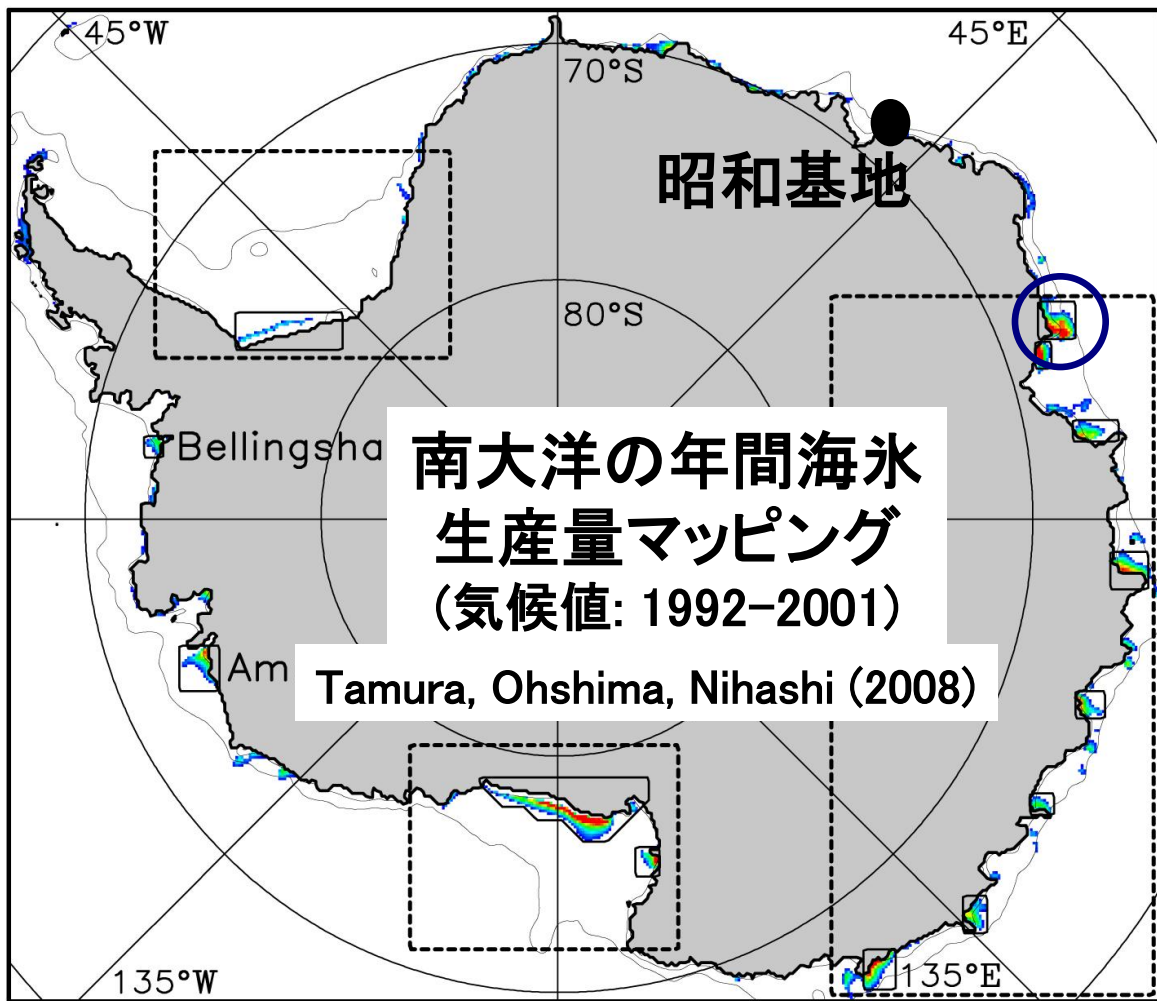
塩分



温度



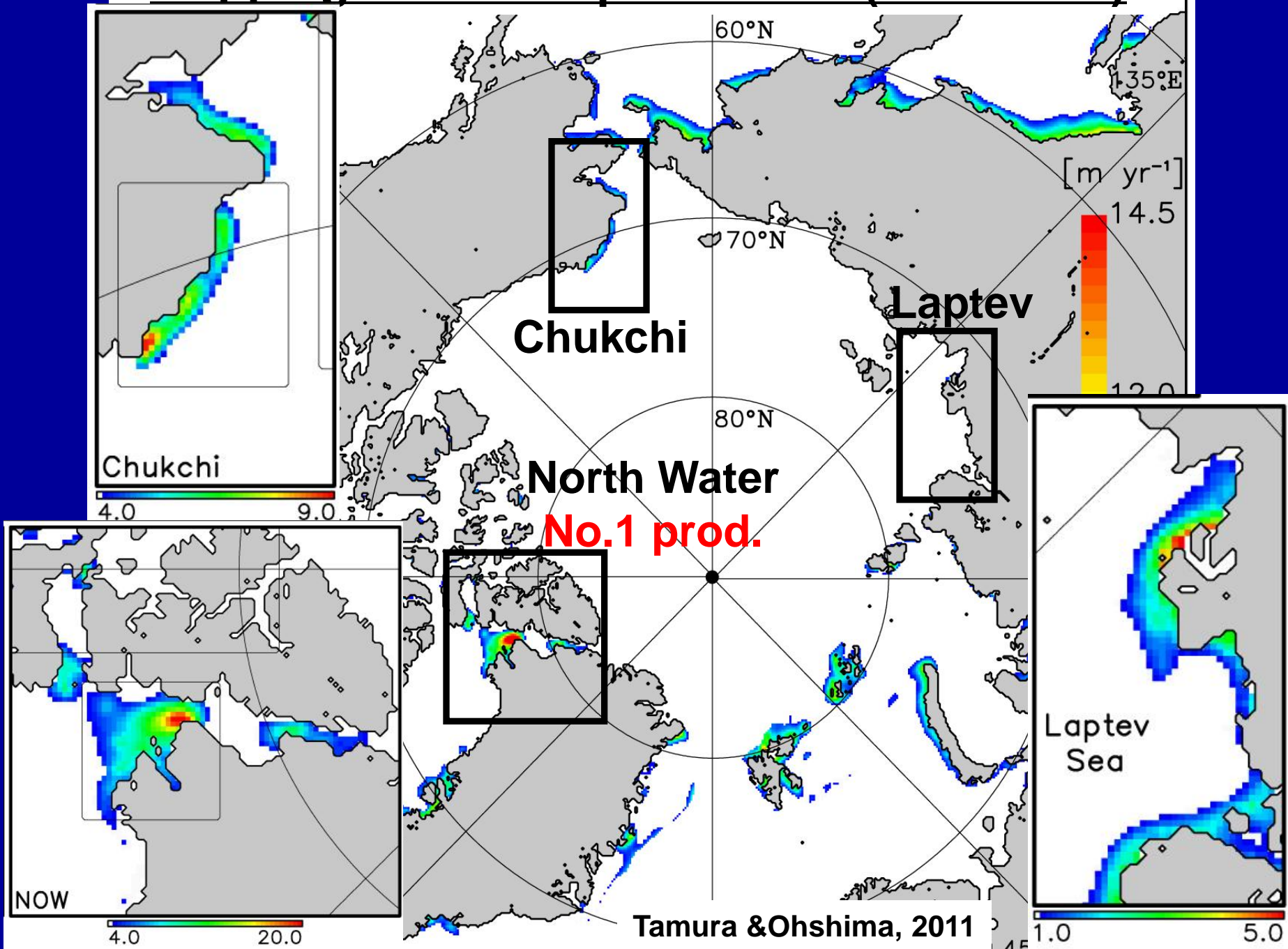
(Shcherbina et al., 2003; Science)



Descriptive Physical Oceanography  
教科書 by Talley et al.,



# Mapping of sea ice production (1992-2007)



**SSM/I 1987-2010 (interannual variations)**

**AMSR relatively high spatial resolution (12-6 km))**

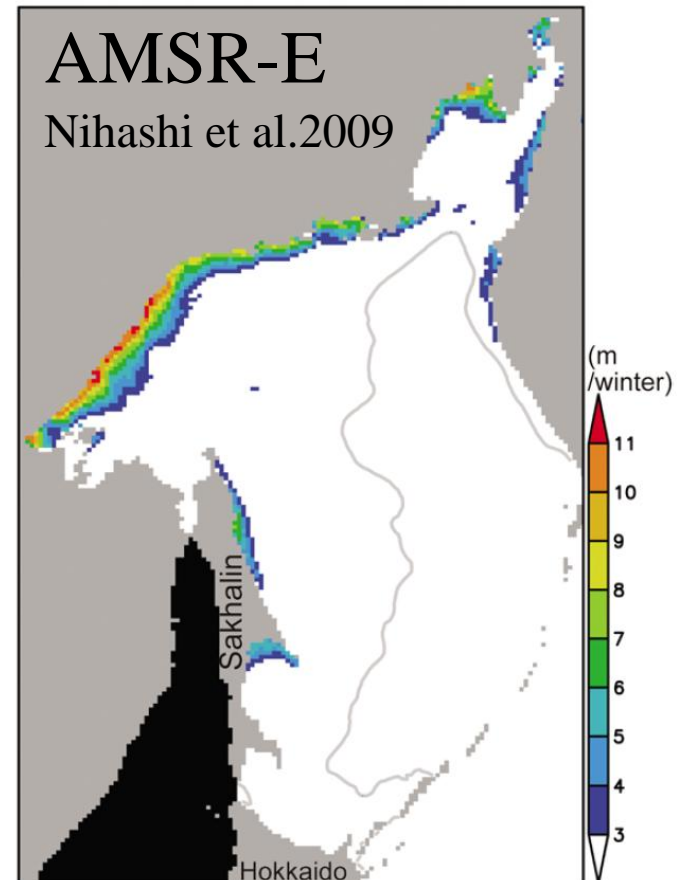
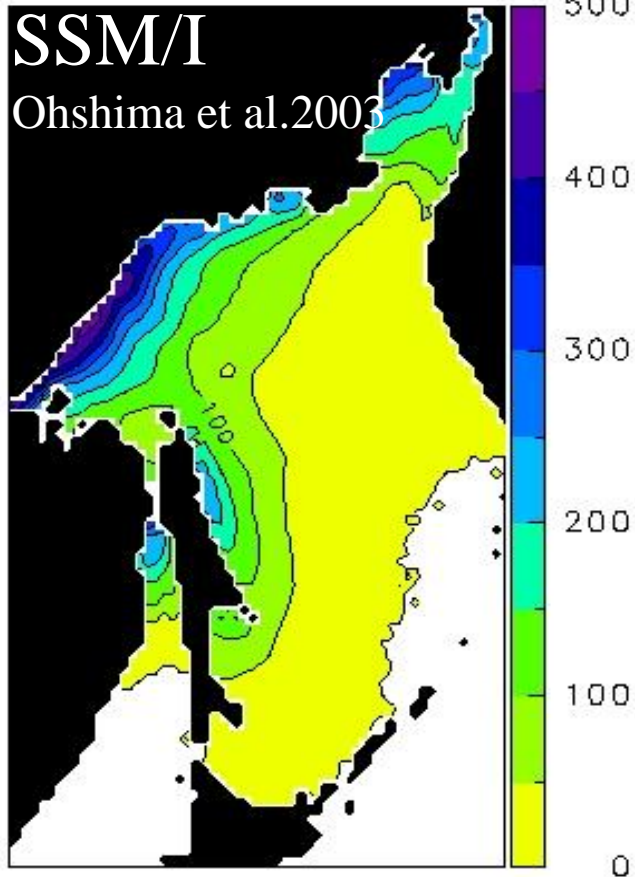


**SSM/I**

**AMSR-E**

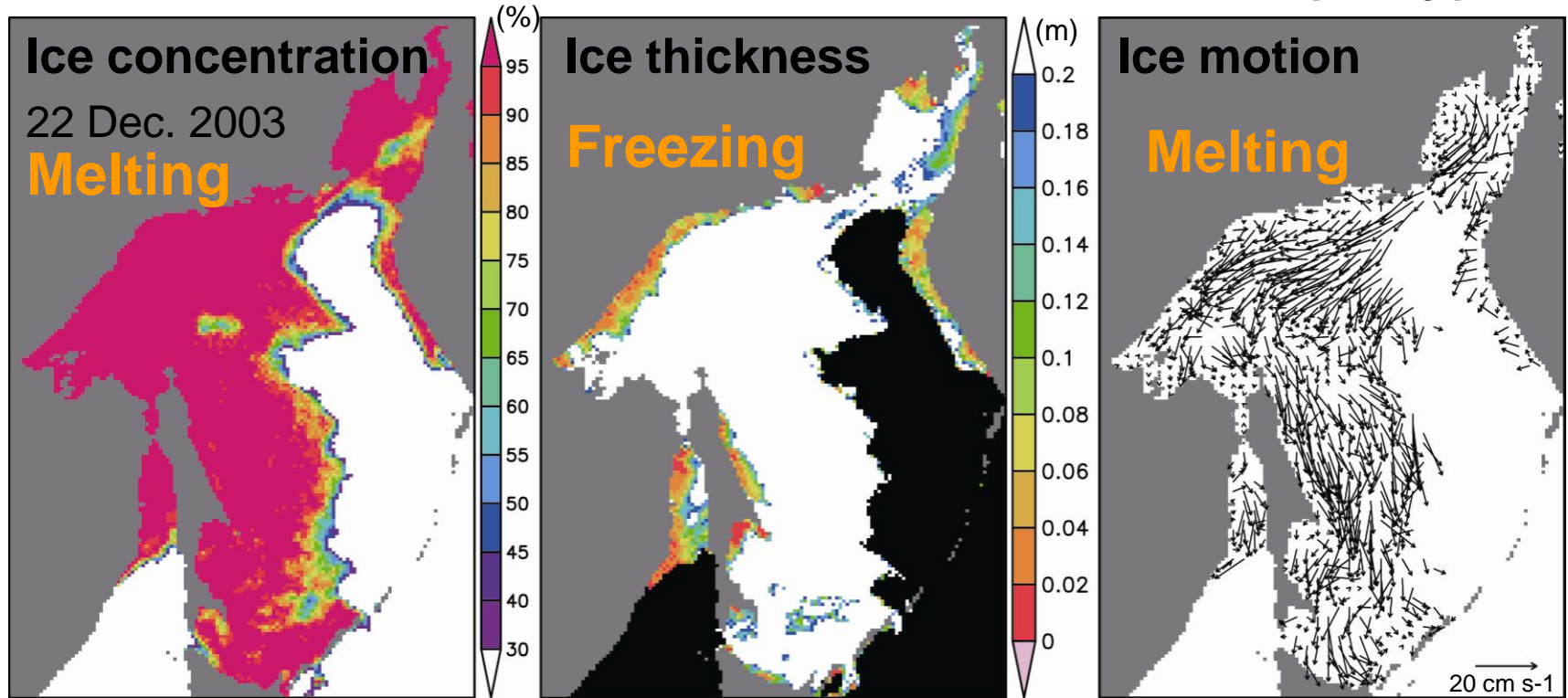
**AMSR-2**

1985 1990 1995 2000 2005 2010 2015



# 海氷生成・融解に伴う熱塩フラックスのデータセット作成

Sea ice data are derived from AMSR-E data (daily)



by NT2 algorithm  
(Markus and Cavalieri, 2000)

by ice thickness algorithm  
(Nihashi et al., 2009)

by maximum correlation method  
(Kimura and Wakatsuchi, 2004)

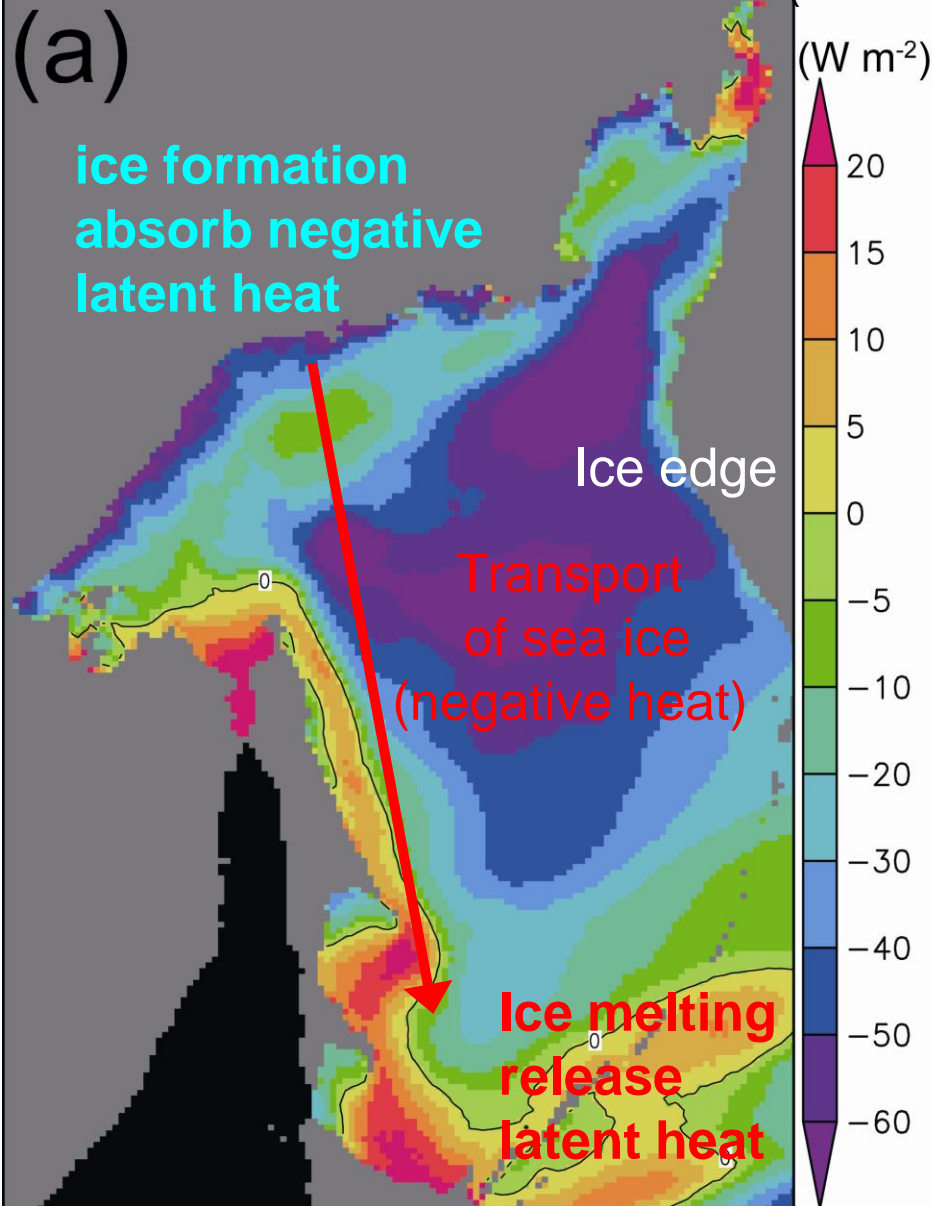
**ECMWF: Air temp. Humidity, Wind speed, and SLP (daily)**

**ISCCP: Cloud (monthly)**

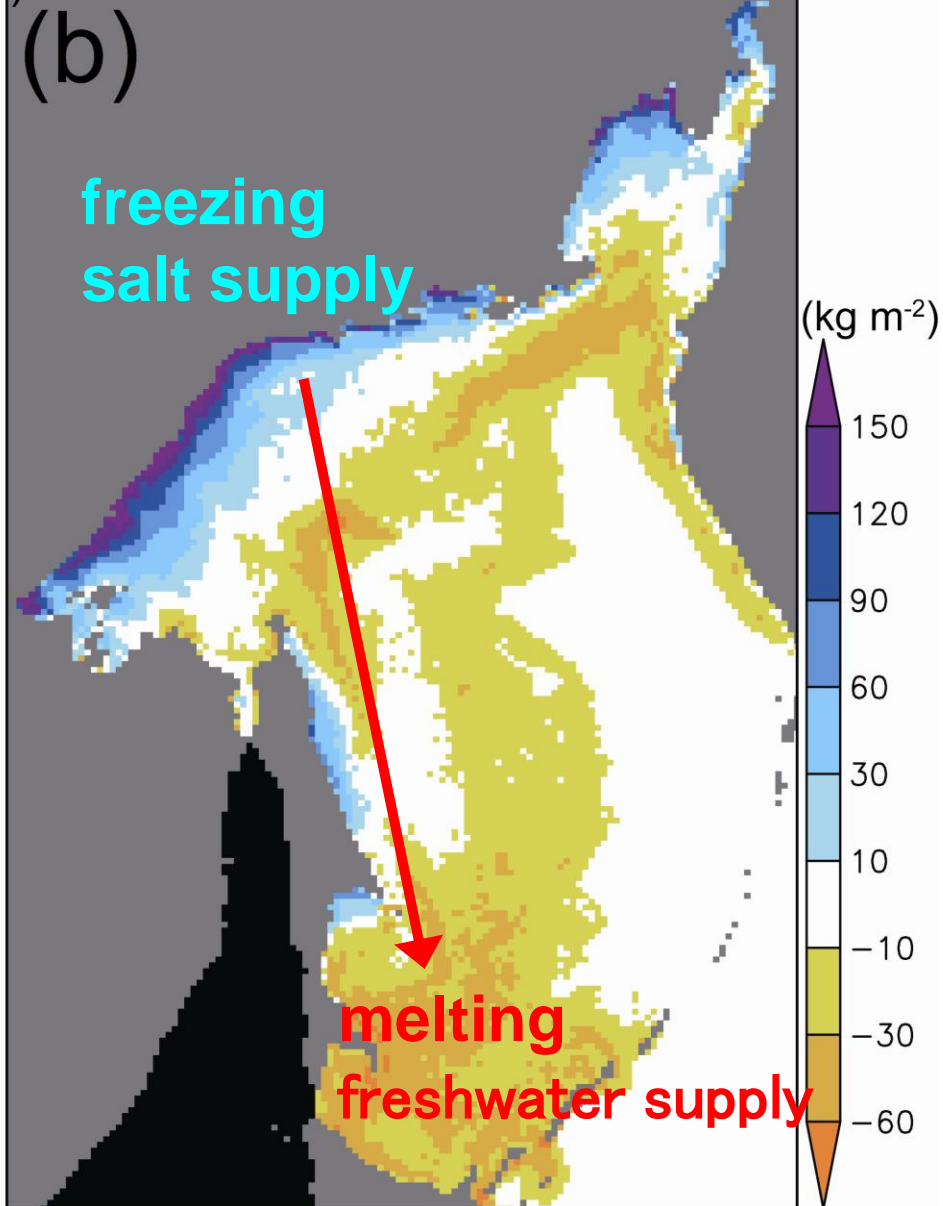
**HadISST: SST (monthly)**

**Nihashi, Ohshima and Kimura, J. Climate (2012)**

### Annual mean net heat flux (W m<sup>-2</sup>)



### Annual salt budget (Kg m<sup>-2</sup>)



# Release plan of the data set (year)

		ice production	heat/salt flux
<b>Southern Ocean</b>	<b>SSM/I</b>	<u>available</u>	<u>available</u>
	<b>AMSR</b>	<b>2013</b>	<b>2014</b>
<b>Arctic Ocean</b>	<b>SSM/I</b>	<u>available</u>	<b>2015</b>
	<b>AMSR</b>	<b>2013</b>	<b>2014</b>
<b>Sea of Okhotsk</b>	<b>SSM/I</b>	<b>2013</b>	<b>2014</b>
	<b>AMSR</b>	<u>available</u>	<u>available</u>

## Sea ice production dataset

→ **Validation data for coupled ice-ocean models**

### **Southern Ocean**

Kusahara et al.(2011, Nature-comms.), Kusahara et al.(2010, JGR)

### **Arctic Ocean**

Kawaguchi et al.(2011, JGR)

## Surface heat and salt flux dataset incorporating sea-ice growth and melt

→ **Boundary condition data for various models**

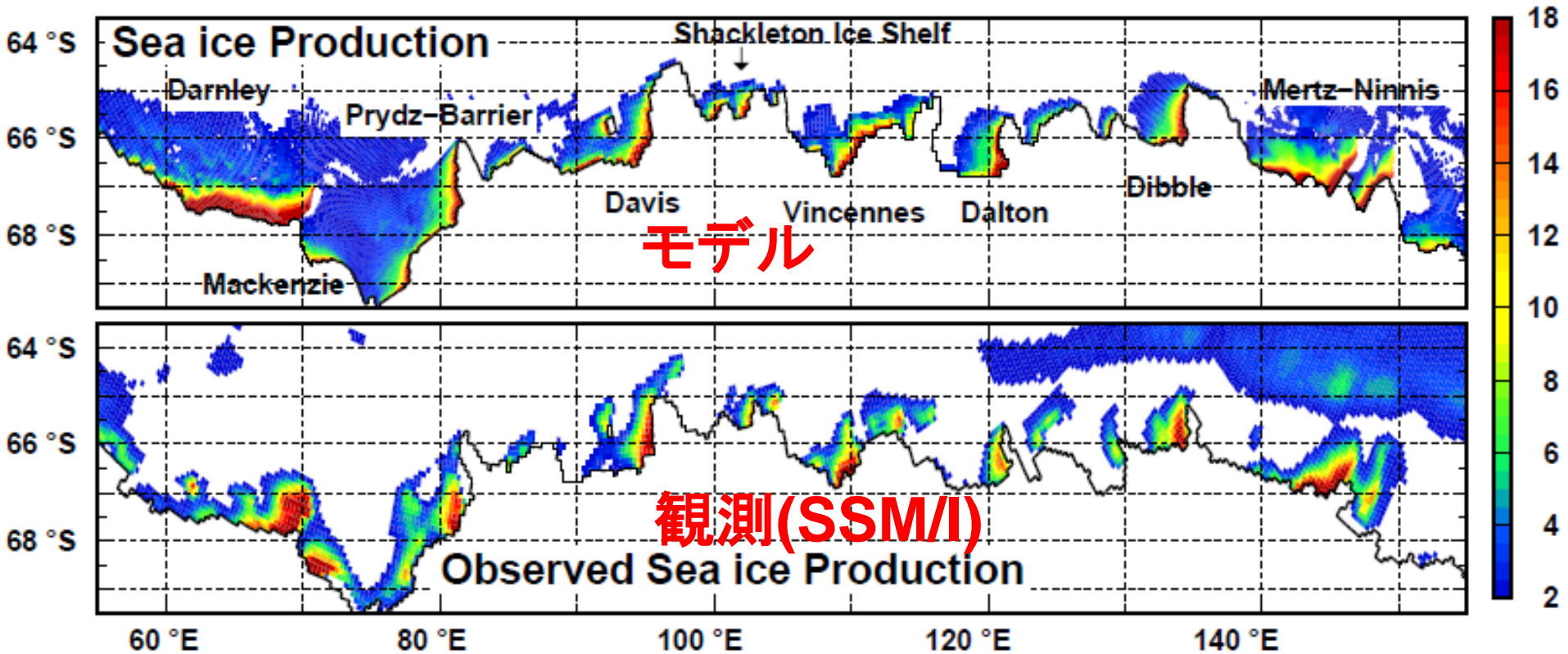
### **Southern Ocean**

ACE CRC ice shelf-ocean coupled model:Galton(2012), Urakawa & Hasumi (2012)

Non-hydrostatic ocean model: Nakayama et al. (preparation)

# 海氷生産量データセット

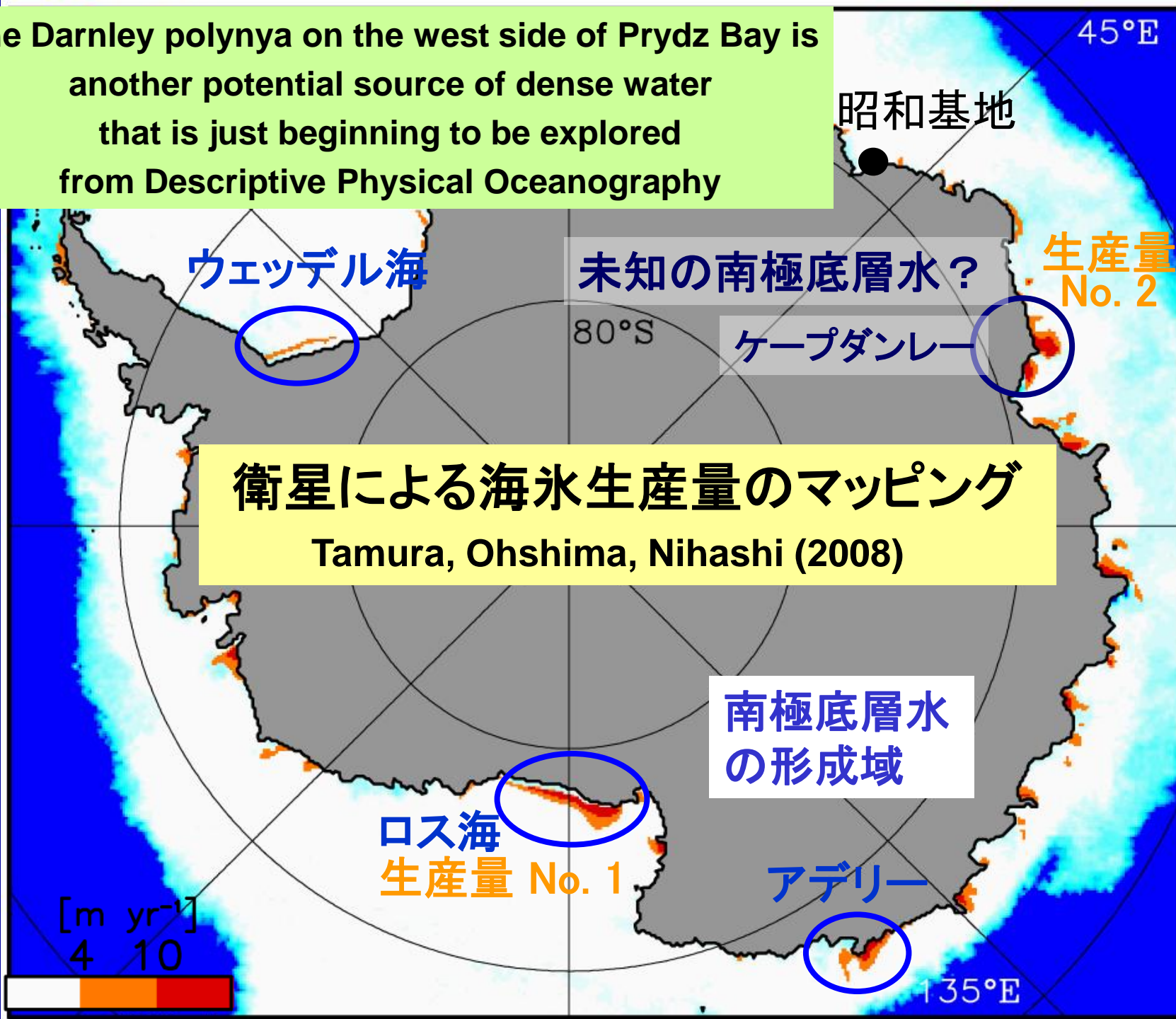
## 海氷結合モデルの検証データ



Kusahara, Hasumi and Tamura (2010)

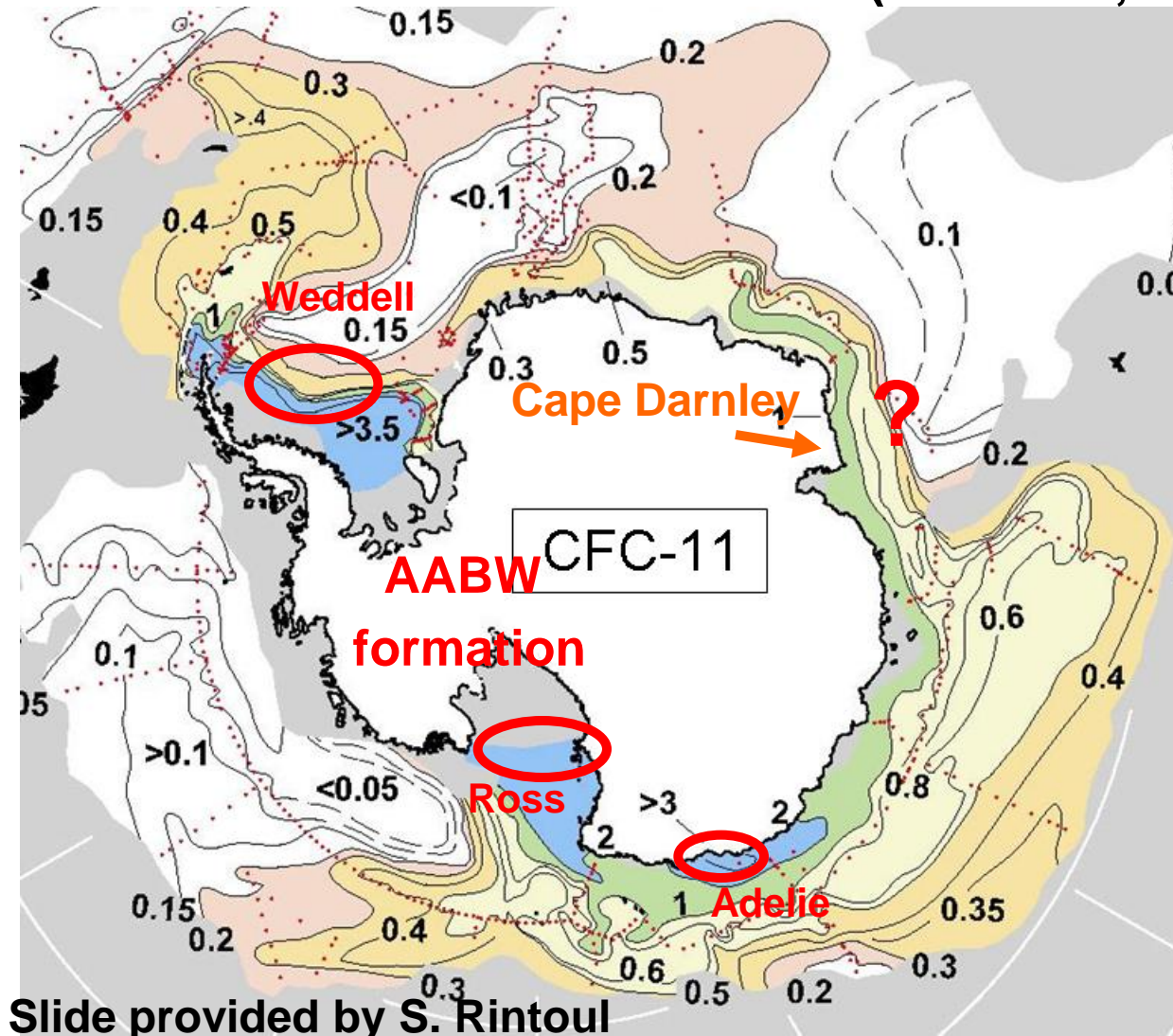
1. イントロダクション: 海氷生成と中深層水形成
2. 衛星による海氷生産量・熱塩フラックスの見積もり
- 3. 未知の南極底層水生成域の発見**
4. 中深層水の変動と海氷生産量
5. 沿岸ポリニヤでの高精度海氷・海洋観測(衛星トウルス)
6. 中層水の新しいモニター観測

The Darnley polynya on the west side of Prydz Bay is another potential source of dense water that is just beginning to be explored from Descriptive Physical Oceanography





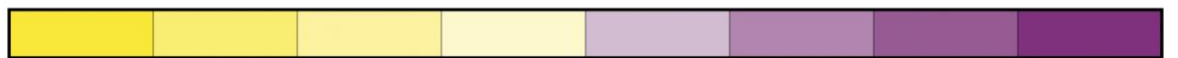
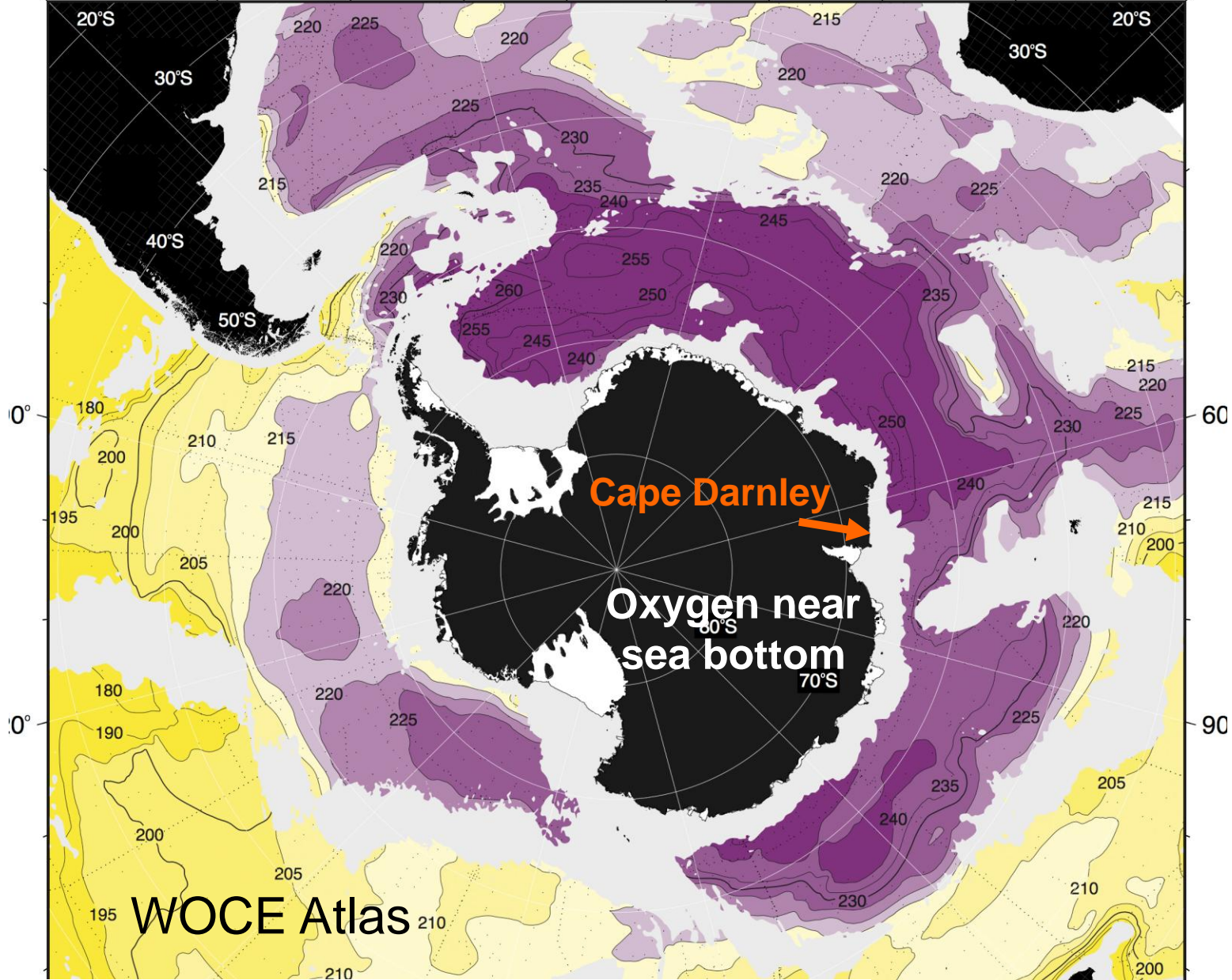
# CFC-11 Distribution near bottom (Orsi et al., 1999)



## Suggestion of AABW formation around 60-70E

- Jacobs and Georgi (1977)
- Middleton and Humphries (1989)
- Mantsi et al. (1991)
- Klepikov et al. (2010, IPY conference)

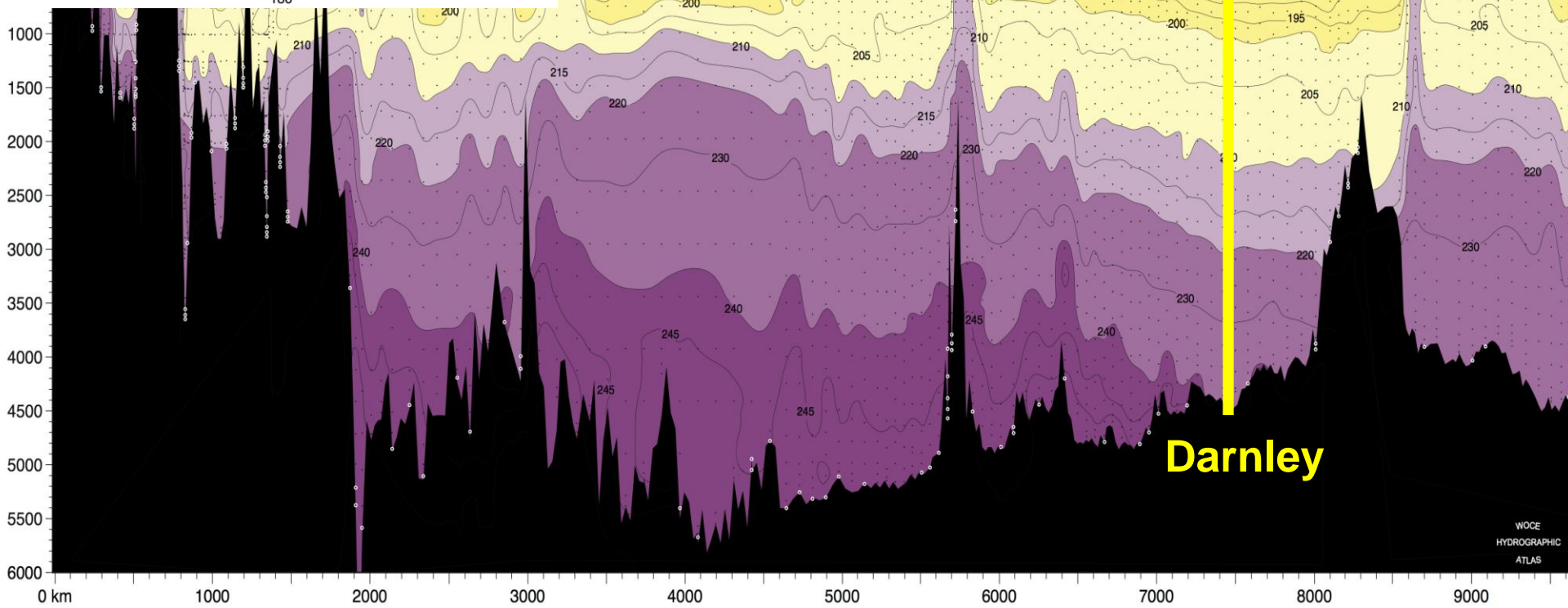
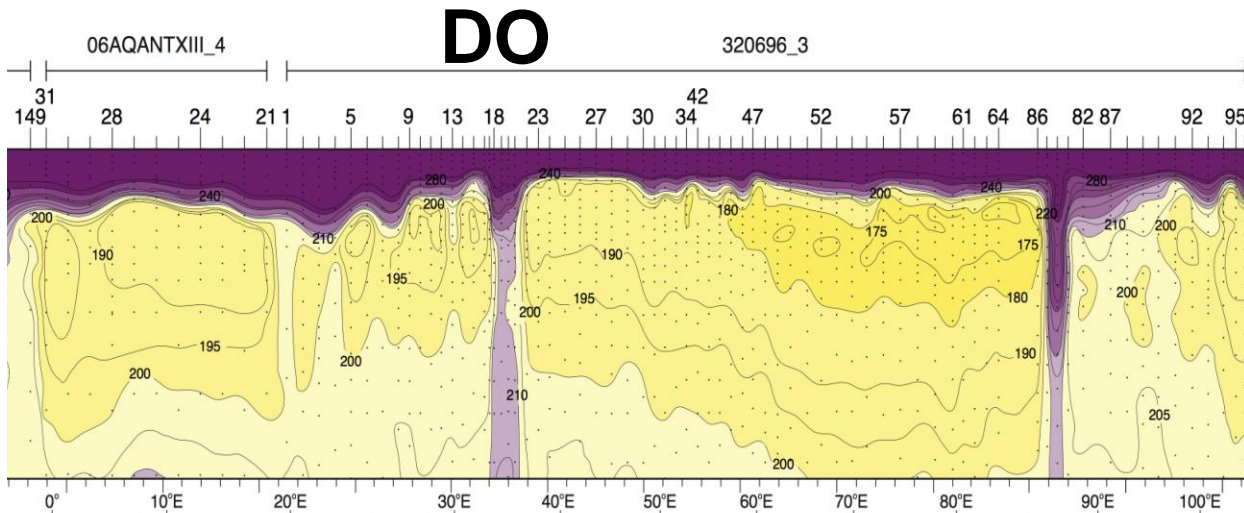
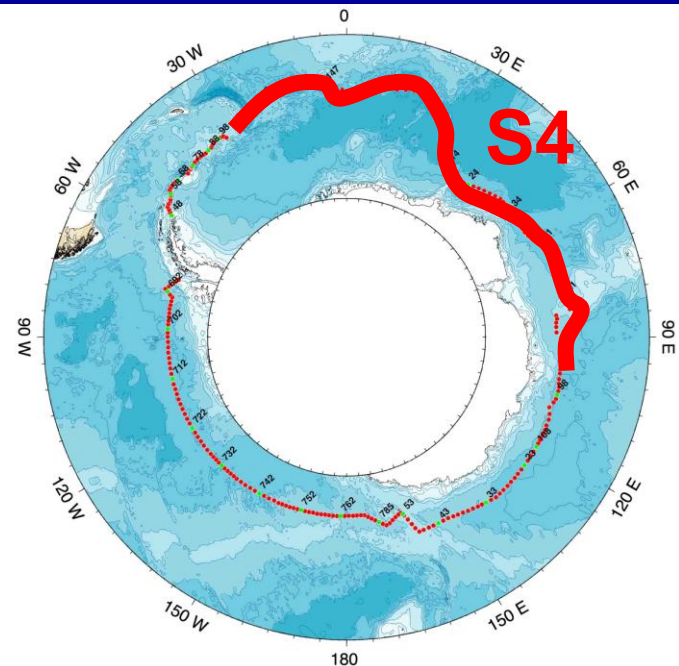
Slide provided by S. Rintoul



195 205 210 215 220 225 240

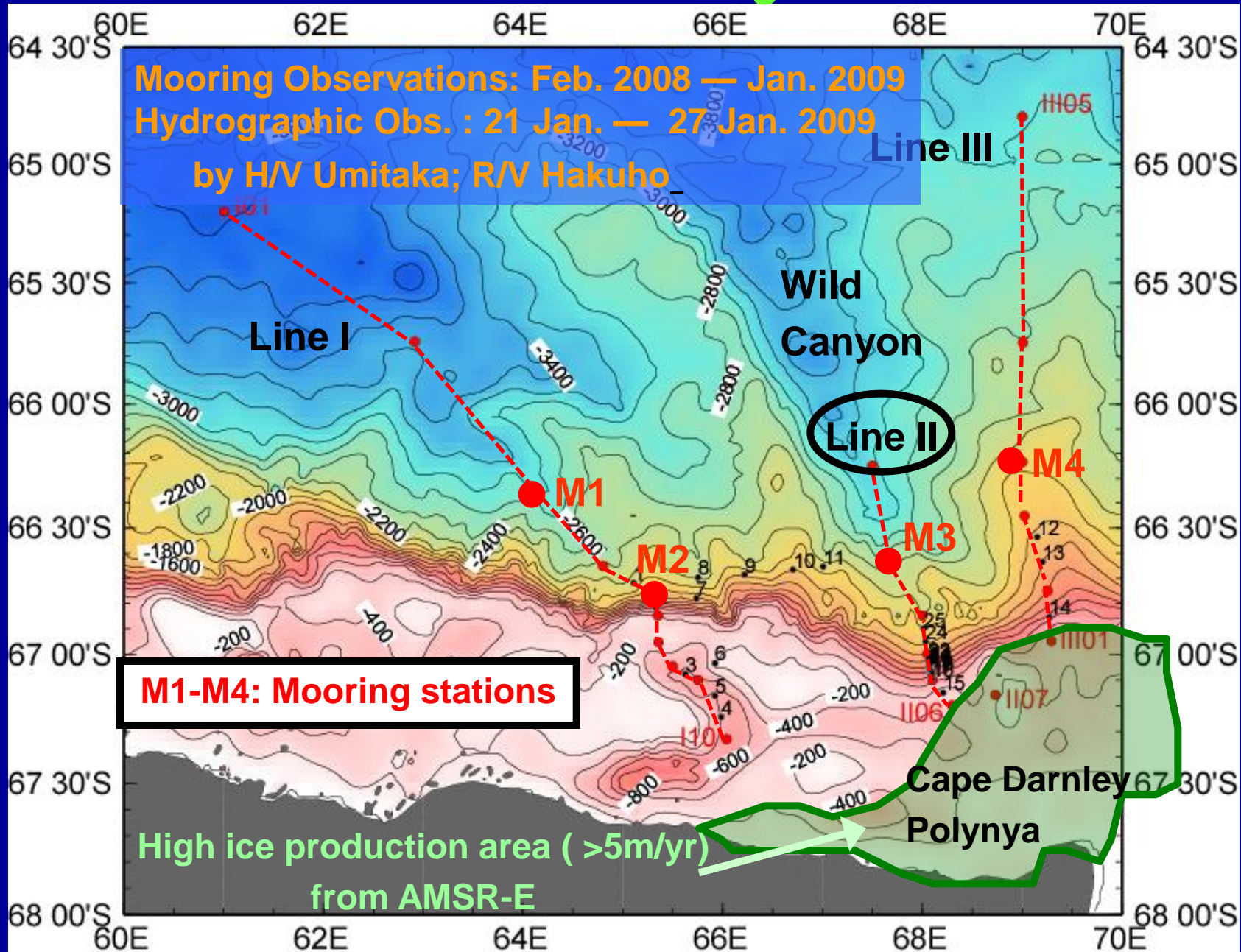
Oxygen ( $\mu\text{mol/kg}$ )

30°S  
WOCE  
HYDROGRAPHIC  
ATLAS

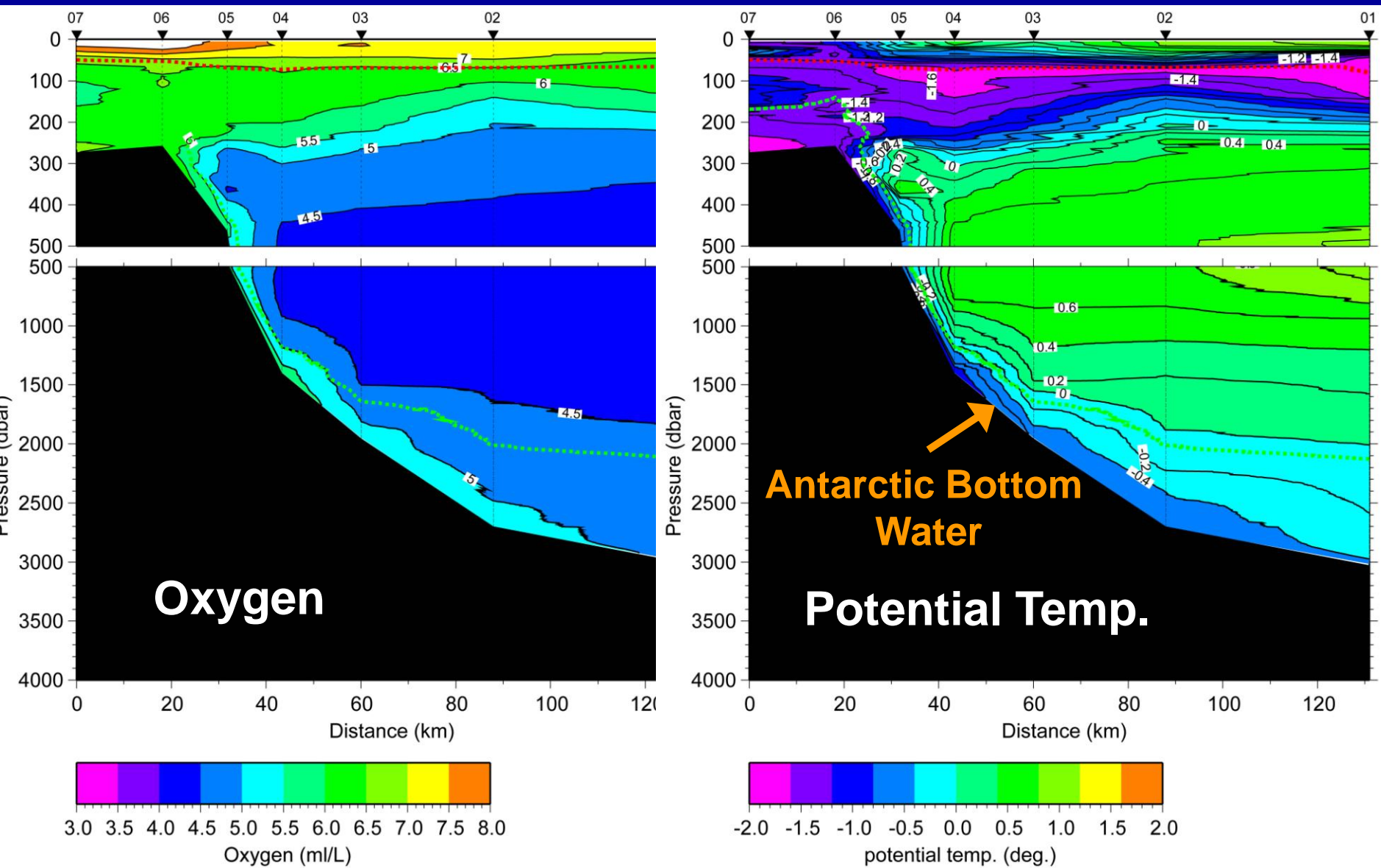




# CTD Sections & mooring stations

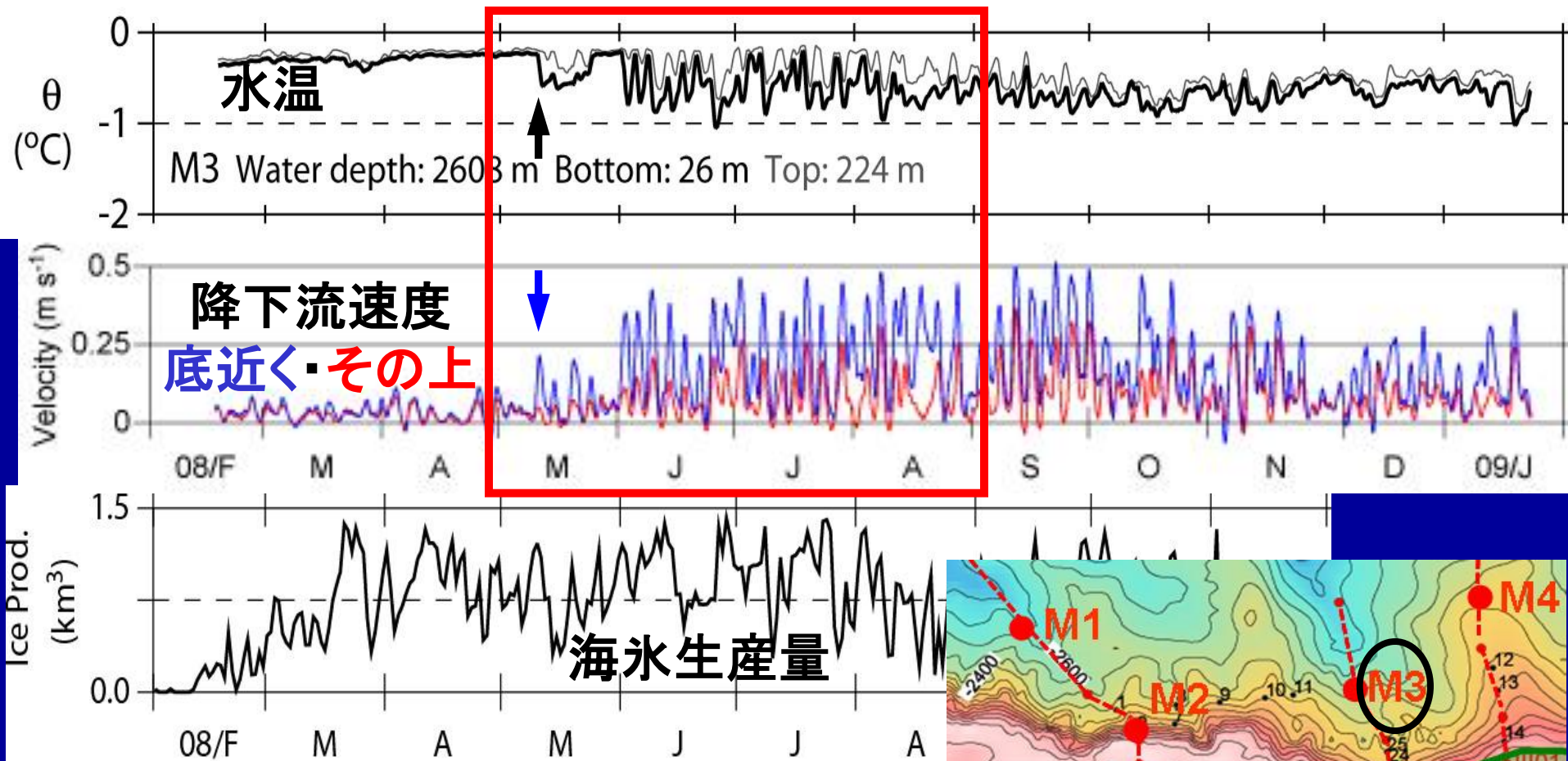


# Off Cape Darnley, East Antarctic

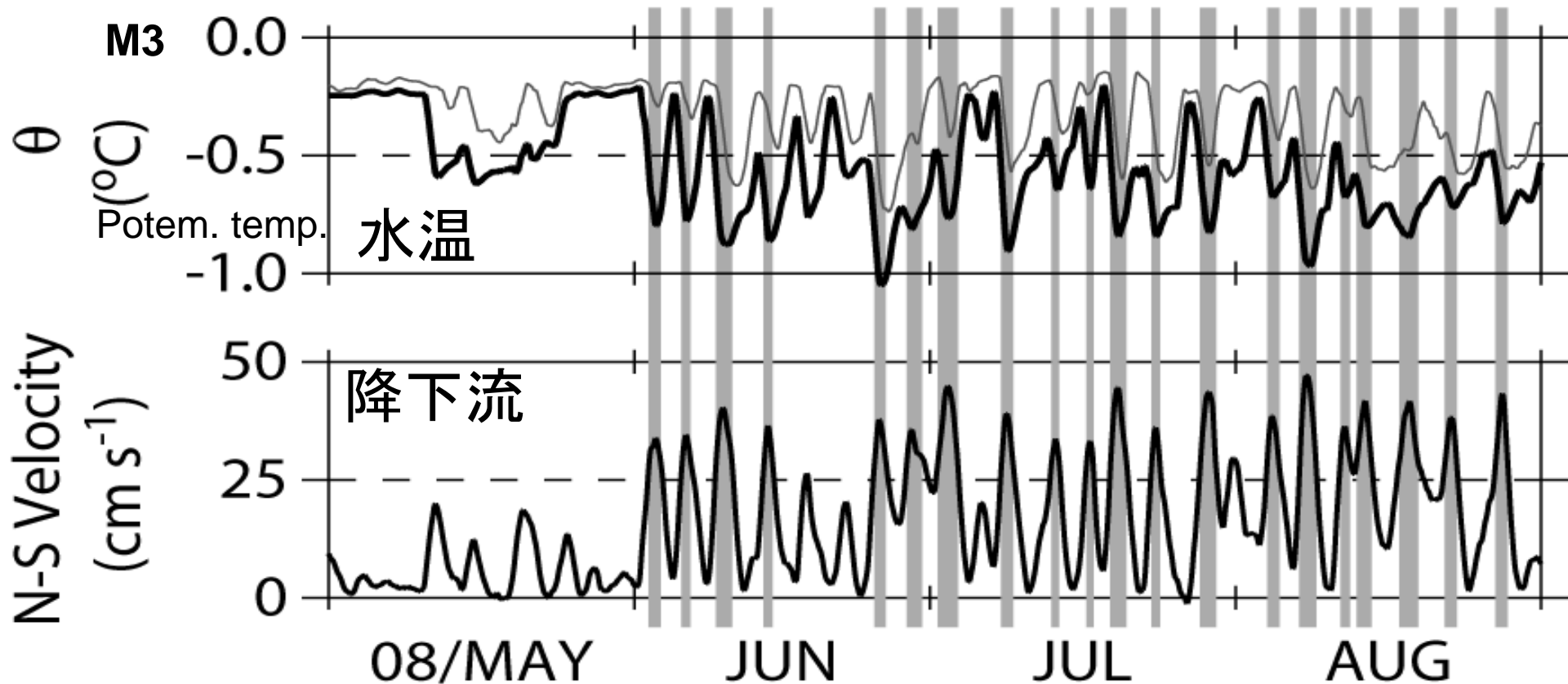


Drawn by Kitade and Hirano

# 峡谷の底(M3)での水温と流速の1年間の時系列 (水深 2659 m)



- ・峡谷では、冷たい重い水の到来に同期して強い降下流
- ・流れは底近くほど強い



Thick lines: 20m from bottom

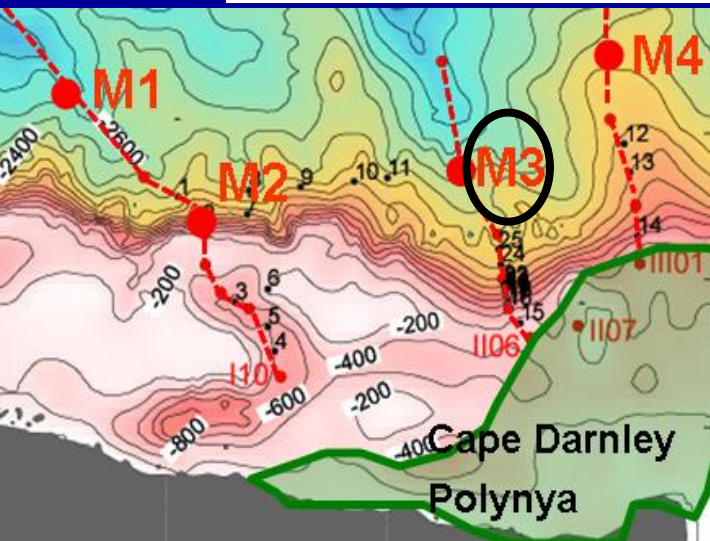
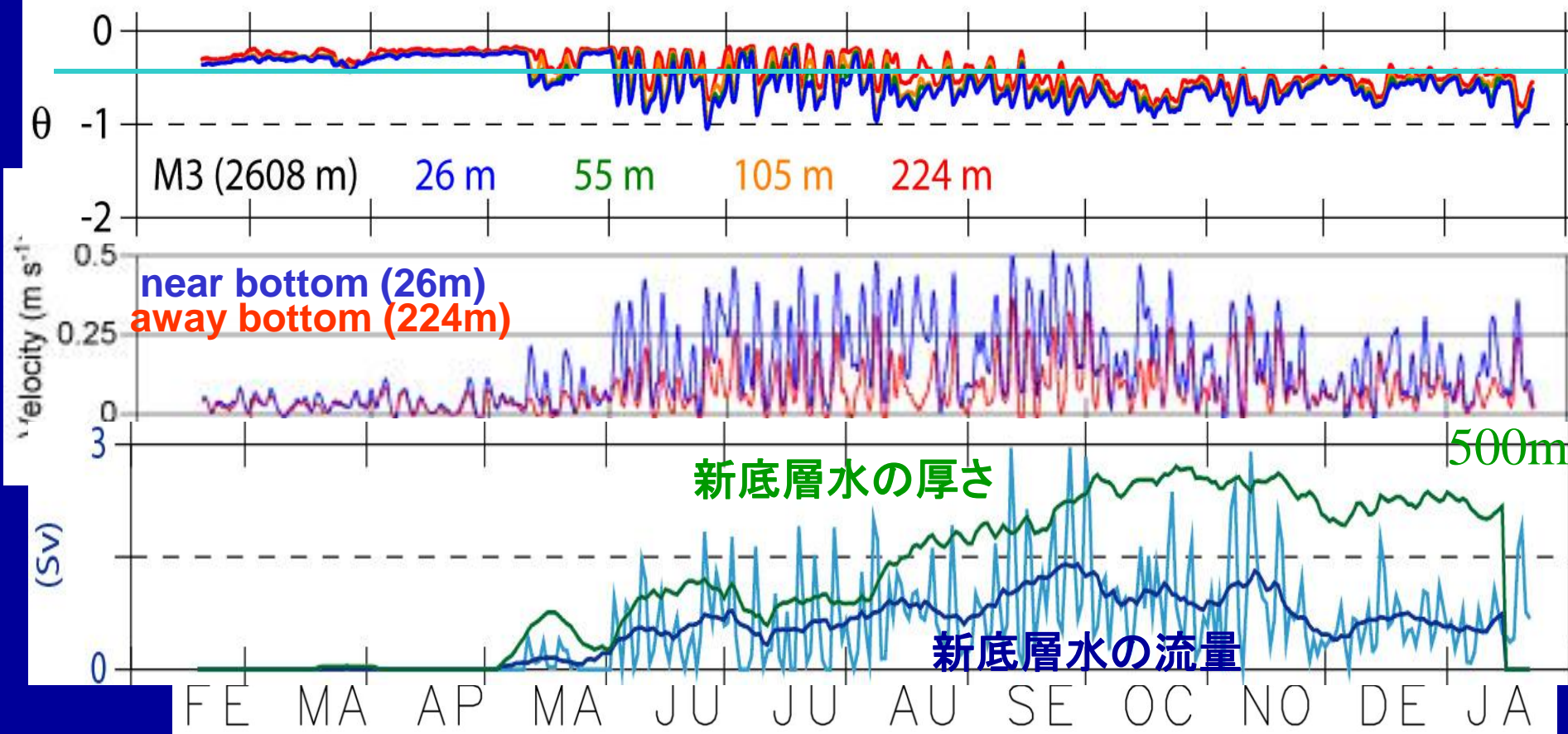
Thin lines: 224m from bottom

Shaded periods: Northward (Downslope) velocity > 30cm/s

**約4日周期で0.4m/s程度の降下流: 冷たい重い水と同期  
 → 傾圧不安定? 地形性ロスビー波?**

3-day 6-day oscillations occurs associated with dense plume  
 in the Filchner, Weddell Sea (Darelius et al., 2009)

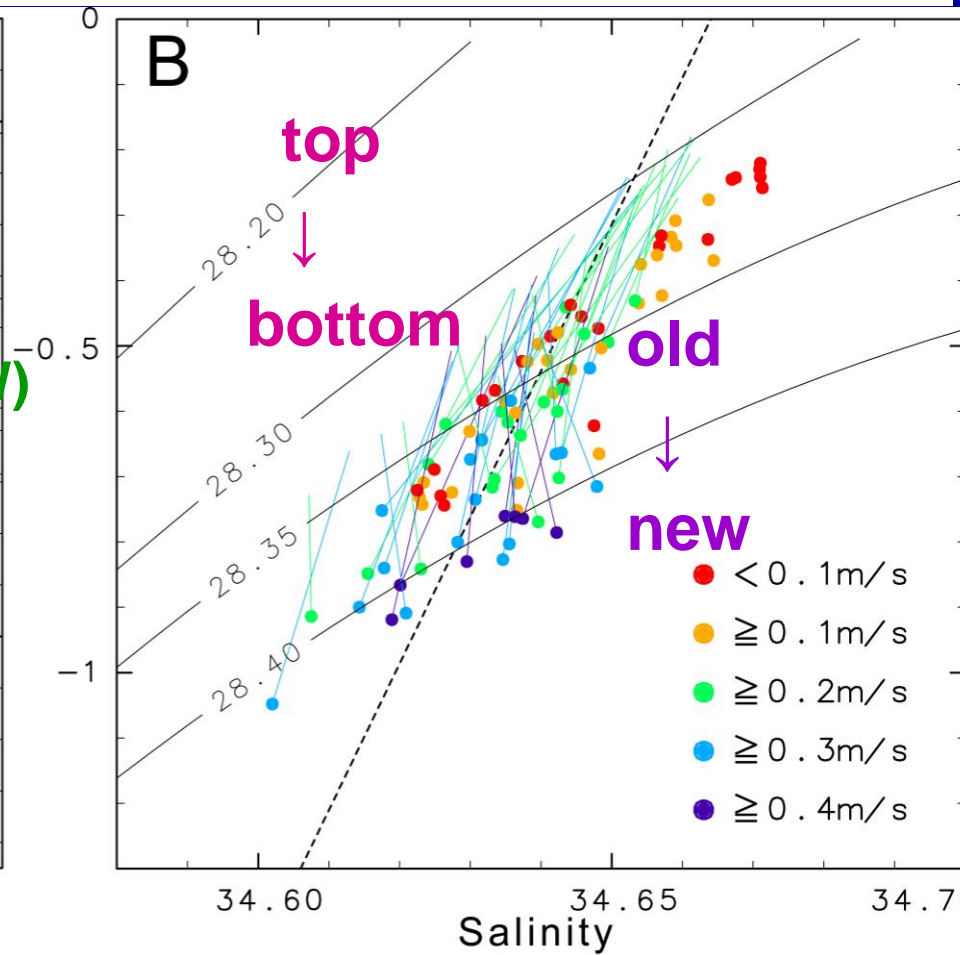
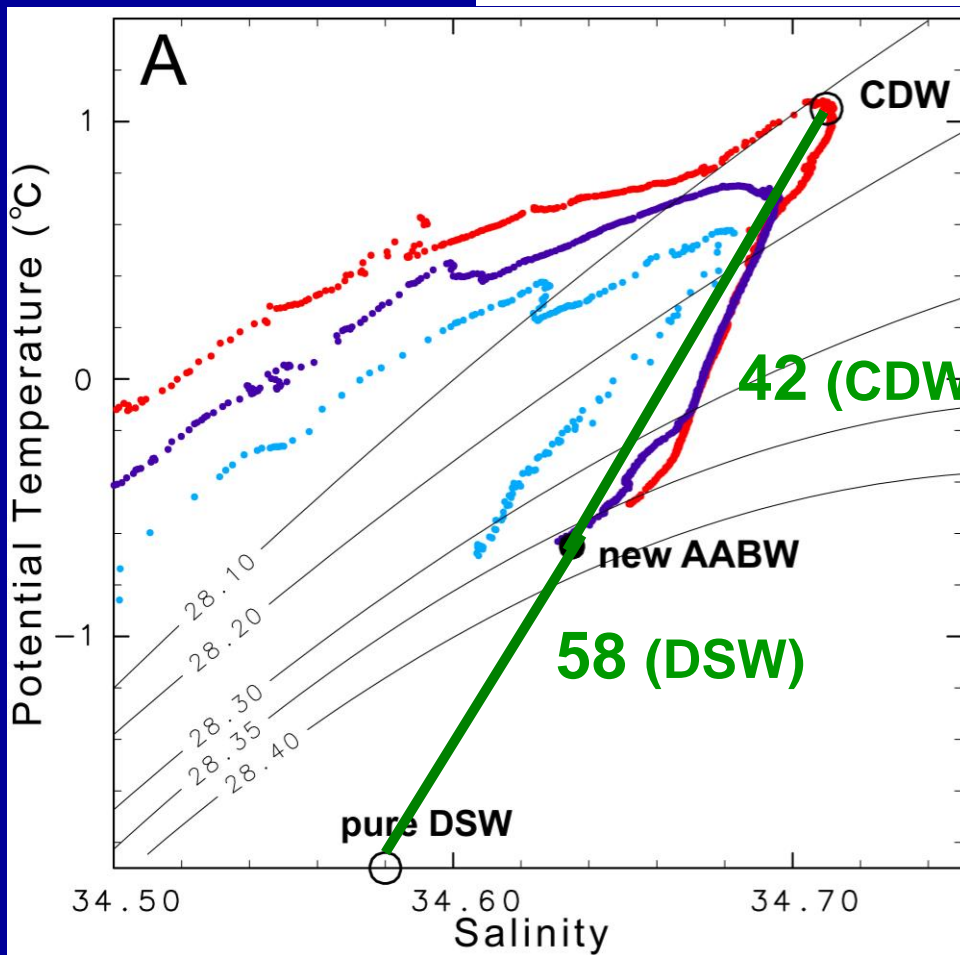
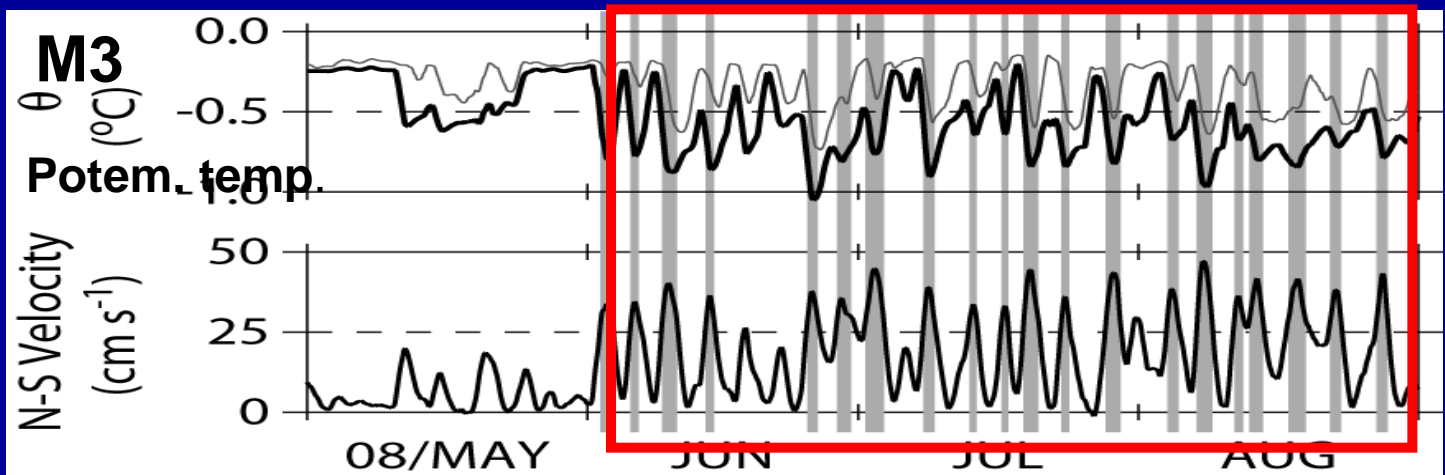




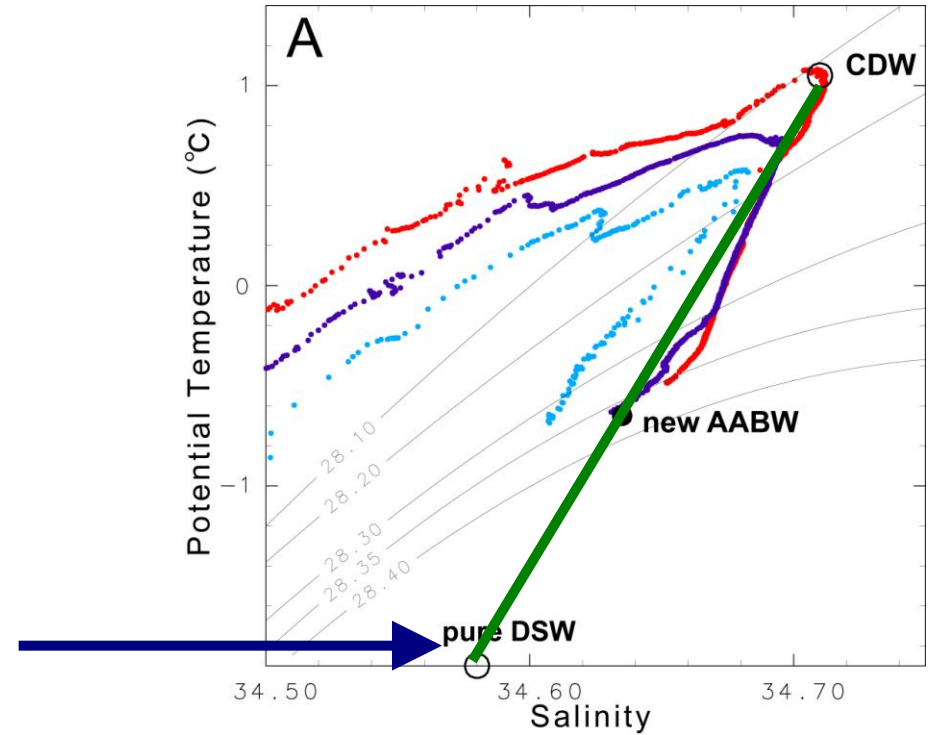
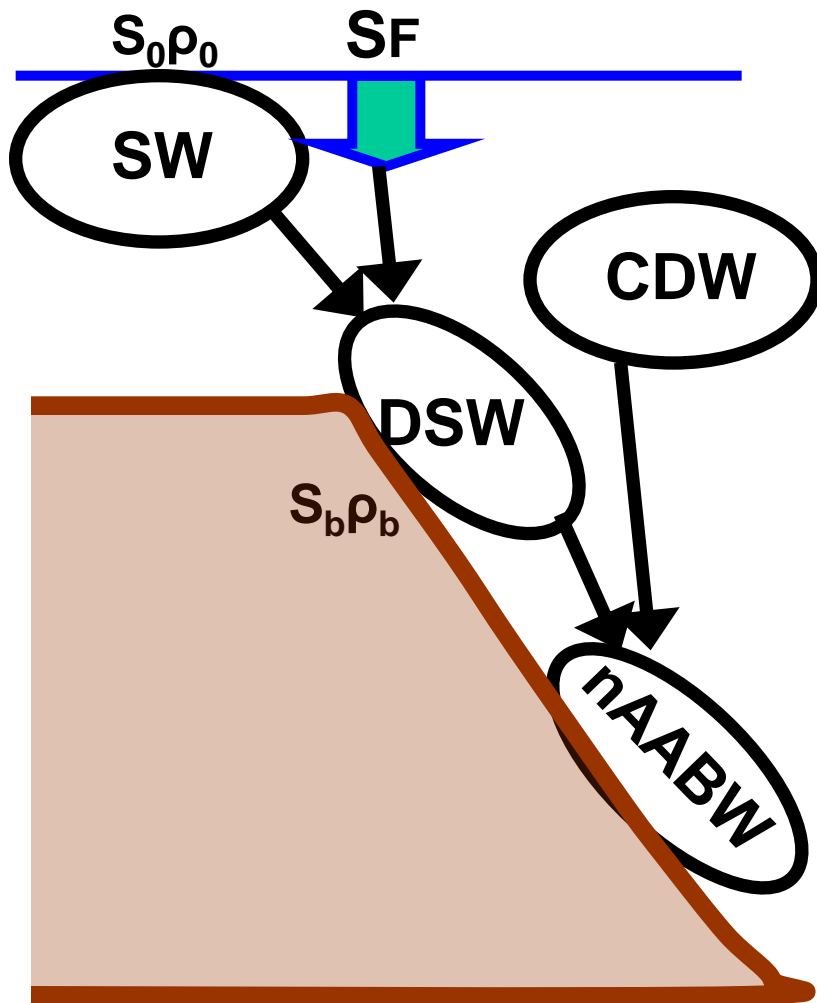
流速・水温を内挿・外挿;  $-0.4^{\circ}\text{C}$ 以下を新底層水

新底層水の厚さは平均 300m:  
 170m(6月)  $\rightarrow$  420m(10月) (予想以上に厚い)

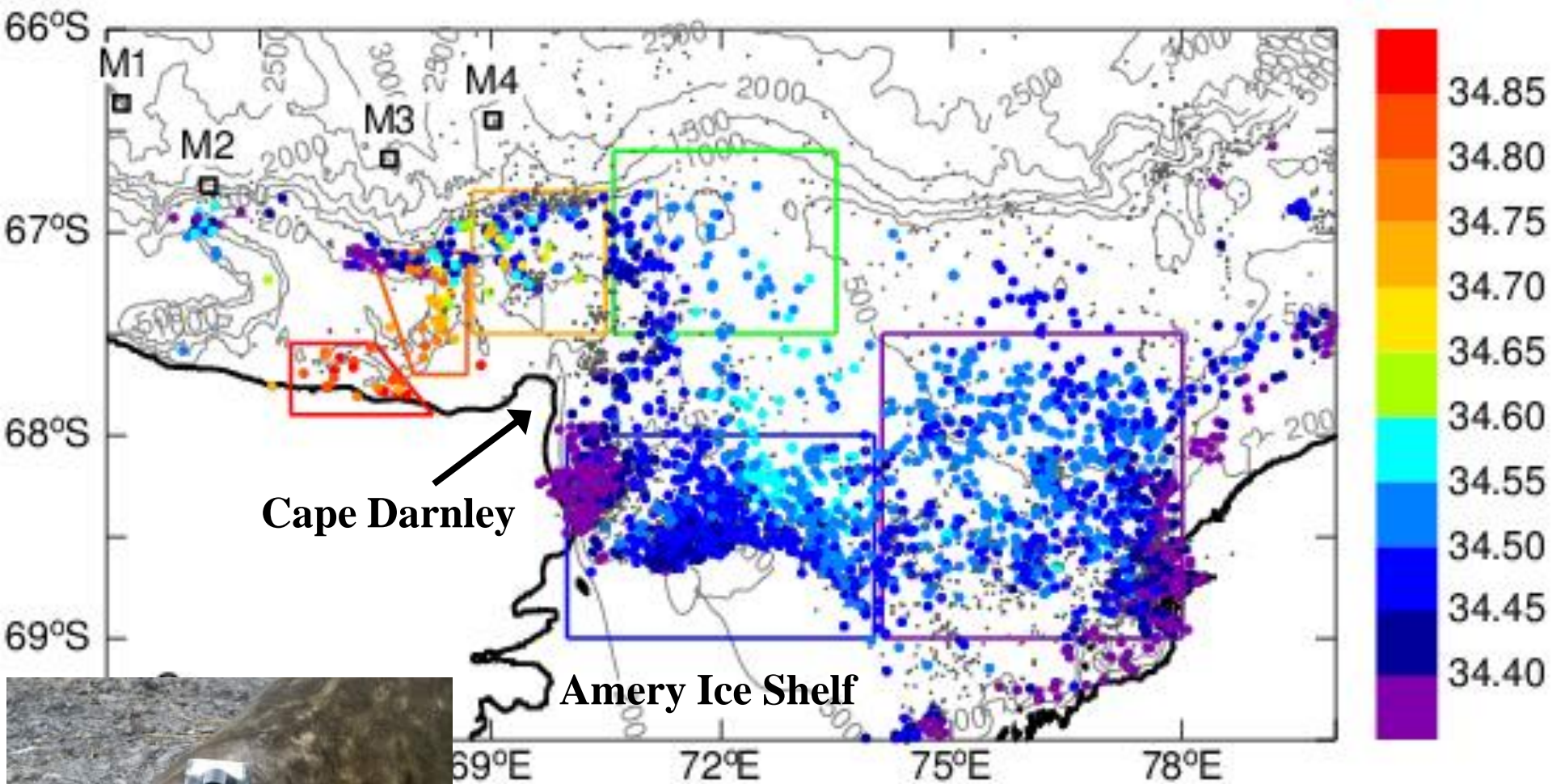
流れの幅を20kmと仮定: 新底層水の流量 0.52(Sv)



ポリニヤでの  
塩フラックス



- DSWの潜り込む流量の推定
  - 係留によるnAABW流量 0.52Svと DSWとCDWの混合比 (58:42)より  
→ 0.30 Sv (Wild Canyonのみ)
  - 海氷生産による塩フラックスにより summer SW がwinter DSWとなる  
→ 0.70 Sv (上限値)
- 0.3-0.7 Sv: 全南極の5.4 Svの~10%

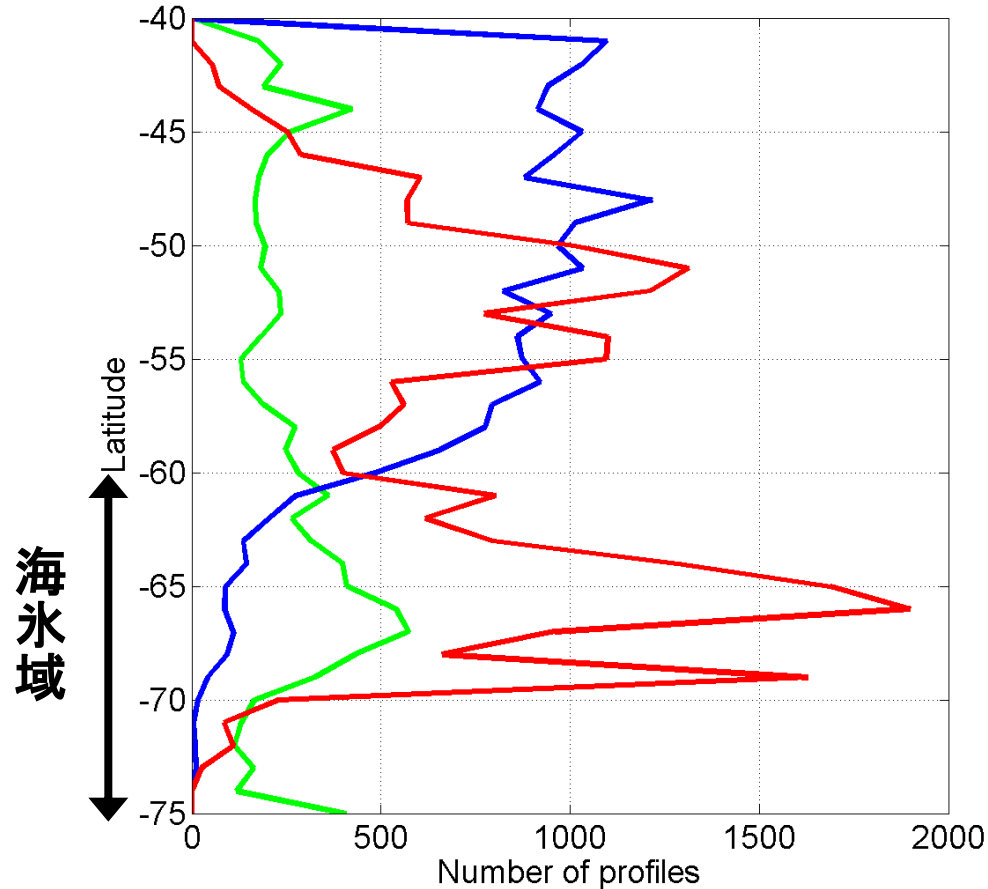


**Salinity of bottom water from instrumented seals**

**Collaborated with Drs. Williams, Roquet, Field, Hindell**

# SEaOS: Number of profiles: Southern Ocean

Number of profiles per degree Latitude (south of 40° S)



**SODB: 10513**

**Argo: 19463**

**SEaOS: 22230**

→ **150000**

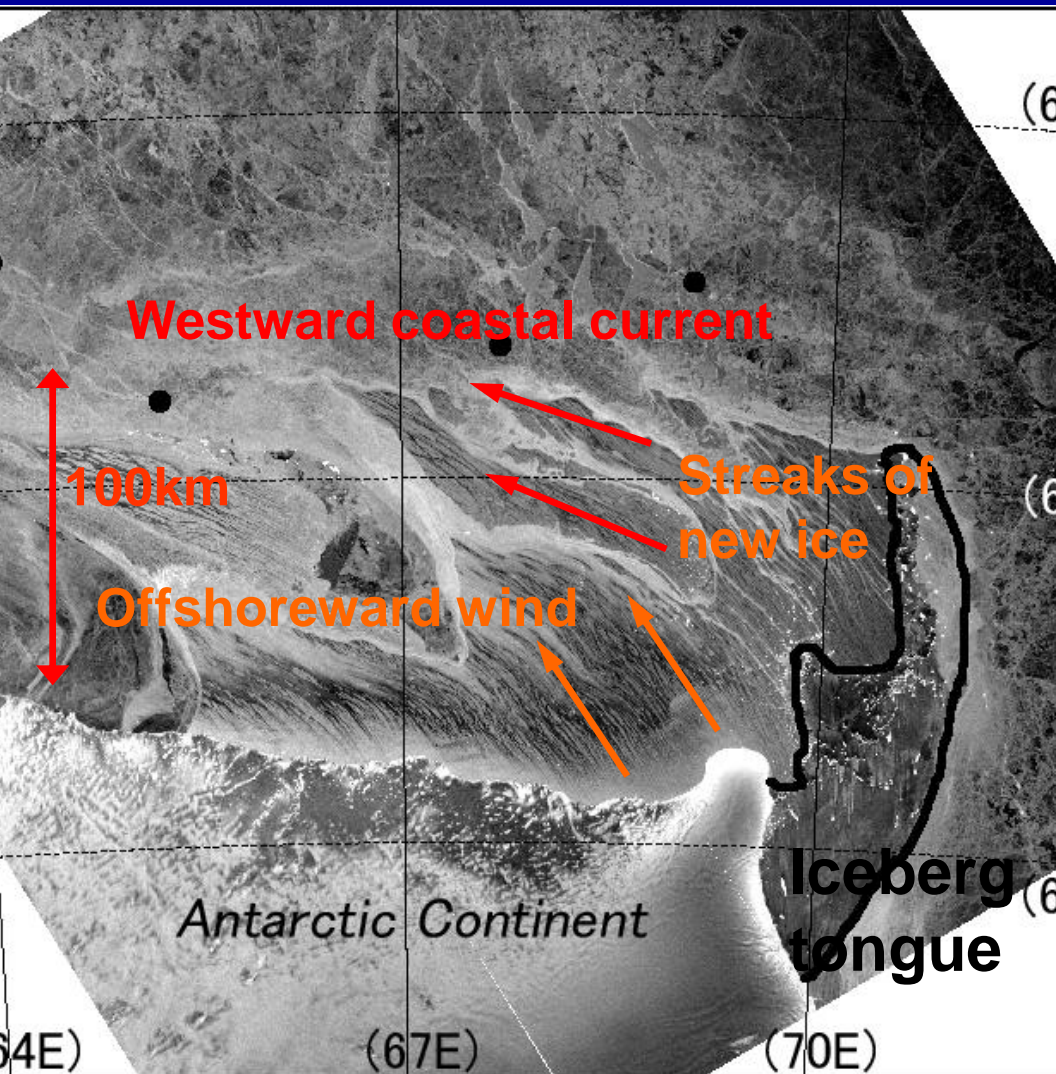
Courtesy L. Boehme

**ゾウアザラシ (Elephant seals) の場合:**

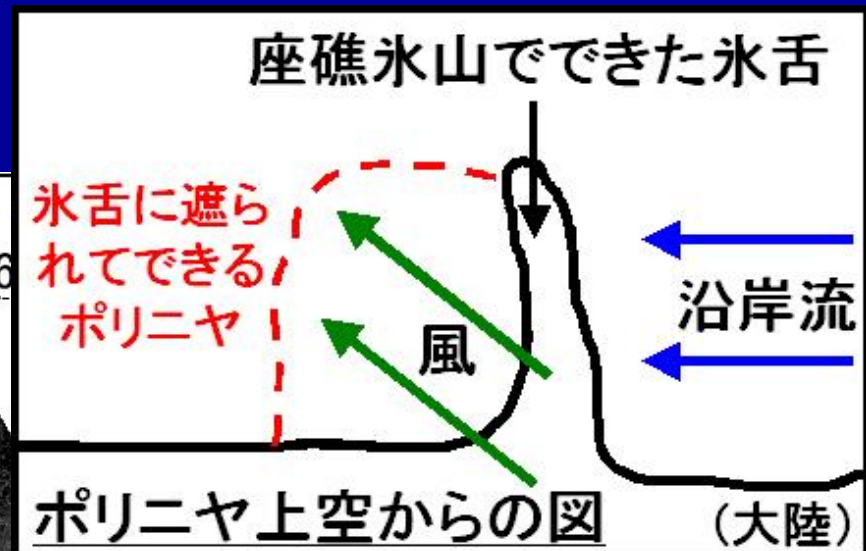
**最大2000m まで潜る**

**底の餌を取りに行くので高密度陸棚水・底層水が観測できる**

# 大きな海氷生産量はなぜ？ なぜ巨大なポリニヤができるか？



合成開口レーダ

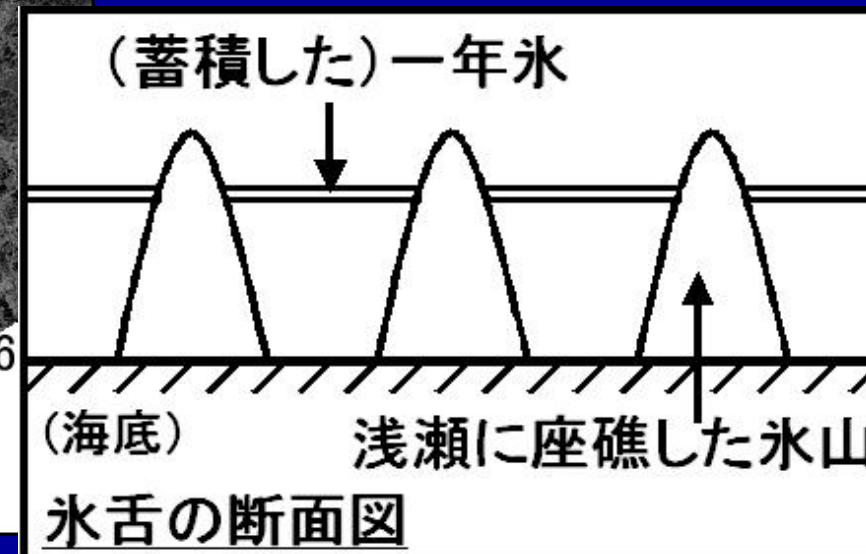


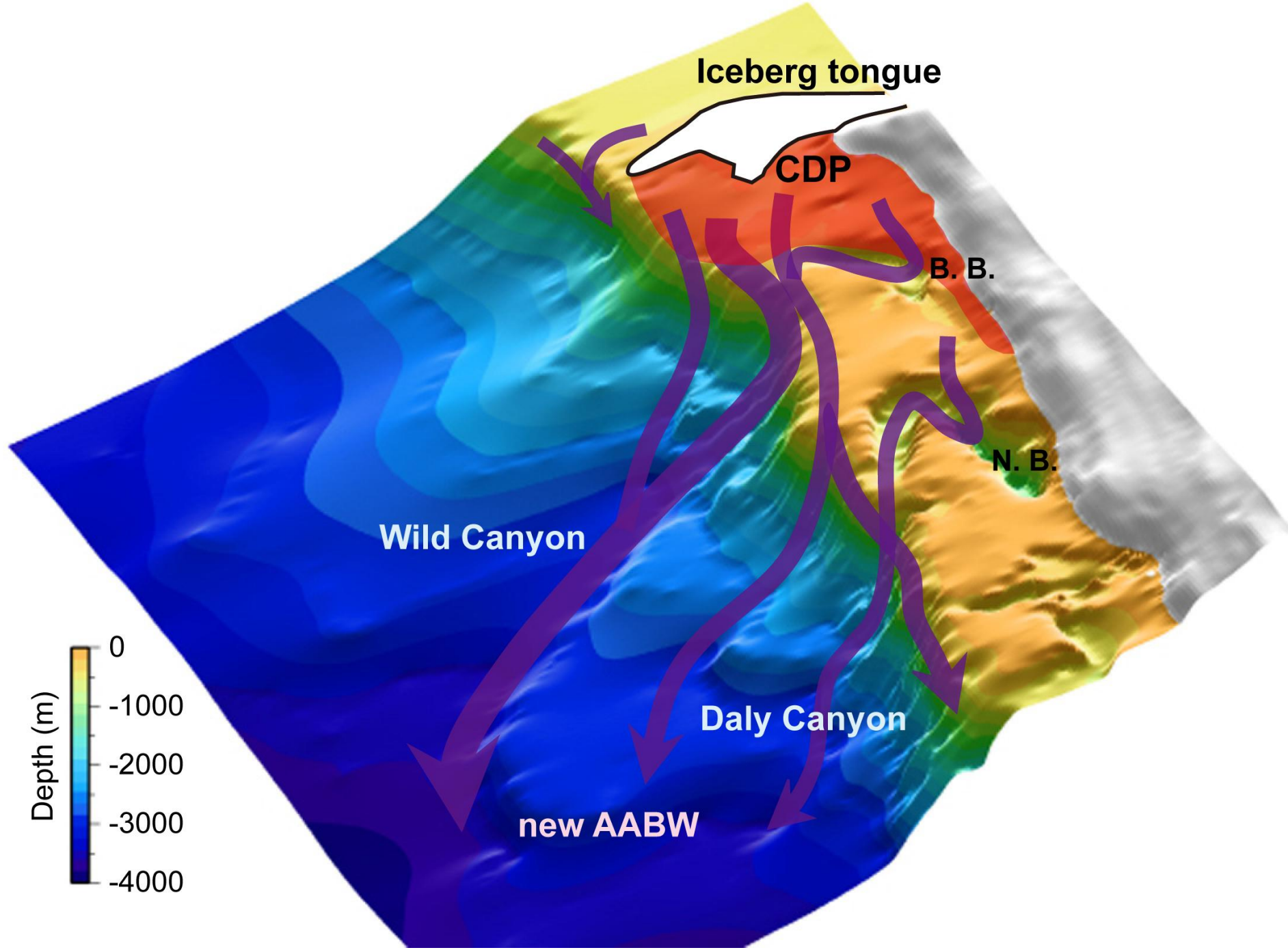
(6

(67S)

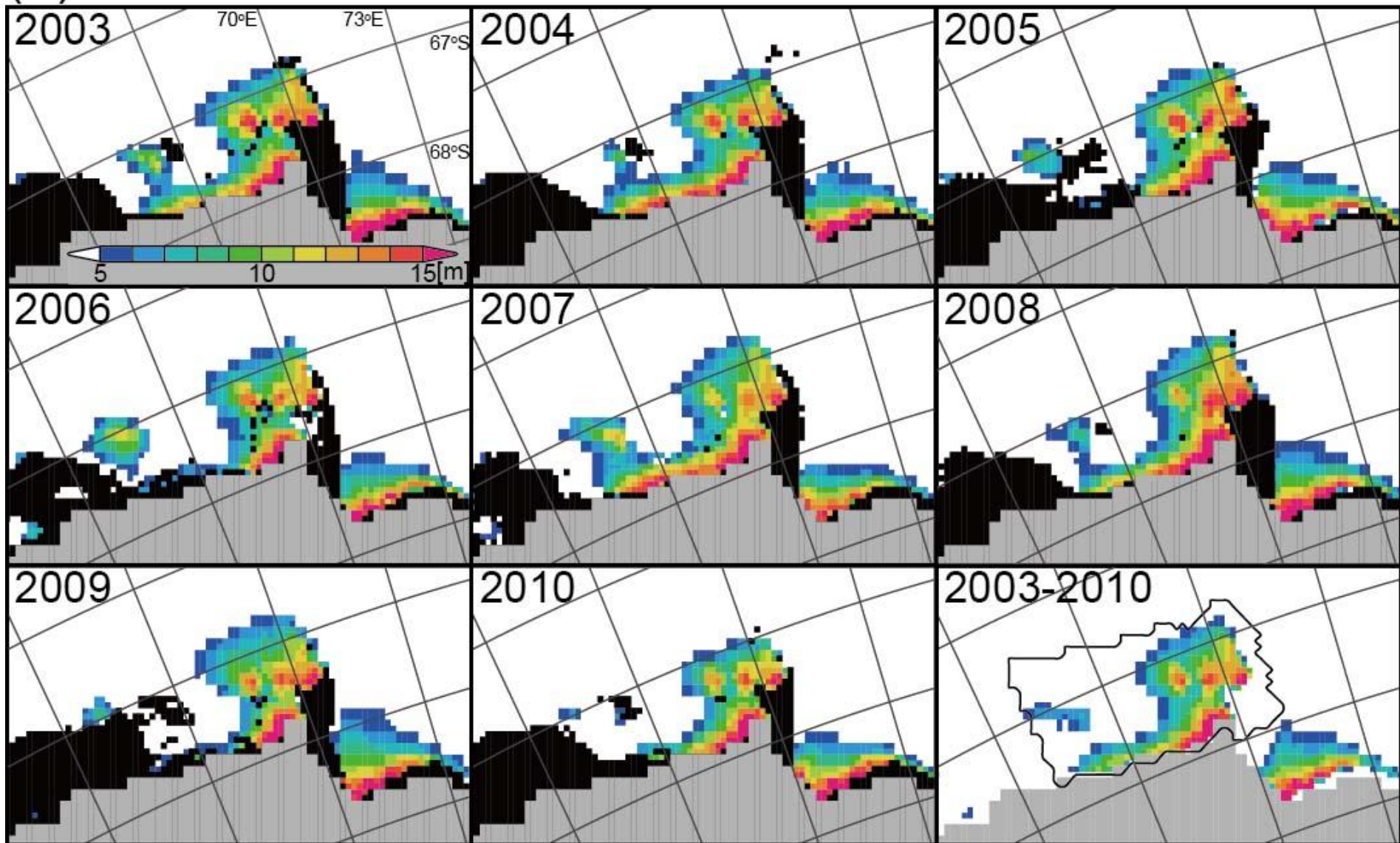
(6

## 氷山舌による フィルター効果





# Sea ice production (color shading) and iceberg tongue (black) during 2003-2010 (AMSR period)





# 今回の観測でわかったこと

- やっぱり、ケーブダンレー沖では、底層水がガッツリできていた！
- 峡谷では、冷たい重い水の到来に同期して強い降下流  
4-5日周期で間歇的・0.5m/sの降下流 (downslope current)
- 新底層水の厚さは平均300m: 170m(6月) → 420m(10月)  
(予想以上に厚い)
- 係留系観測と海氷生産からの見積もりによると、  
表層から底層への水の潜り込む量は 0.3-0.7 (Sv)  
全南極からの潜り込み量の10%
- 東にある冰山舌によるフィルター効果が高海氷生産を生む

# 高速非静水圧モデル(Matsumura & Hasumi)による数値simulation

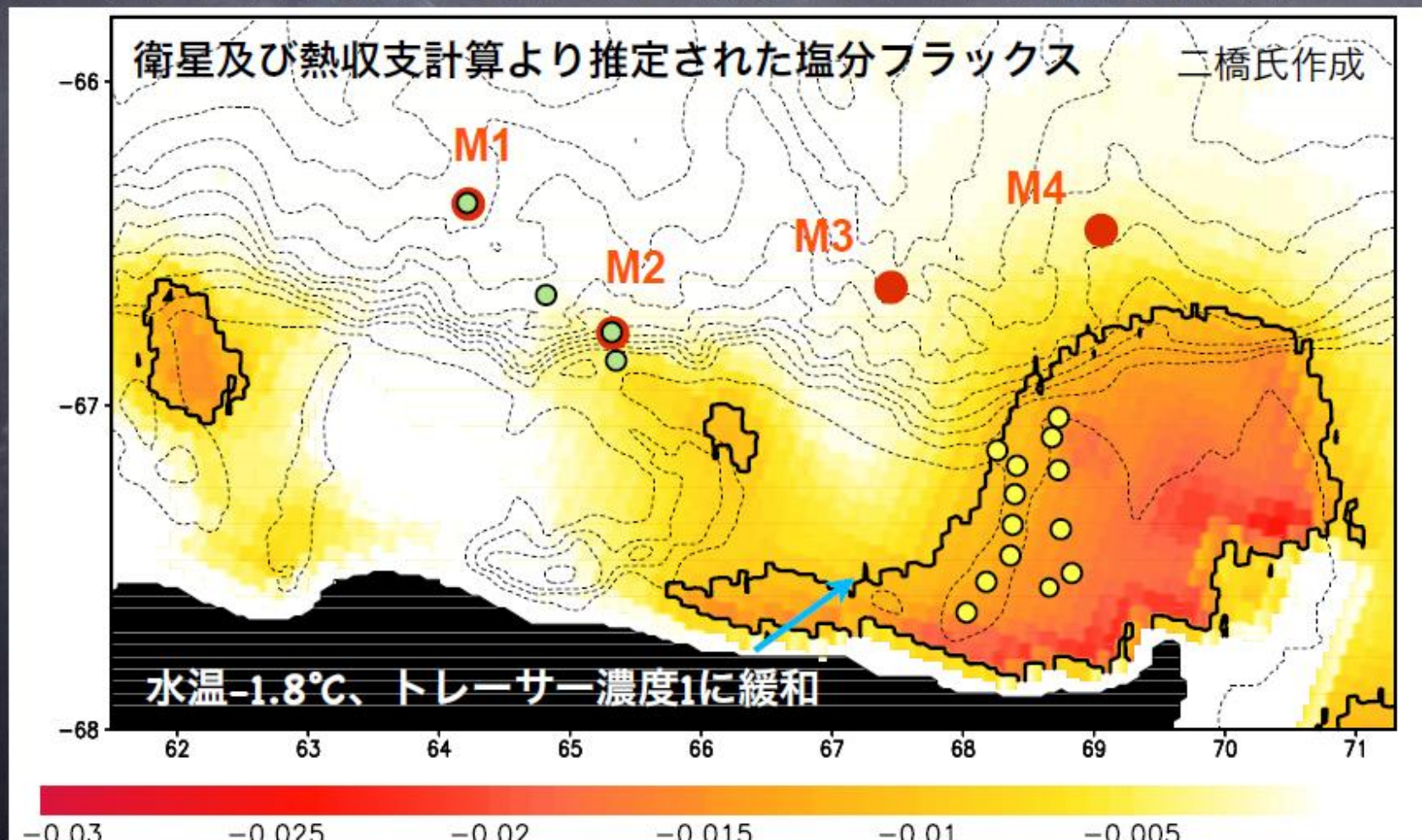
中山修士論文

解像度 : 1/20°(東西) × 1/80°(南北) 鉛直10m

地形 : GEBCO 1min 地形データ, AAD 0.005deg 地形データ

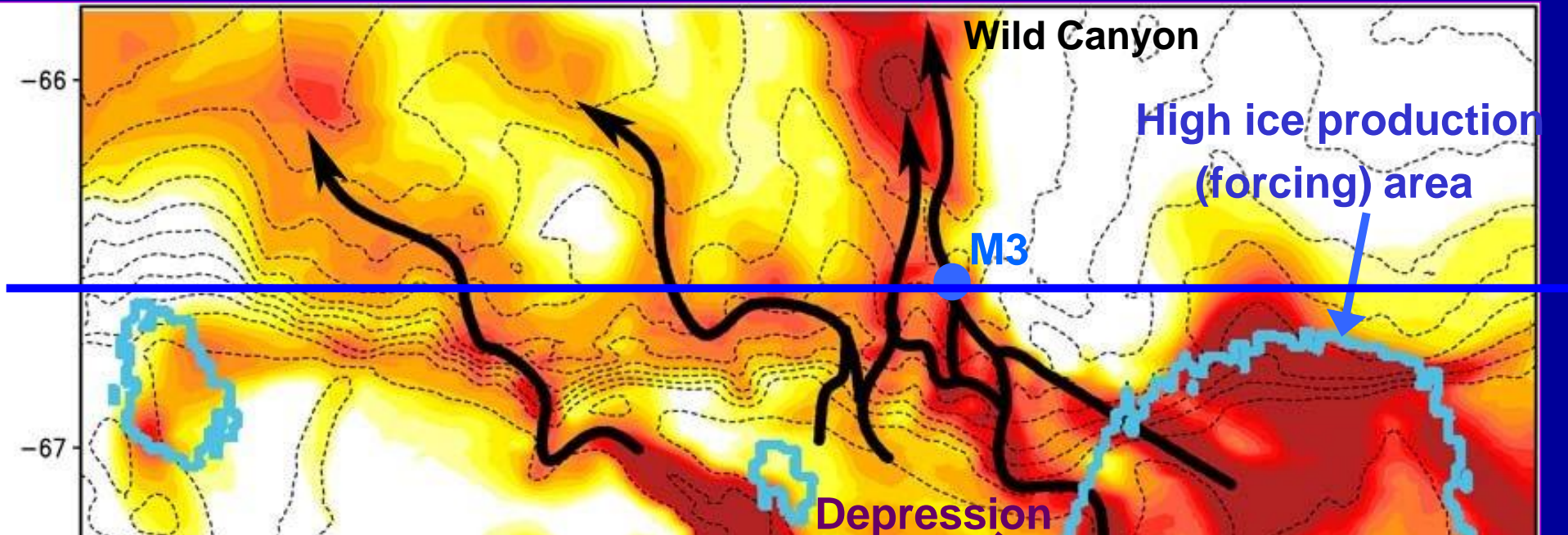
初期値 : 海鷹丸(緑)、しらせ(黄)の水温、塩分の観測値から補完。

フォーシング : 2008年3-10月平均の塩分フラックス。風応力なし。

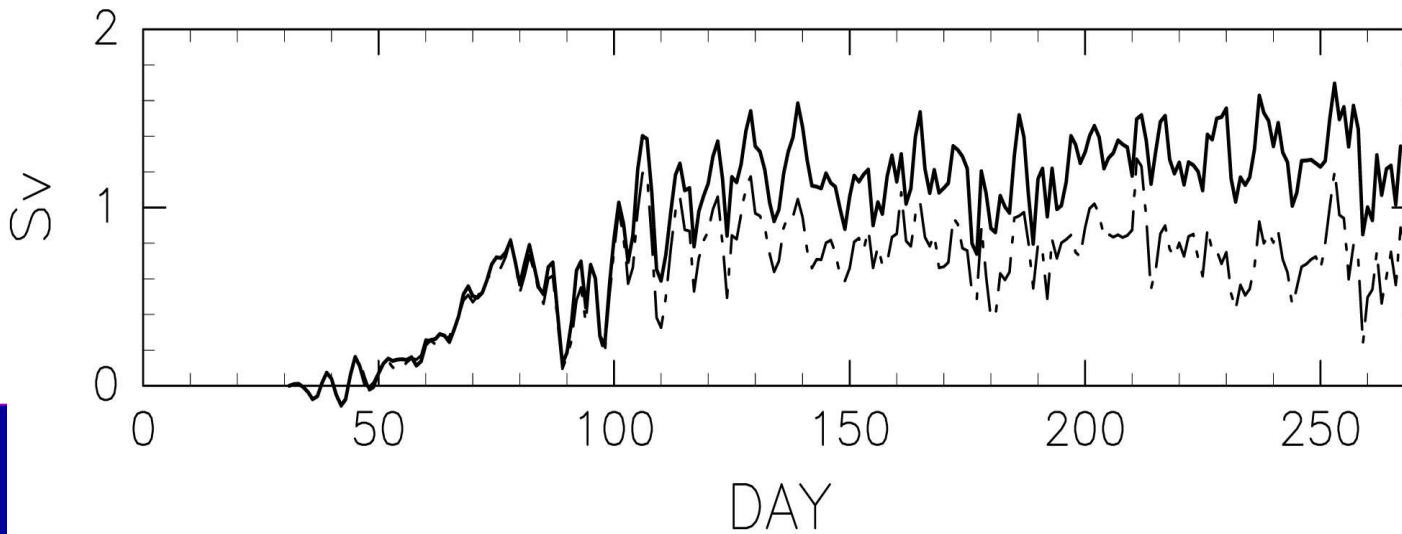


# Pathway of AABW from the simulation forced by polynya salt flux

**Integrated tracer concentration** DW: Polynya → Depression → Canyon

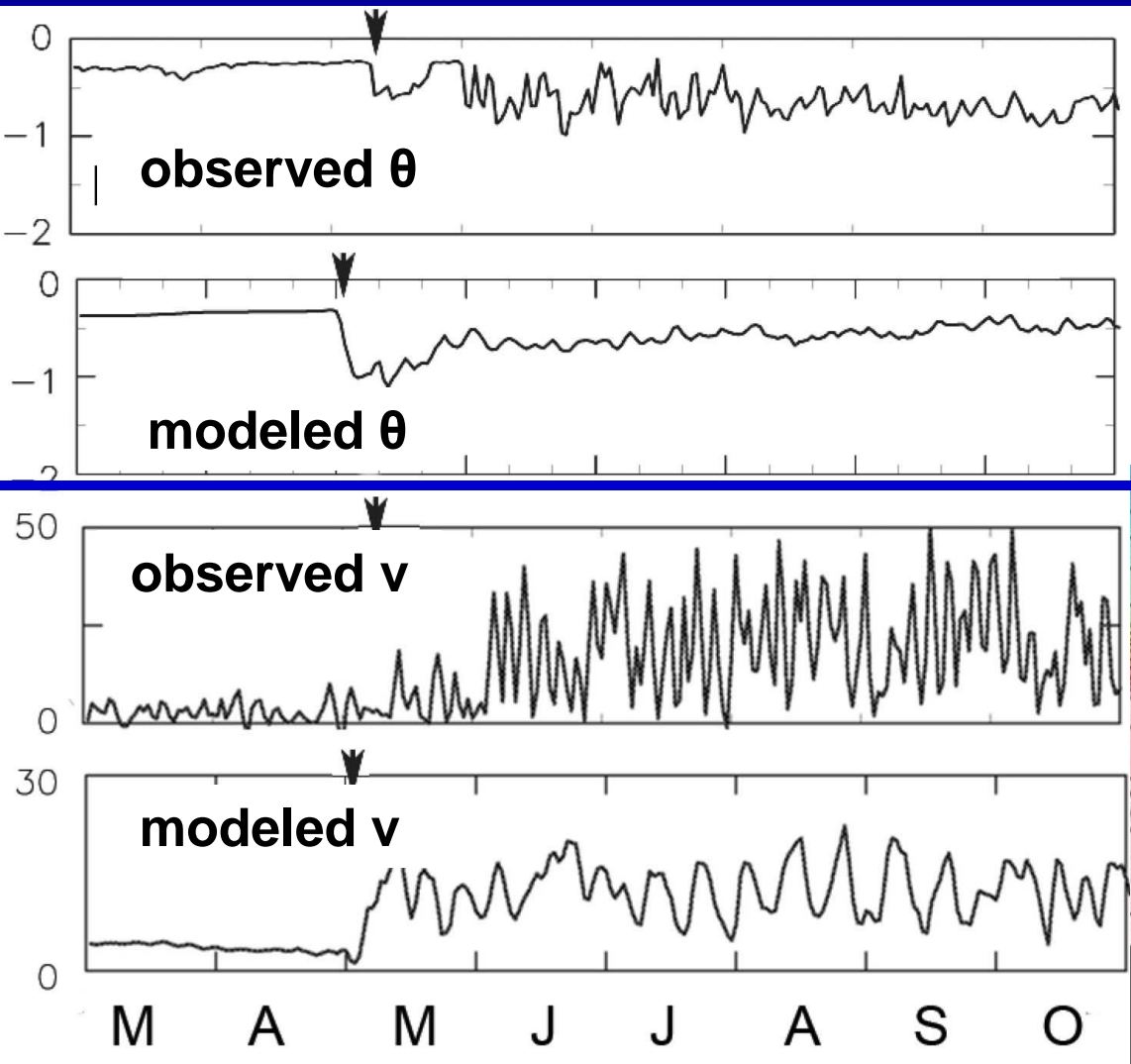


## Volume flux of dense water which crosses 400m-depth contours

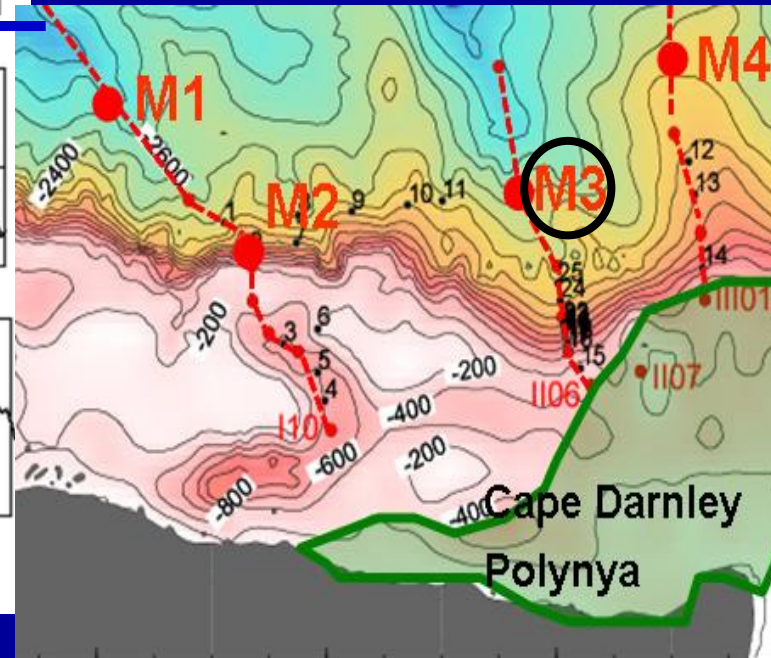


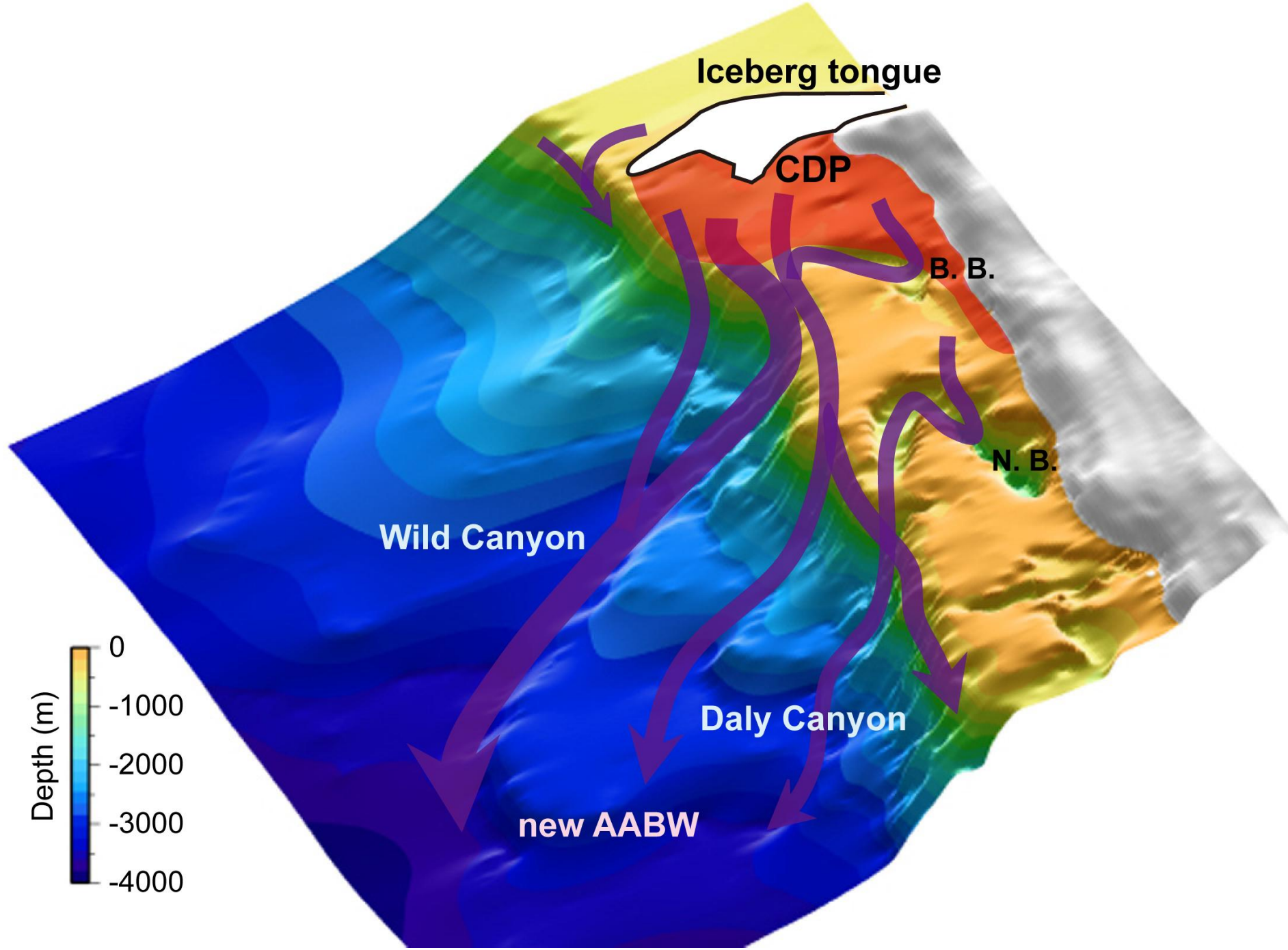
**Maximum 1.50 Sv**  
**Annual 0.60 Sv**  
**Ice prod. 0.3-.7 sv**  
**All Antarc. 5.4 Sv**  
(Orsi et al, 2002)

# Reproduction of arrival of dense water and periodic downslope current



Comparison between observation and model at M3





# Cape Darnley Project (Cruises)

IPY



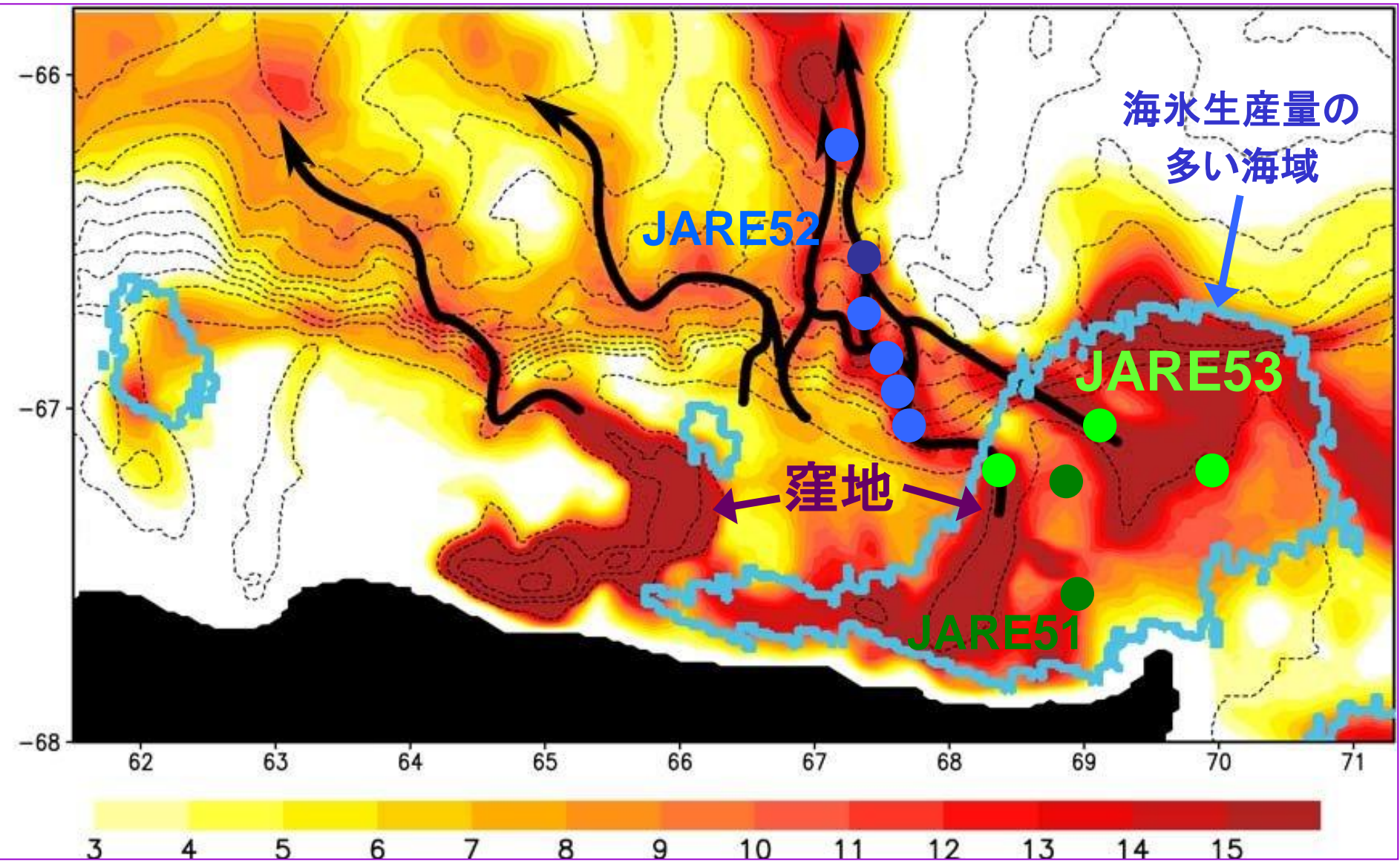
Year	2008	2009	2010	2011	2012	2013	2014	2015	2016
Cruise	↔ Hakuho-mar	↔ Umitaka-mar	↔ Shirase	↔ Shirase	↔ Shirase	↔ (Shirase)	↔ (Umitaka-mar)	↔ Hakuho-mar	↔ Hakuho-mar
Moored Region	↔ Slope		↔ Polynya	↔ Slope		↔ (Polynya)			↔ or Canyon

Aqua AMSR-E

present

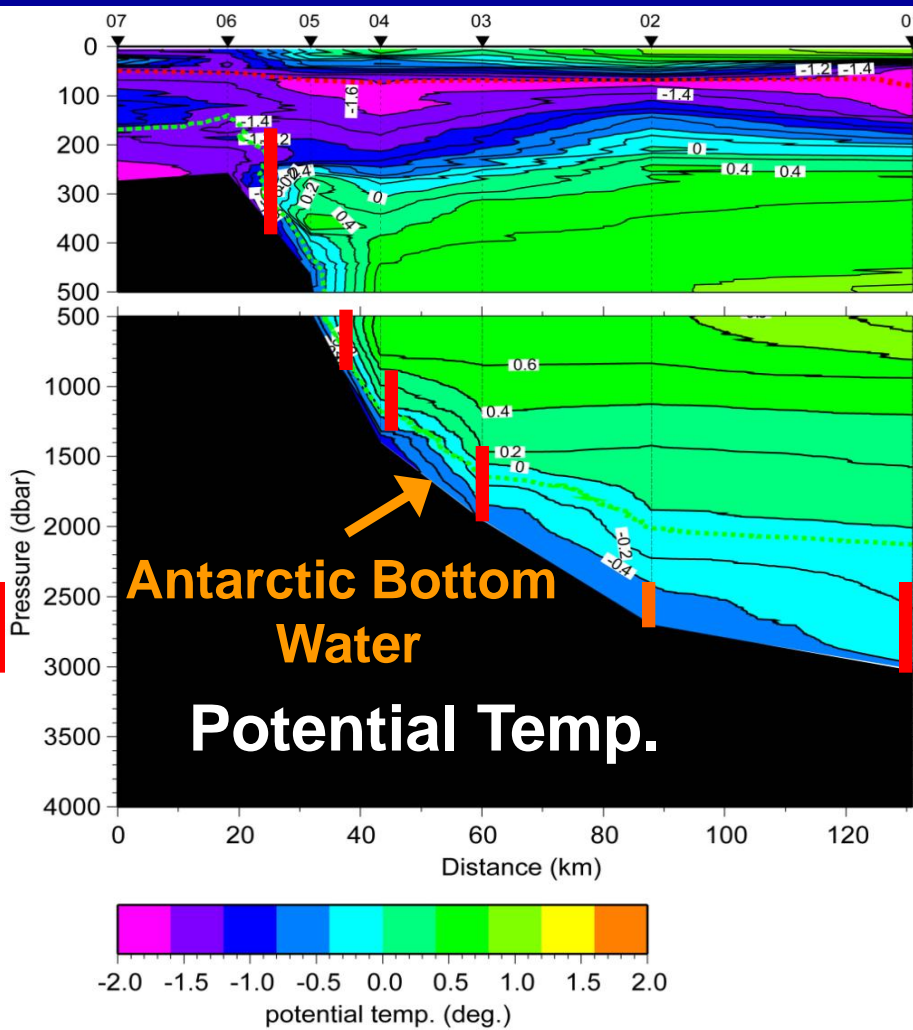
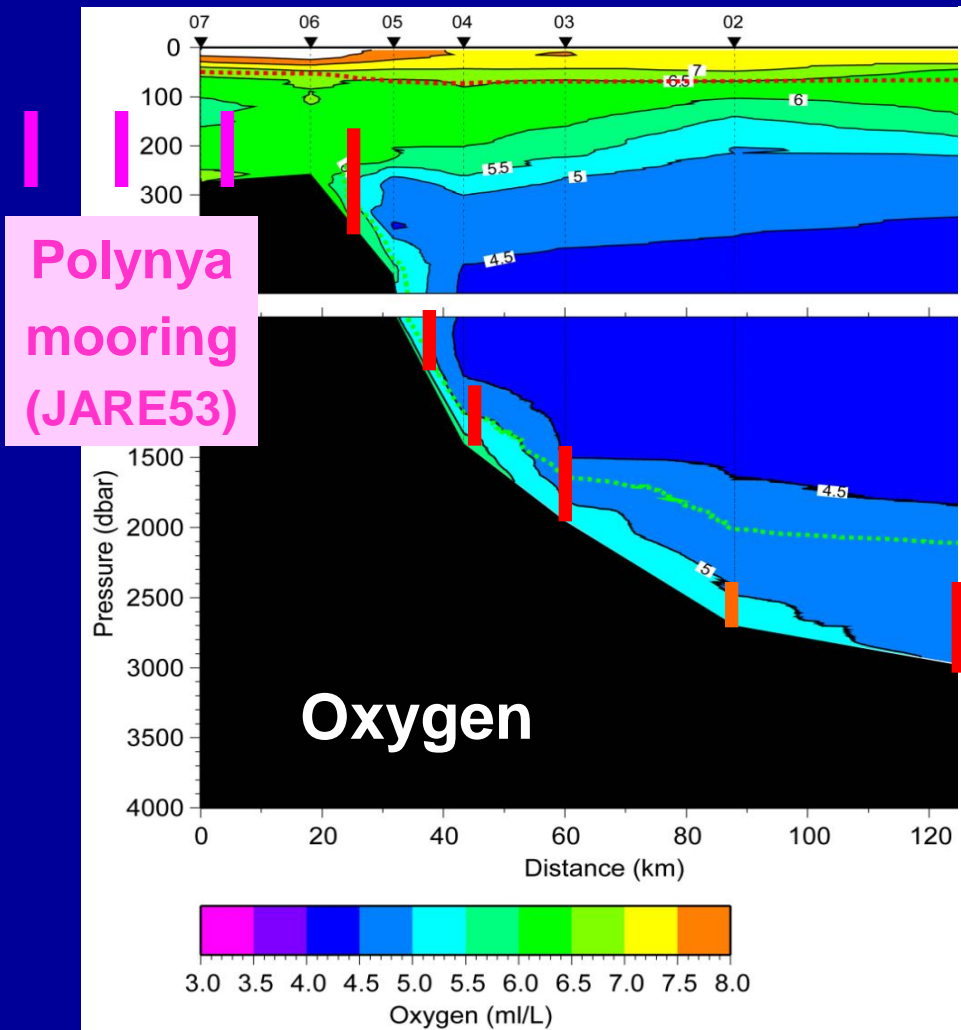
GCOM-W1 AMSR2

数値シミュレーション: ポリニヤ(水色枠内)での高海氷生産による南極底層水形成  
鉛直積分したトレーサー濃度の平均値 窪地から流出、谷に沿って沈み込む



# Mooring array off Cape Darnley

Deploy: Feb. 2011 (JARE52) → Recover: Feb. 2013 (JARE54)



JARE51 → JARE54: 未知の南極底層水を探る



# **Summary for Cape Darnley Bottom Water**

**In addition to three well-recognized AABW sources, a fourth variety of AABW has been identified east of the Weddell Sea. However, neither its production, nor Dense Shelf Water (DSW) source, has been observed.**

**Here we show that enhanced sea-ice production in the Cape Darnley Polynya (65–69° E) is the missing source of this AABW.**

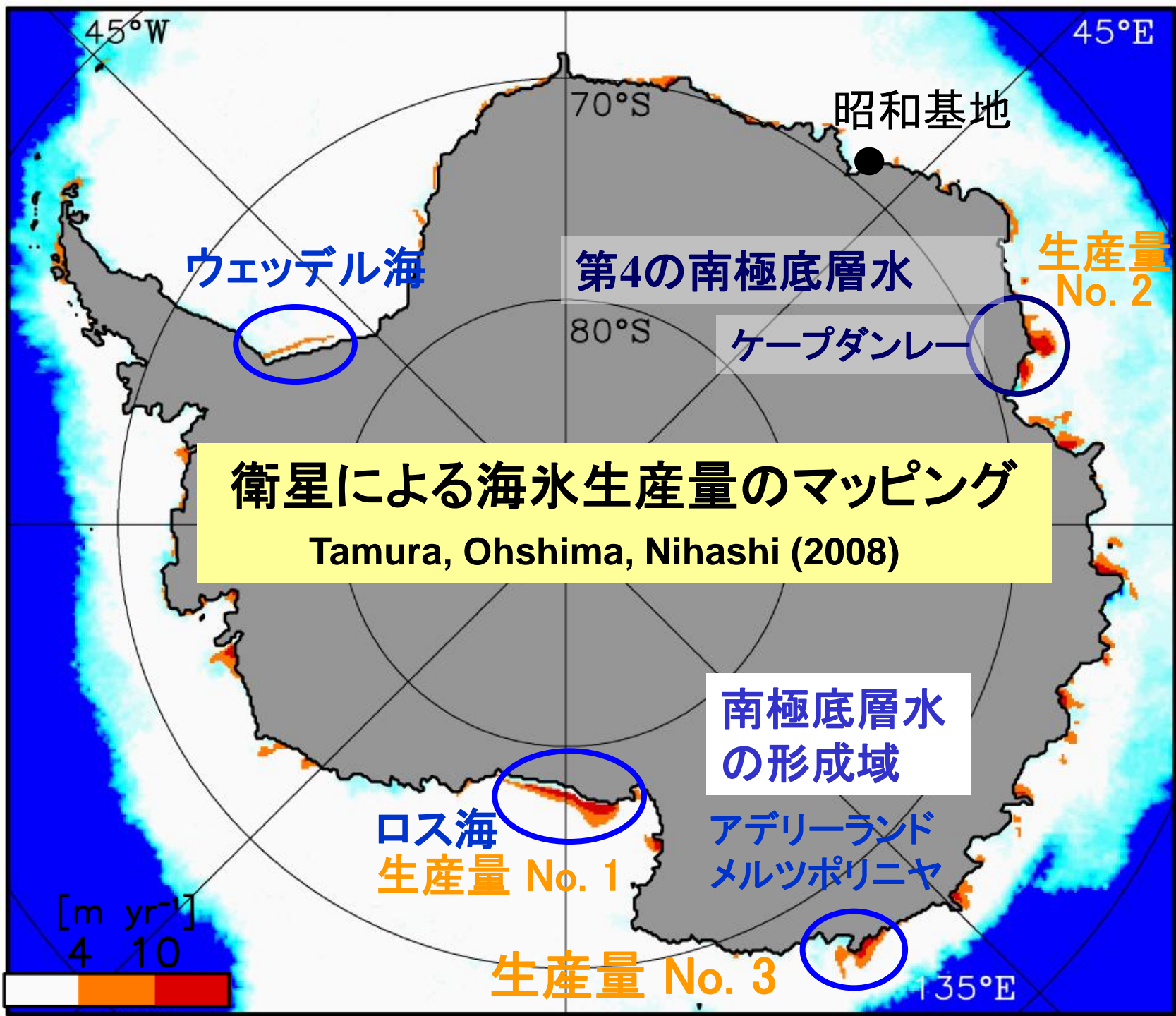
**Moored instruments observed overflows of new AABW cascading down offshore canyons, with its DSW source identified by instrumented seals.**

**That this AABW is produced mainly from sea-ice production without the assistance of an ice shelf and/or large storage volume, challenges the traditional paradigm.**

**We estimate that 0.3–0.7 Sv (  $10^6 \text{ m}^3 \text{ s}^{-1}$ ) of DSW is transformed into AABW, accounting for 6–13% of the circumpolar total.**

**Cape Darnley Bottom Water should now be incorporated into the assessment of the global overturning circulation and its variability.**

1. イントロダクション: 海氷生成と中深層水形成
2. 衛星による海氷生産量・熱塩フラックスの見積もり
3. 未知の南極底層水生成域の発見
4. **中深層水の変動と海氷生産量**
5. 沿岸ポリニヤでの高精度海氷・海洋観測(衛星トウルス)
6. 中層水の新しいモニター観測



45°W

45°E

70°S

昭和基地

ウェッデル海

第4の南極底層水

生産量  
No. 2

80°S

ケープダンレー

# 衛星による海氷生産量のマッピング

Tamura, Ohshima, Nihashi (2008)

南極底層水  
の形成域

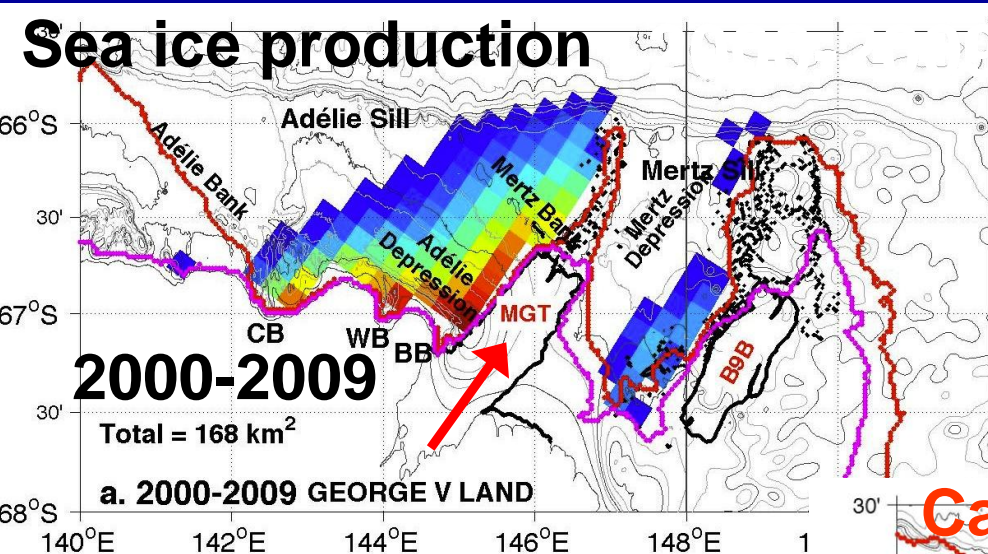
ロス海  
生産量 No. 1

アデリーランド  
メルツポリニヤ

[m yr<sup>-1</sup>]  
4 10

生産量 No. 3

135°E



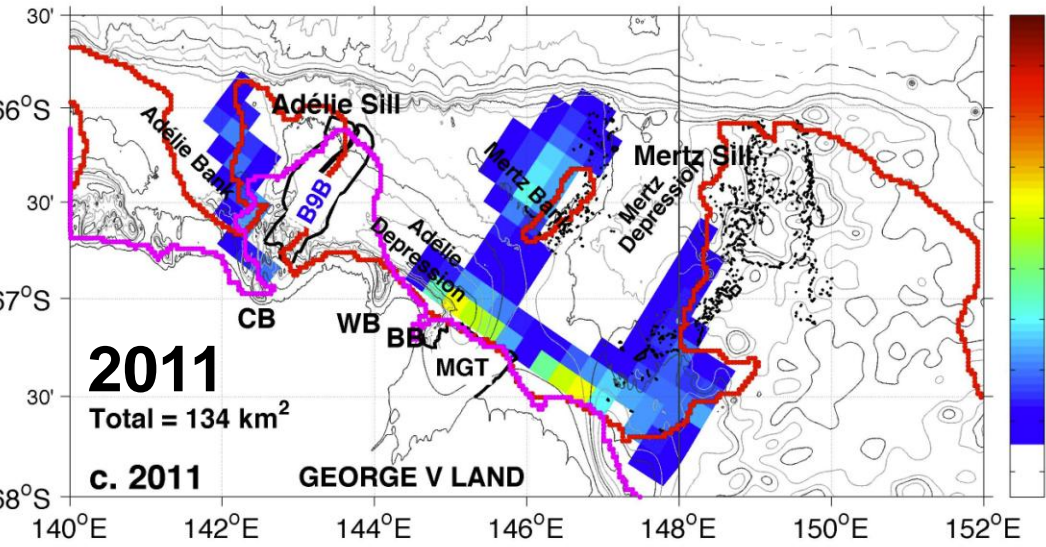
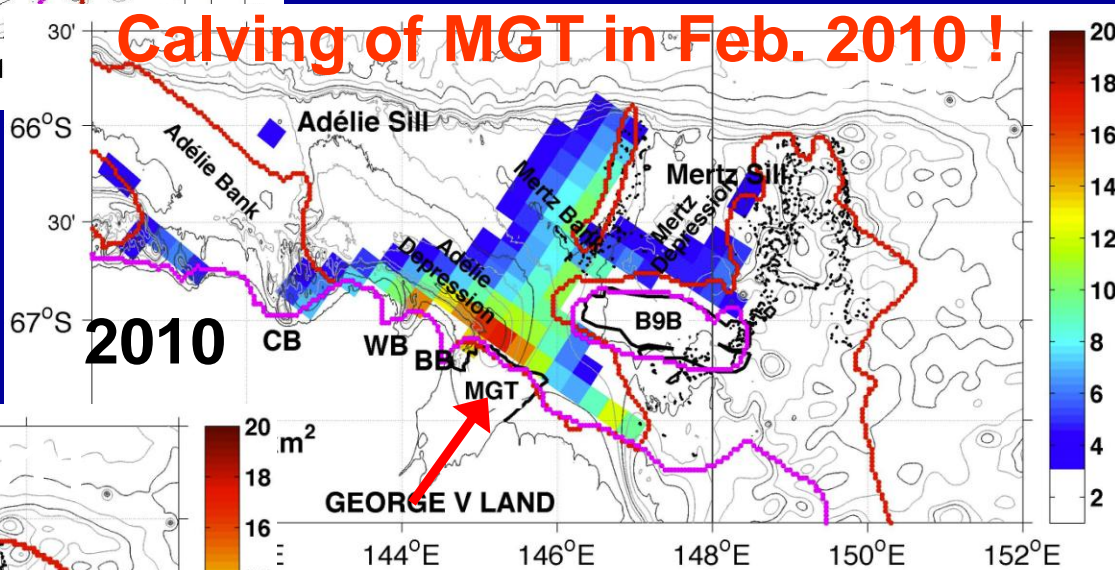
**Calving of Mertz Glacier Tongue (MGT)**

↓

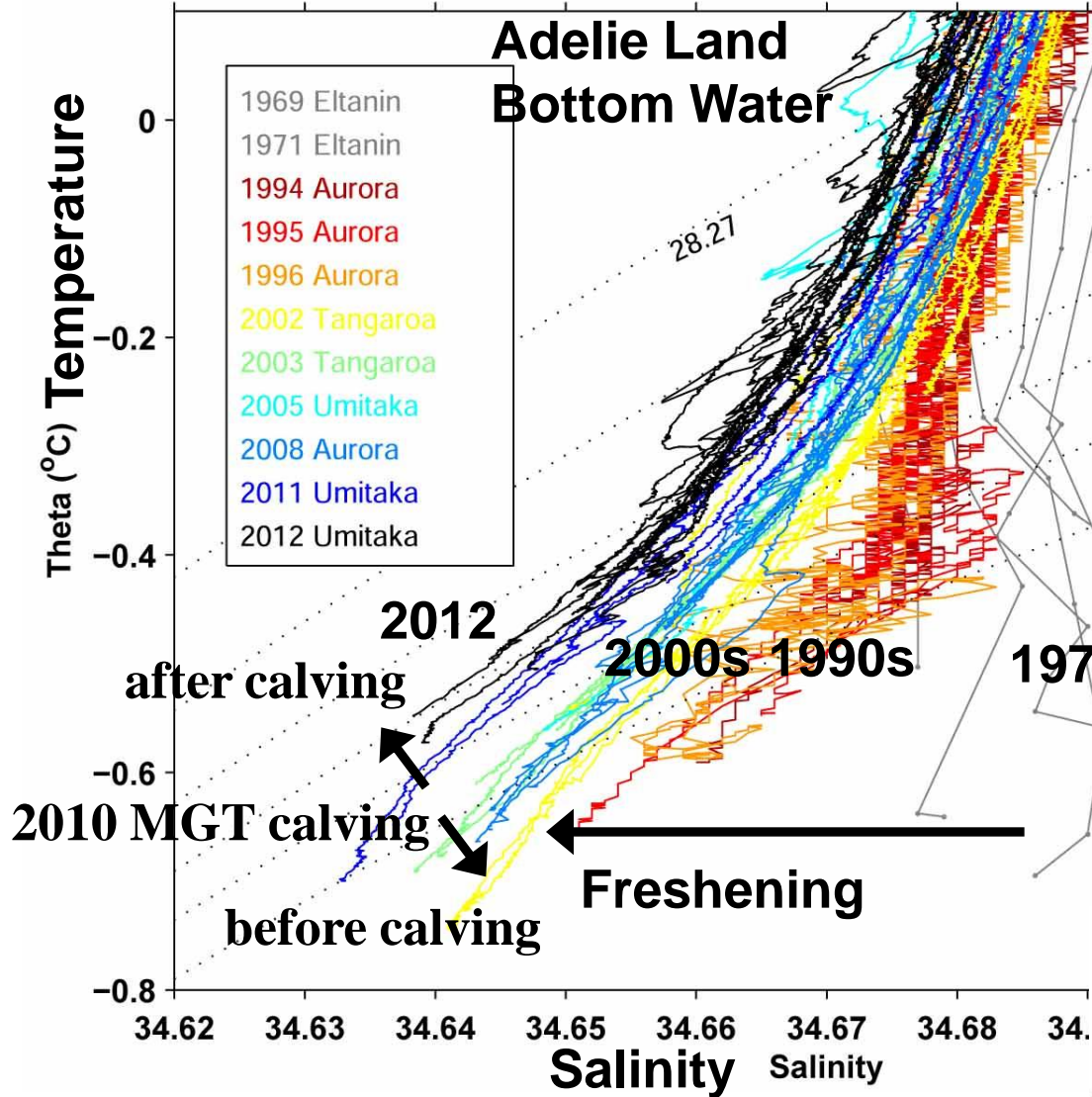
**Decreased sea ice production**

↓

**Decreased AABW ?**



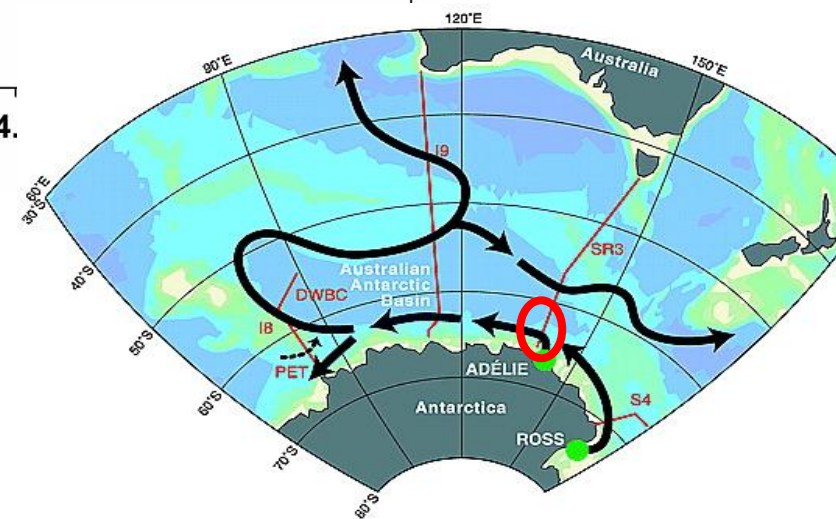
Tamura and Williams, et al., 2012,  
Nature Communications



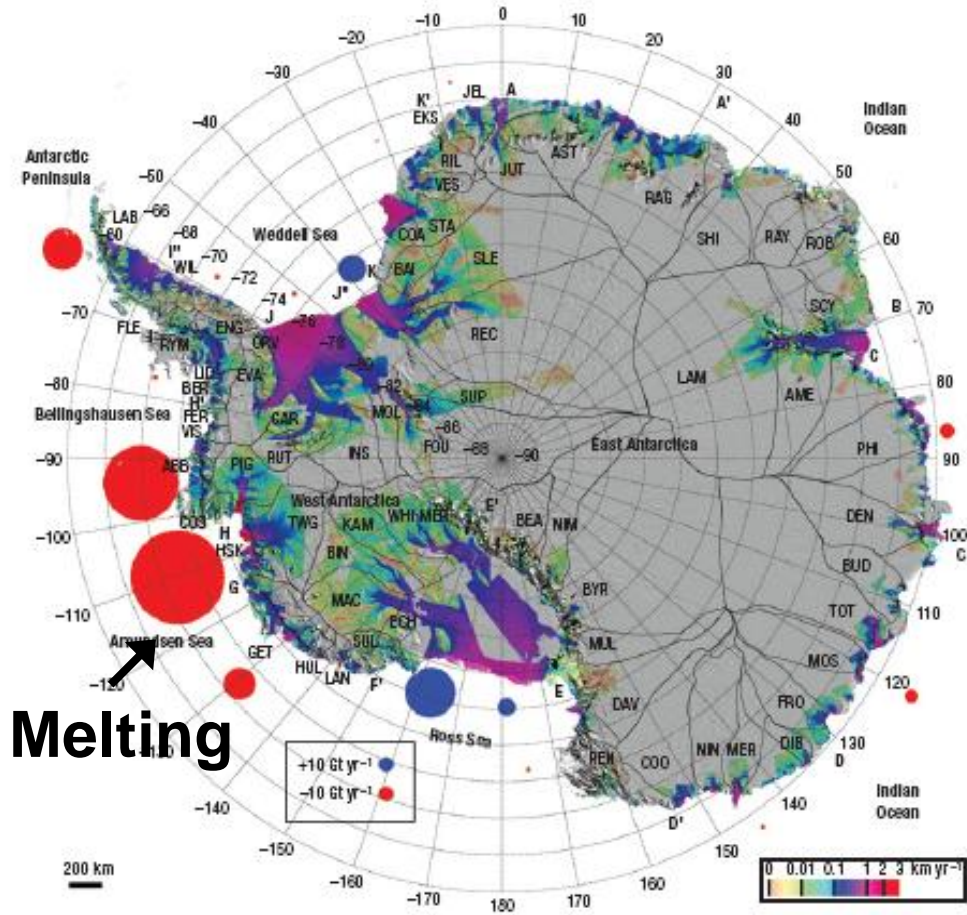
- 1969 Eltanin
- 1971 Eltanin
- 1994 Aurora
- 1995 Aurora
- 1996 Aurora
- 2002 Tangaroa
- 2003 Tangaroa
- 2005 Umitaka
- 2008 Aurora
- 2011 Umitaka
- 2012 Umitaka

- ### Cause of Freshening
- Enhanced melting of Ice Shelf
  - Increase of P-E (Precipitation-Evaporation)
  - Deduced sea ice prod. in the polynya

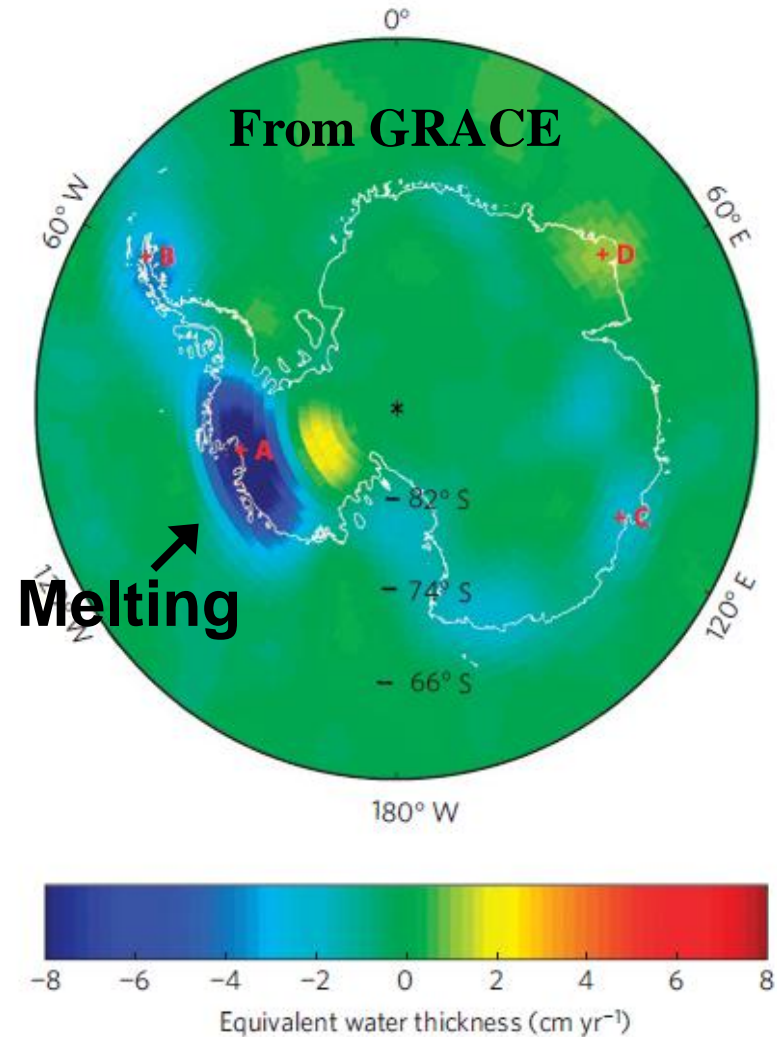
Aoki et al., in preparation



# Increase/Decreased rate of Ice Shelf, Ice Sheet



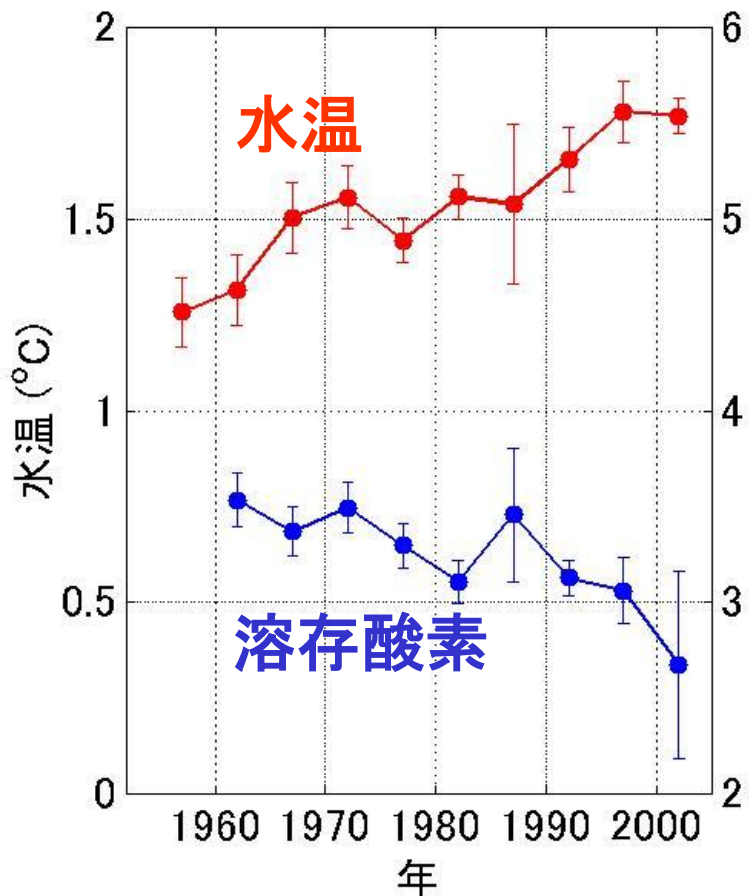
(Rignot et al. 2008)



(Chen et al., 2008)

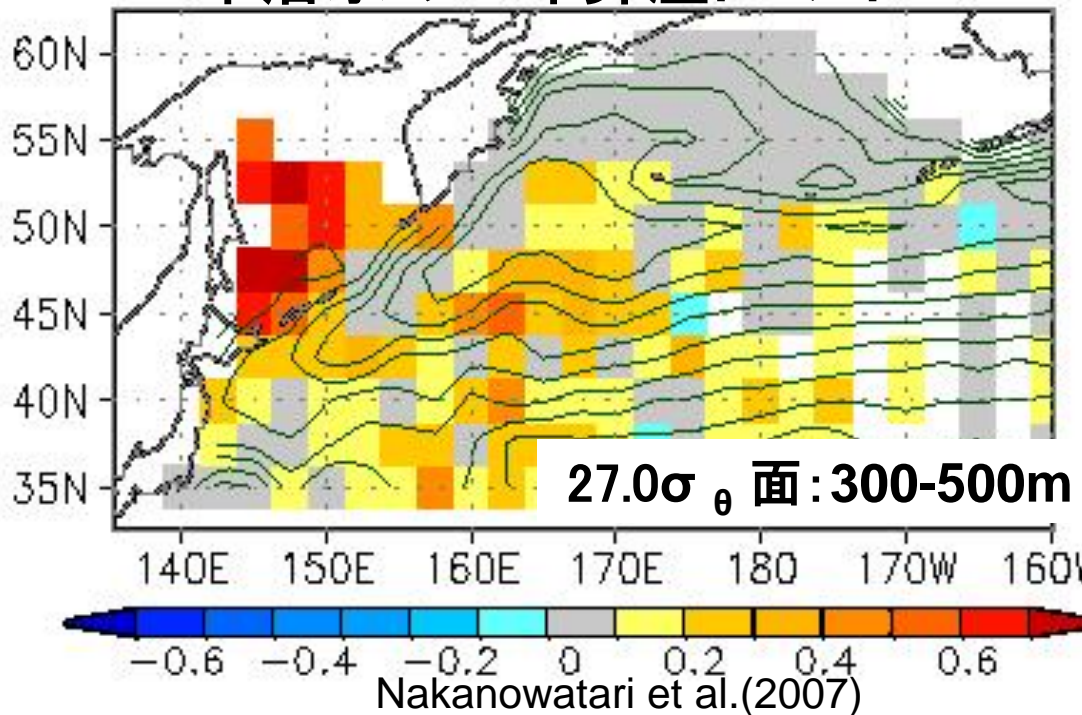
# オホーツク海からの熱塩循環：最も弱化が顕著 !?

→ 海水生産量の弱化が原因？



## オホーツク海の中層水の50年間の変化

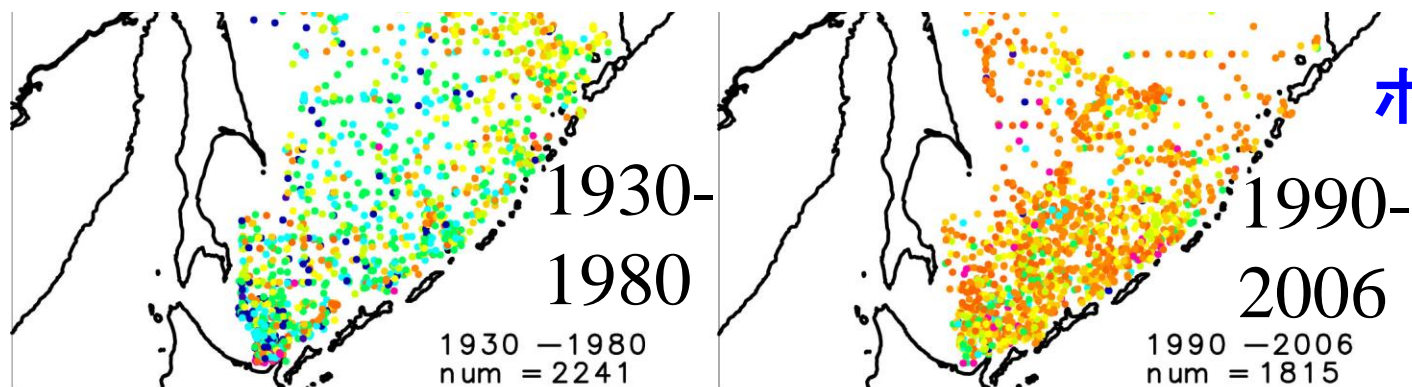
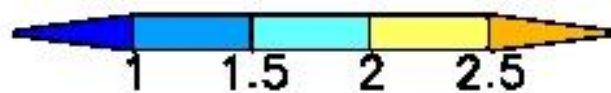
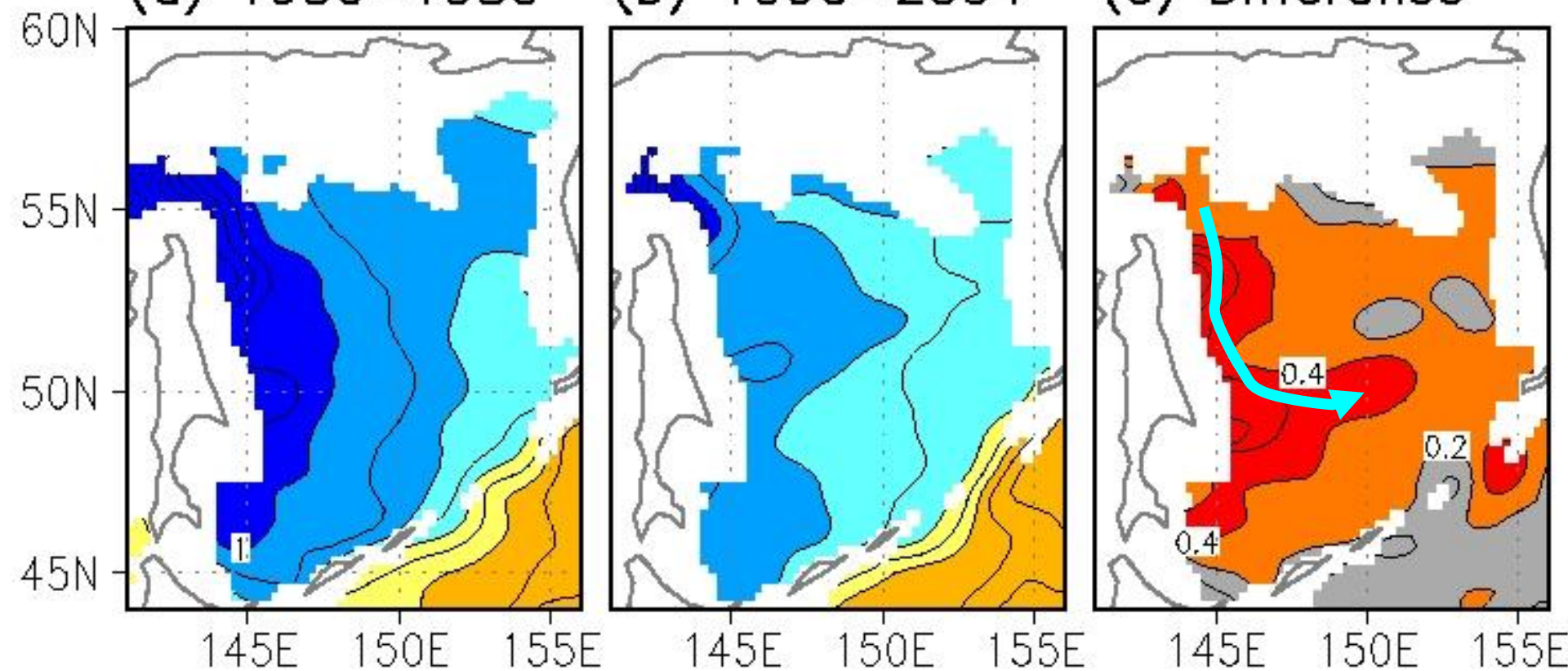
## 中層水の50年昇温トレンド



(a) 1930-1980

(b) 1990-2004

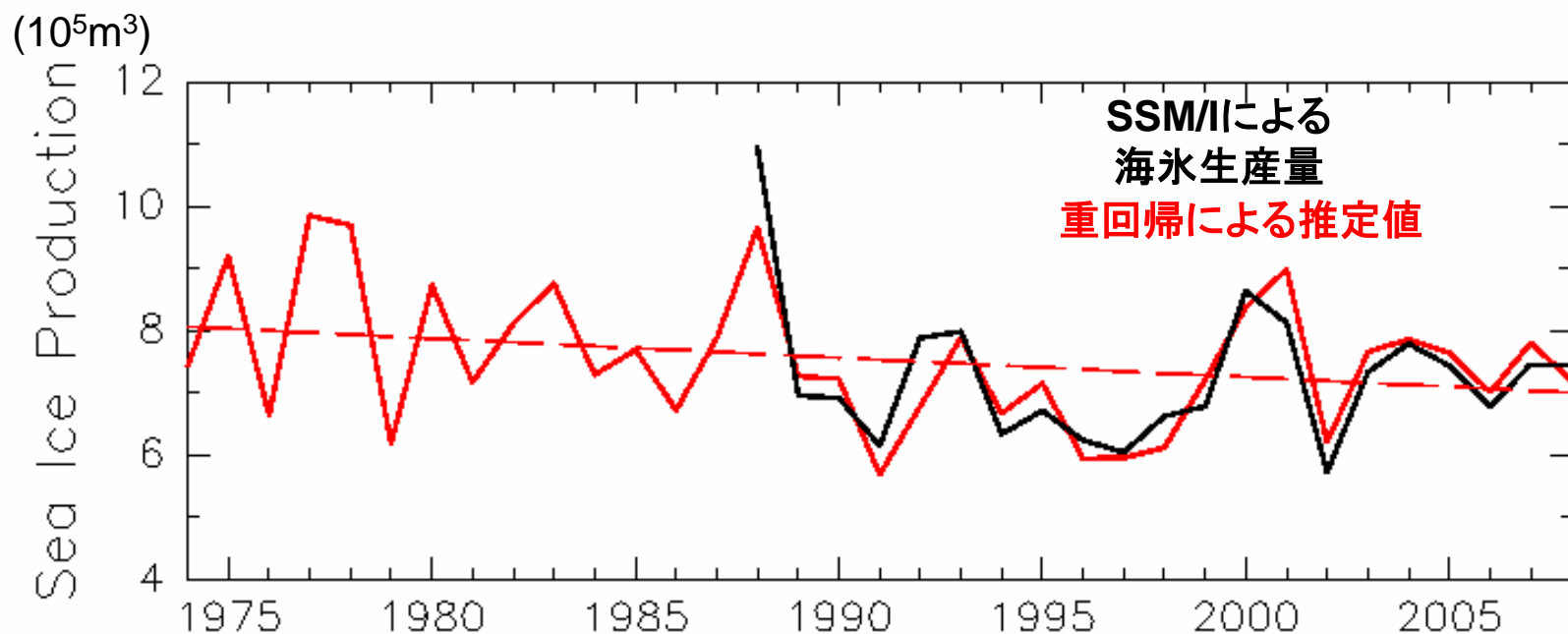
(c) Difference



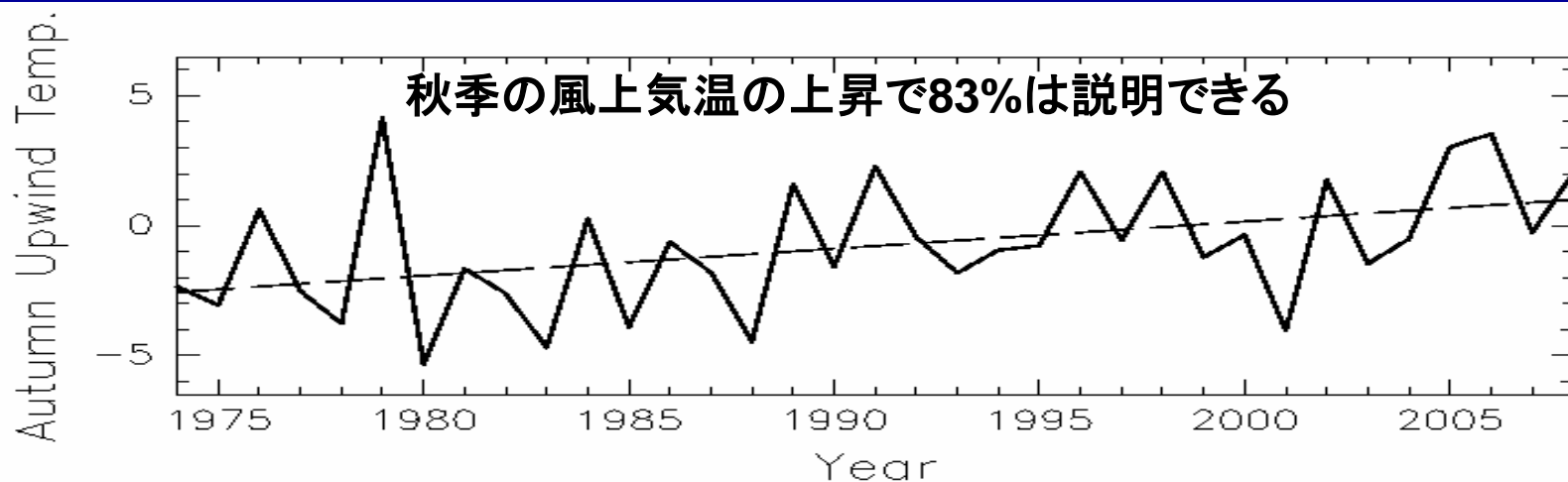
20.90 °C 周辺の  
ポテンシャル温度



# 海水生産量の長期変動 ・気象要素とSSM/Iデータから推定, 柏瀬修論

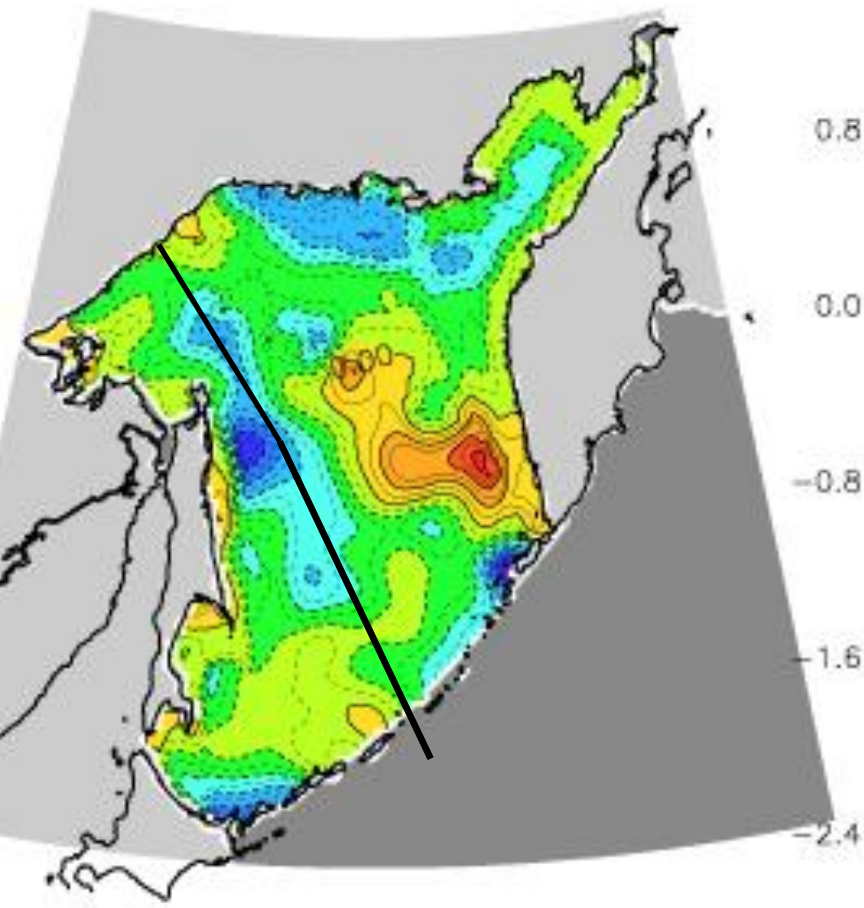


推定した海水生産量は35年間で約12%の減少トレンドを示した

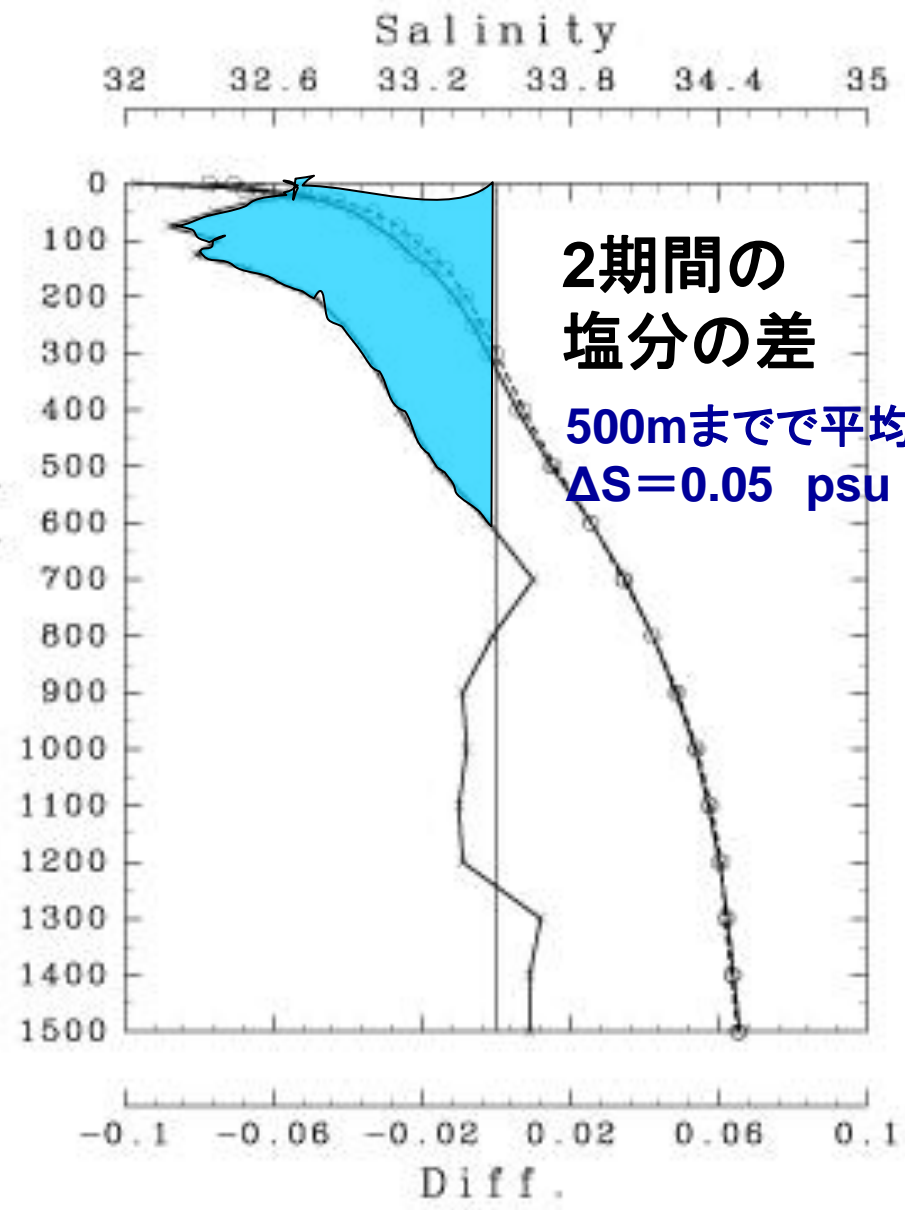


[ (1990-2009) - (1930-1980) ]  
水柱全体の塩分変化を  
淡水フラックス(m)に換算

Fresh Water 00000



DEPTH (m)

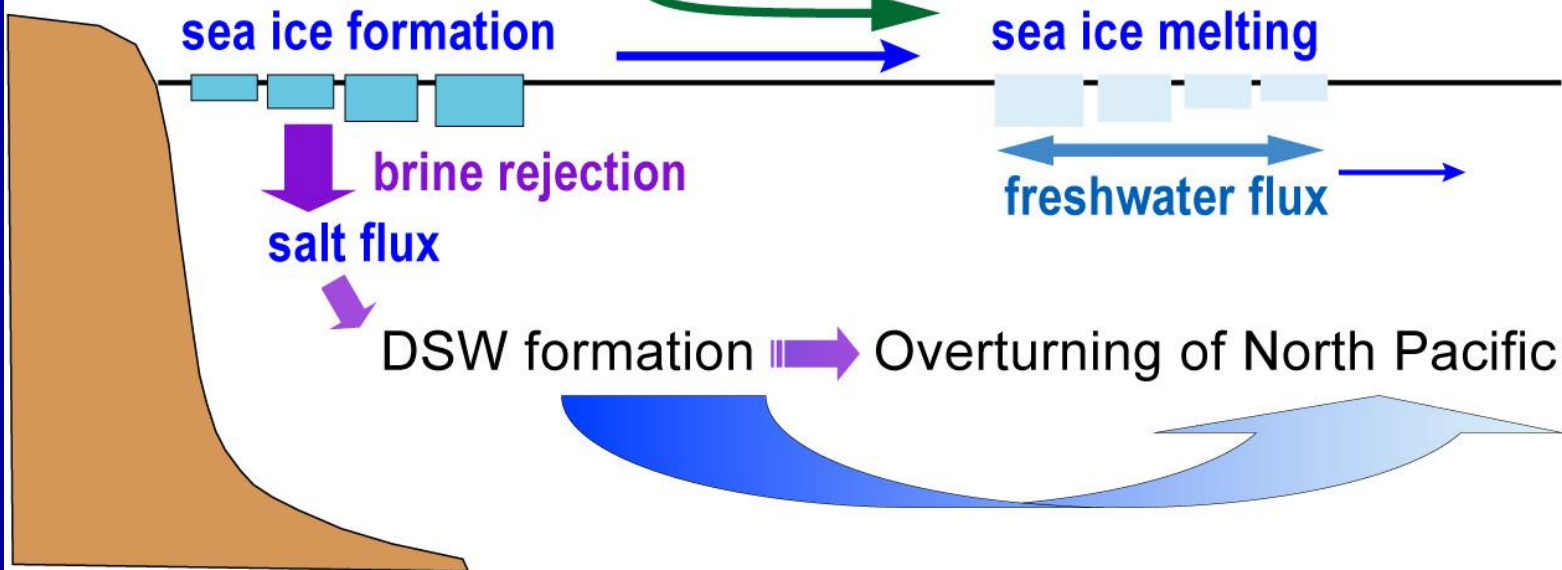


平均すると0.52mの淡水化

# Okhotsk Sea

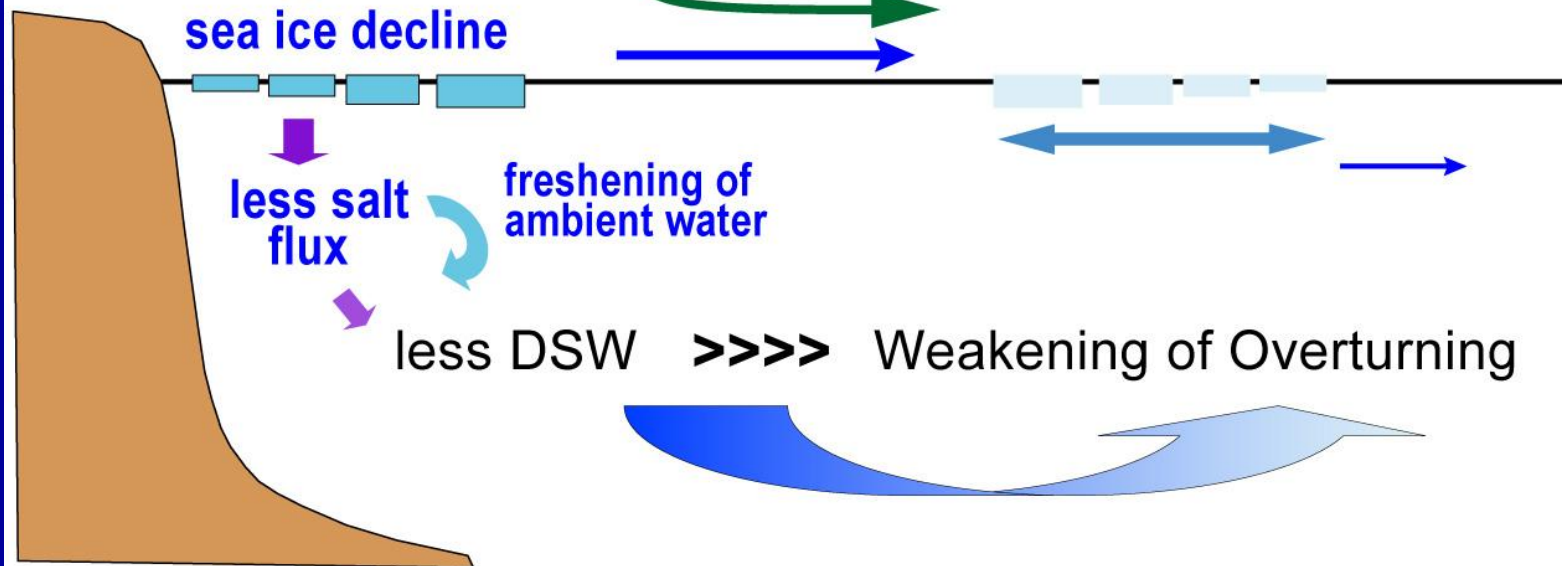
(1930-1980)

# Pacific



# warming

(1990-2009)

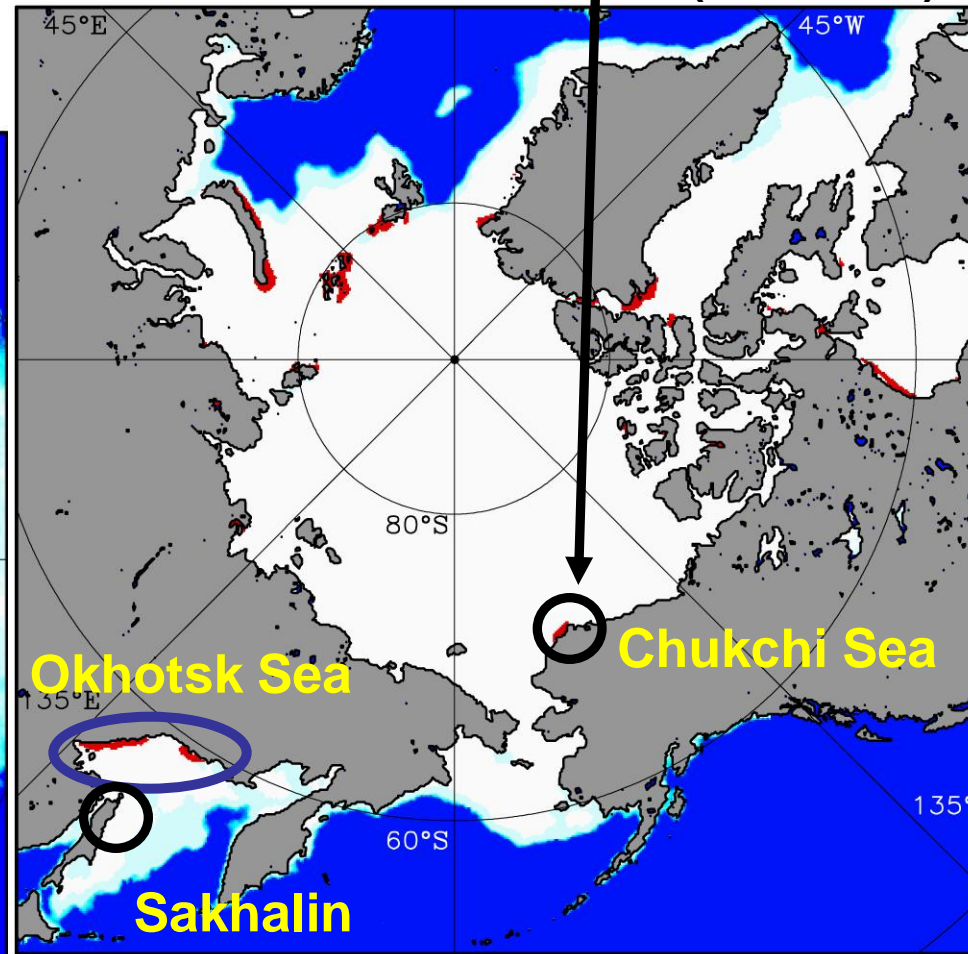
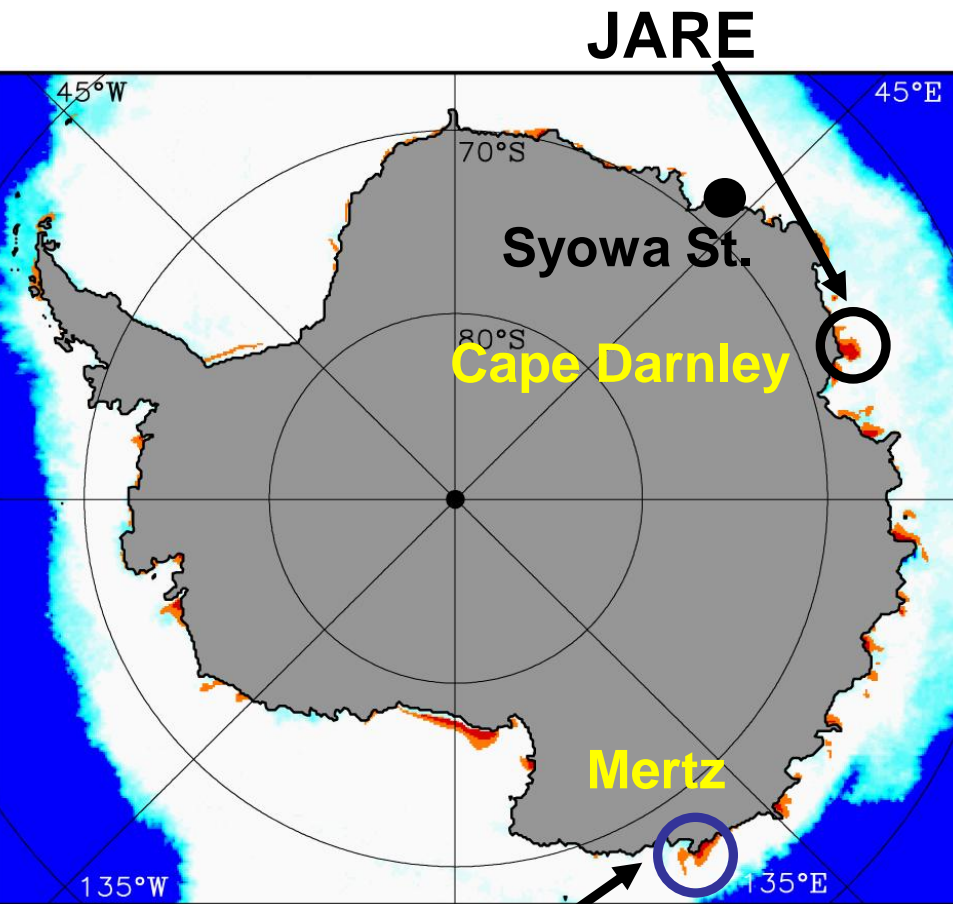


1. イントロダクション: 海氷生成と中深層水形成
2. 衛星による海氷生産量・熱塩フラックスの見積もり
3. 未知の南極底層水生成域の発見
4. 中深層水の変動と海氷生産量
5. 沿岸ポリニヤでの高精度海氷・海洋観測(衛星トウルス)
6. 中層水の新しいモニター観測

# Global mapping of ice production

→ Heat and salt flux data set

Cooperation with Univ. Alaska (Dr.Eicken)



Cooperation with UTAS ?

Validation by Ice Profiling Sonar (IPS) & ADCP moorings:

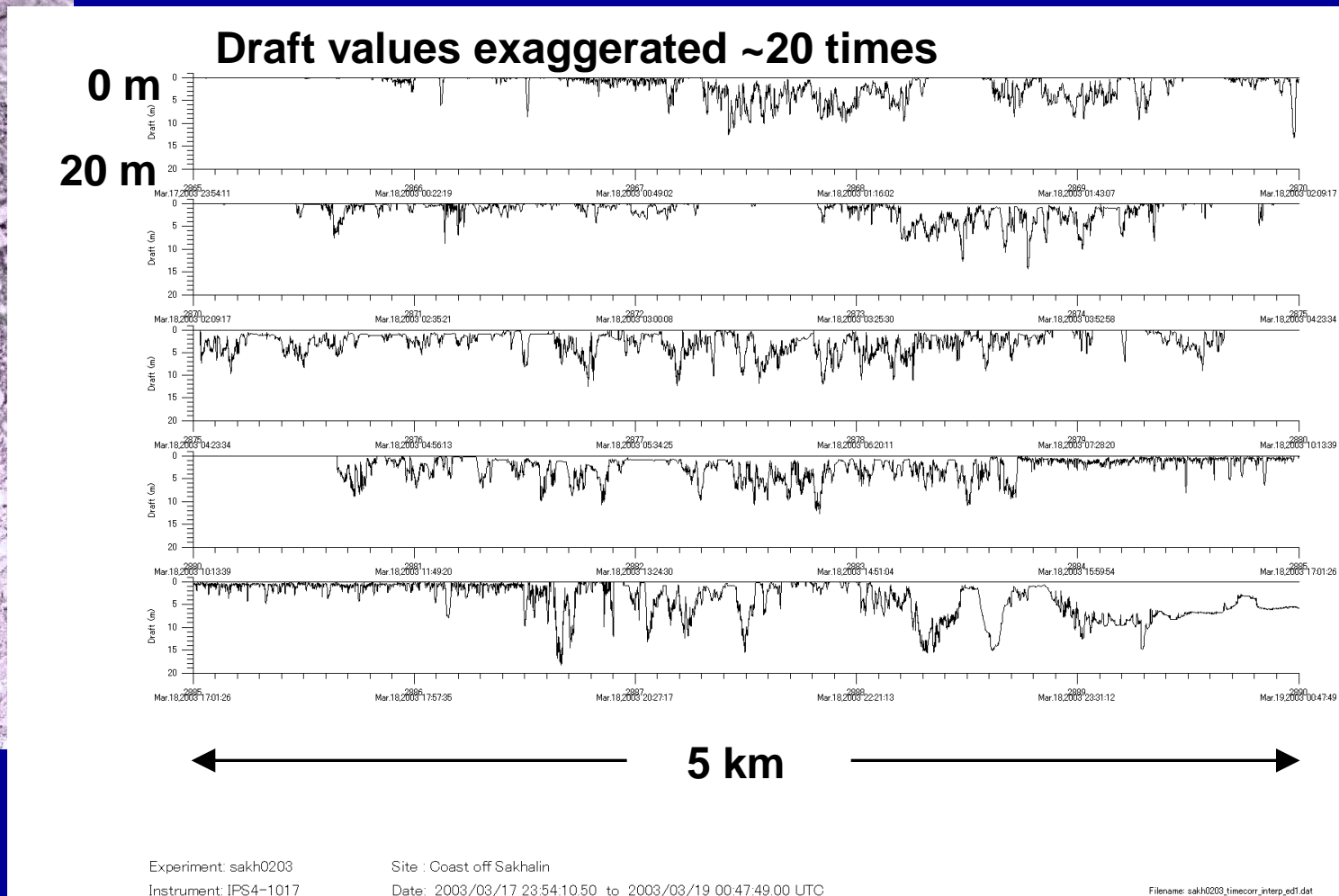
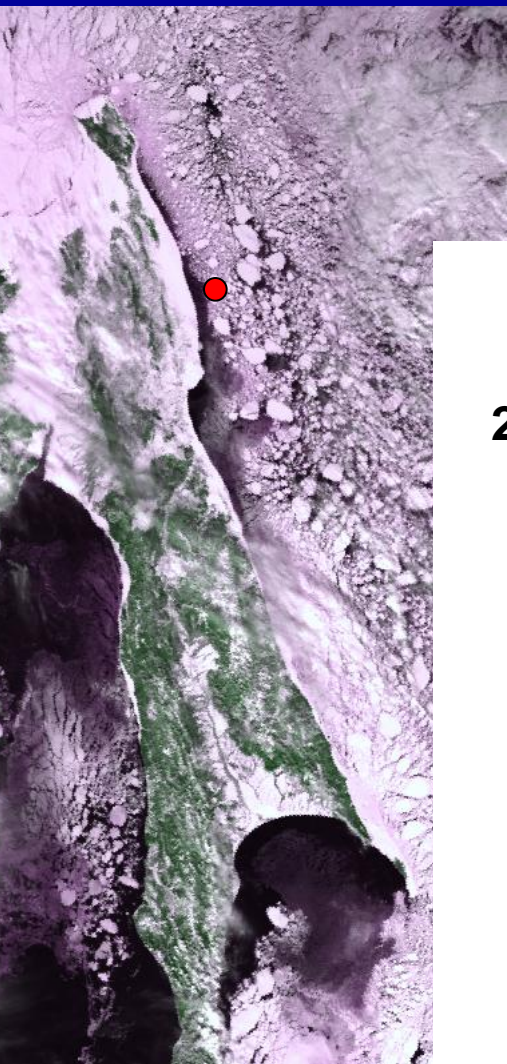
We are (will be) making mooring observations in several polynyas in the world to make the ice thickness and production algorithm globally.

# 沿岸ポリニヤでの氷厚計(Ice Profiling Sonar), ADCP, CT計の設置

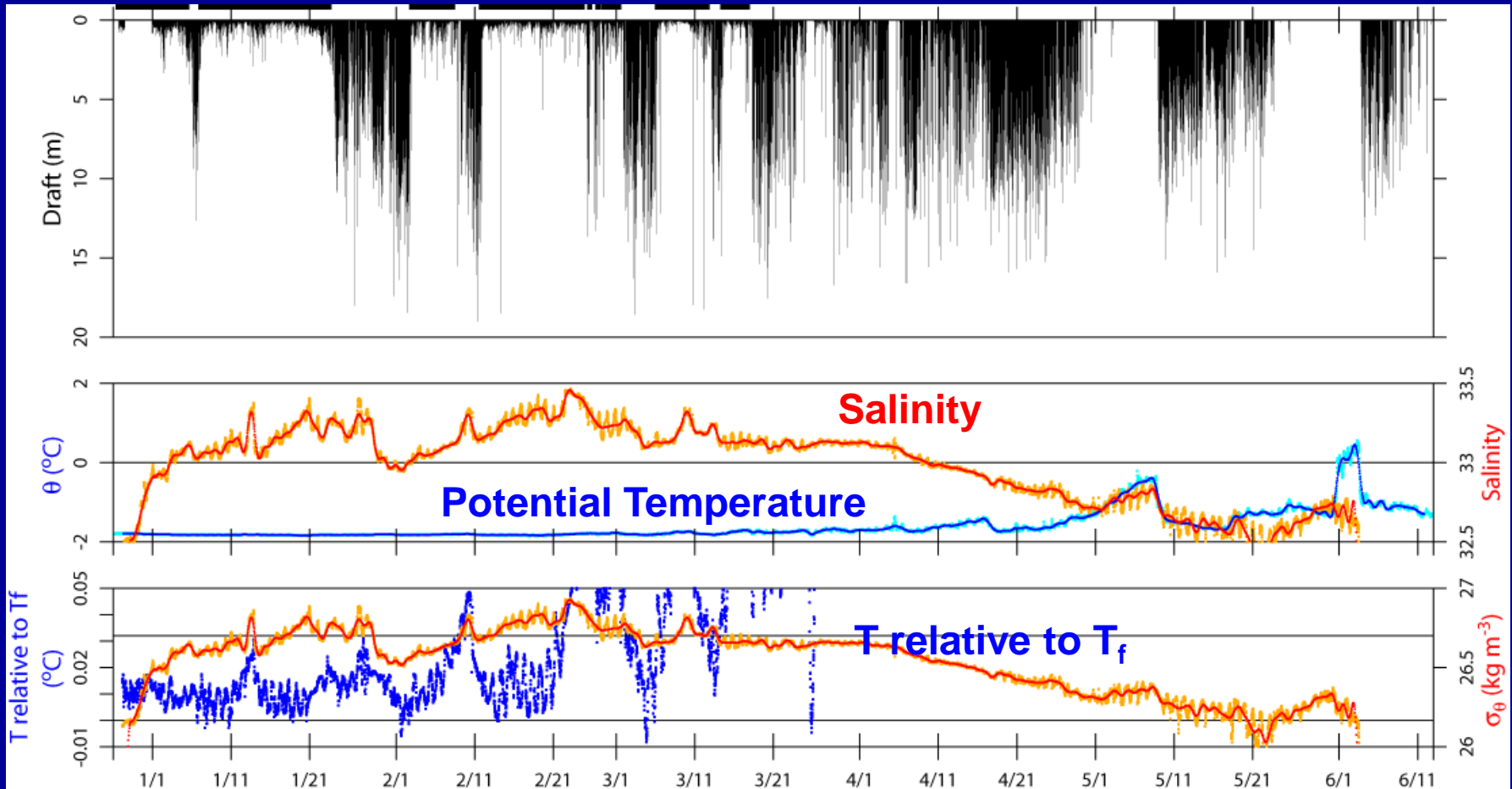
Mar. 18, 2003

2002年12月~2003年5月

Fukamachi et al., 2009



# Ice Draft and Water Properties (at 24-m depth)



1. Salinity increase during thin-ice periods till March
2. Temperature very close to freezing point ( $T_f$ )

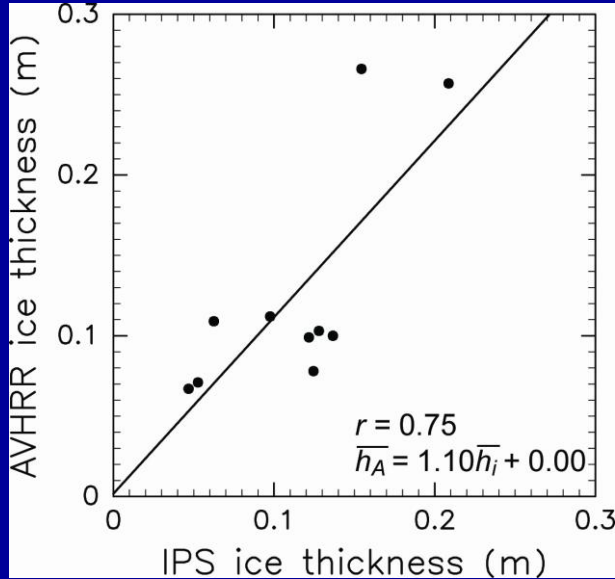


**Brine rejection in polynya**

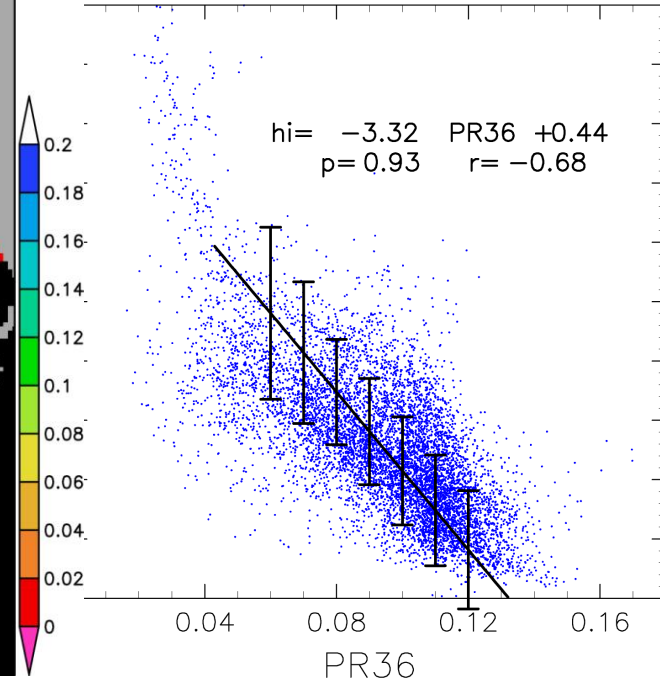
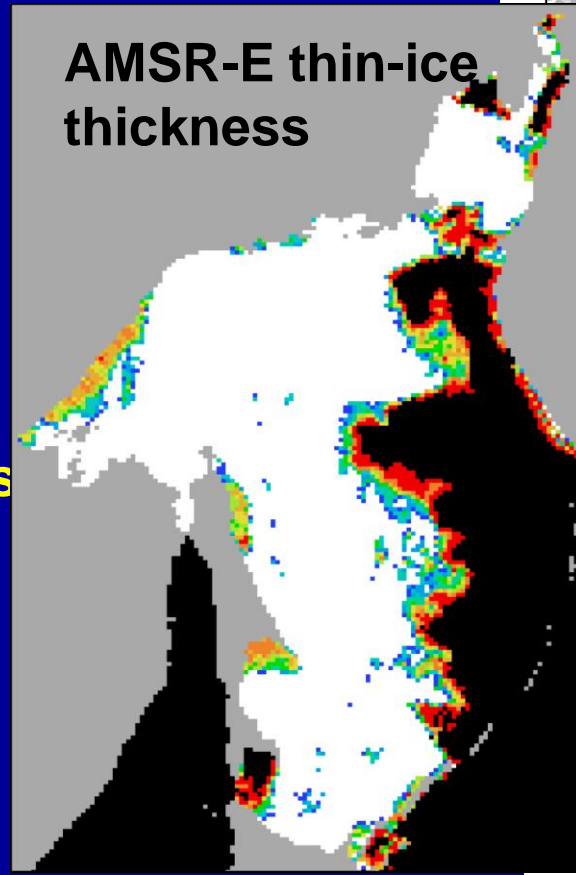
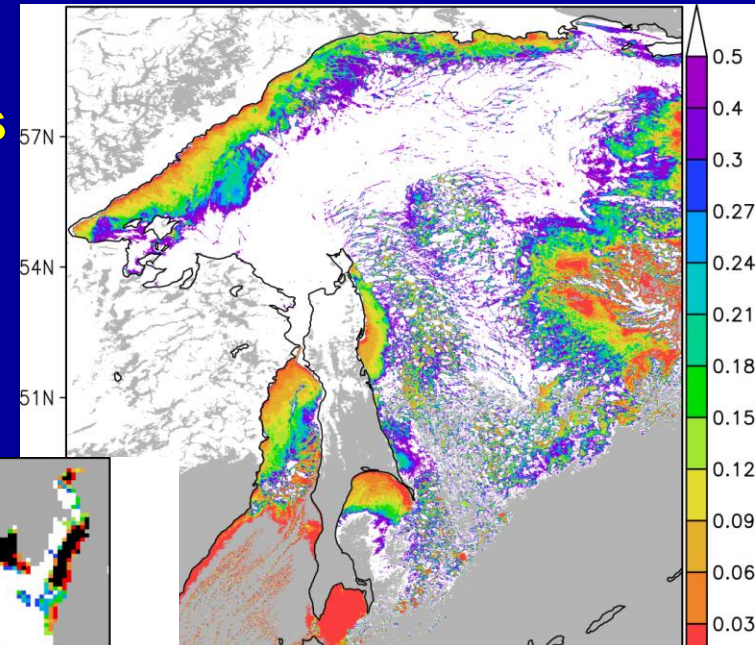
Fukamachi et al., 2009

# Validation of thin-ice thickness based on satellite data

Nihashi et al. (2009)



AVHRR thin-ice thickness



IPS ice thickness



AVHRR thin-ice thickness



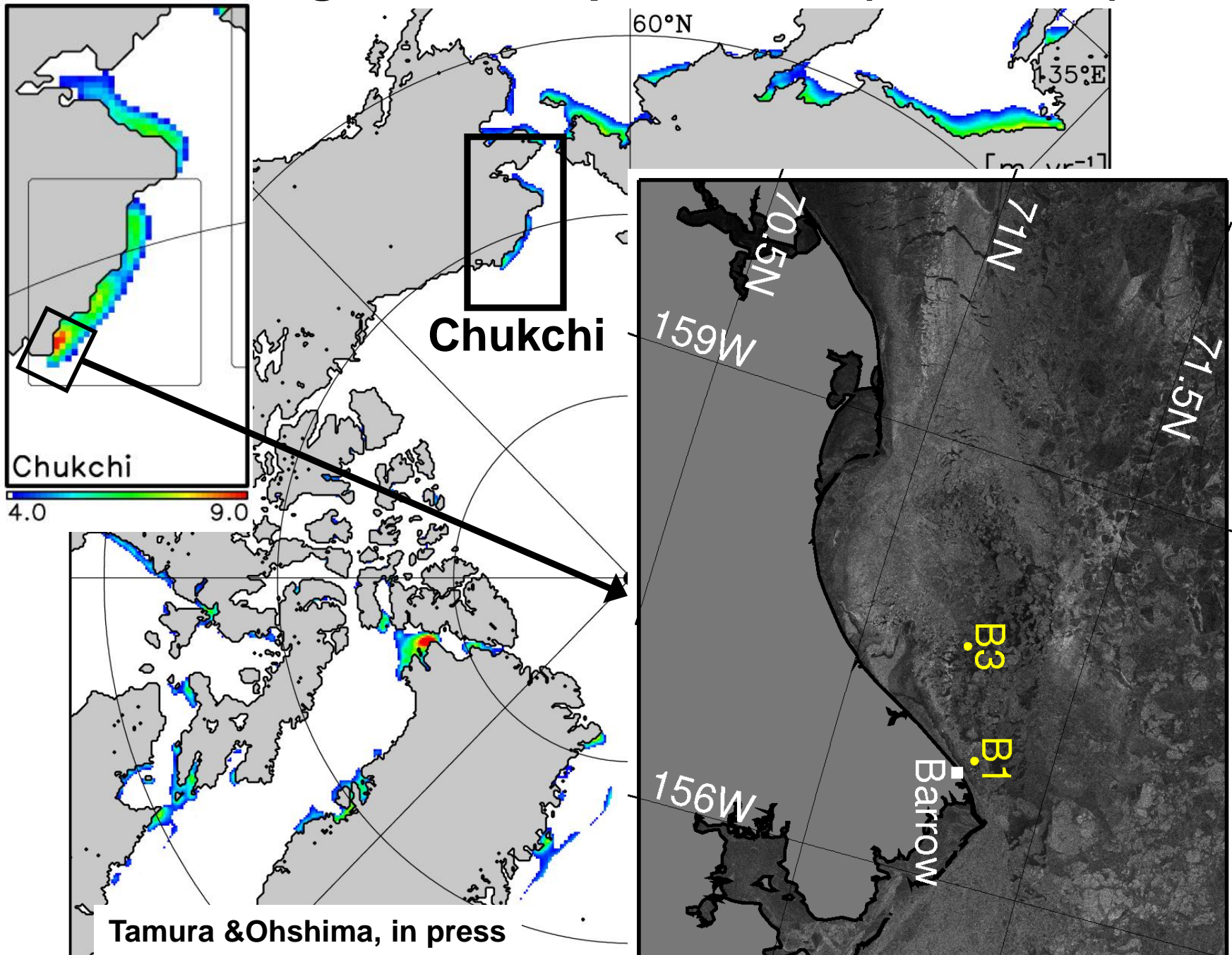
AMSR-E data



Thin-ice thickness



# Mapping of sea ice production (1992-2007)



Chukchi

Chukchi

4.0

9.0

Tamura & Ohshima, in press

ASAR 20091231 213327



# Barrow Arctic Science Consortium (BASC)



# 世界一cost performance がよい係留観測 小型ボートと手動クレーンでの観測







# 砂をつめる



重さは次に調整するので持ち上がる程度の重さにしておく

# 重さを調節する

2009年8月は1系あたり  
100kg x 3を使用した。多め  
の袋に大雑把に積めた後、ばね秤  
を使って調節した。













世界最良のcost performanceの  
係留観測



世界最悪のcost performanceの  
係留観測



日本南極観測隊  
砕氷船しらせ  
4ヶ月の航海





